



ISSN 2500-0632 (ON-LINE)



MINING SCIENCE AND TECHNOLOGY

ГОРНЫЕ НАУКИ И ТЕХНОЛОГИИ

TOM VOL. 4, №3
2019



НАЦИОНАЛЬНЫЙ ИССЛЕДОВАТЕЛЬСКИЙ
ТЕХНОЛОГИЧЕСКИЙ УНИВЕРСИТЕТ «МИСИС»
NATIONAL UNIVERSITY OF SCIENCE
AND TECHNOLOGY MISIS

CONTENTS

ORIGINAL PAPERS

EXPLOITATION OF MINERAL RESOURCES

- Development of a hydrodynamic method for degassing of gas-saturated flat-lying coal seams** 160
V. I. Gavrilov

PROCESS SAFETY IN MINING AND PROCESSING INDUSTRY AND ENVIRONMENTAL PROTECTION

- The main factors of adverse environmental impact of potash production and methods of environmental protection** 172
N. A. Vysotskaya, E. V. Piskun
- Behaviour of pollutants in the upper reaches of east Jiu River case study.....** 181
A. F. Simion, M. Lazar, C. Drebenstedt

MINING MACHINERY, TRANSPORT, AND MECHANICAL ENGINEERING

- Diagnostics of thermal condition of electromechanical machinery.....** 188
V. F. Borisenko, A. I. Zemlyansky, V. A. Sidorov, E. V. Sidorova

ROCK CHARACTERISTICS. GEOTECHNIC SURVEY AND GEOPHYSICS

- Features of origination of load on "support-Interframe shield" system** 202
Y. A. Petrenko, N. N. Kasyan, A. L. Kasyanenko
- Using properties of discrete rocks to optimize backfilling** 213
V. I. Golik, Xuan Nam Bui, S. A. Maslennikov, V. I. Anischenko
- Finite element simulation of multiphase flow in oil reservoirs – Comsol Multiphysics as fast prototyping tool in reservoir simulation** 220
T. H. Nassan, M. Amro

СОДЕРЖАНИЕ

ОРИГИНАЛЬНЫЕ СТАТЬИ

РАЗРАБОТКА МЕСТОРОЖДЕНИЙ ПОЛЕЗНЫХ ИСКОПАЕМЫХ

- Разработка способа дегазации газонасыщенных пологих угольных пластов гидродинамическим воздействием 160
Гаврилов В. И.

ТЕХНОЛОГИЧЕСКАЯ БЕЗОПАСНОСТЬ В МИНЕРАЛЬНО-СЫРЬЕВОМ КОМПЛЕКСЕ И ОХРАНА ОКРУЖАЮЩЕЙ СРЕДЫ

- Основные факторы неблагоприятного воздействия на окружающую среду деятельности калийного производства и способы ее защиты 172
Высоцкая Н. А., Пискун Е. В.
- Анализ распространения загрязняющих веществ на примере верховьев р. Ист Джииу 181
Симион А.Ф., Лазар М., Дребенштедт К.

ГОРНЫЕ МАШИНЫ, ТРАНСПОРТ И МАШИНОСТРОЕНИЕ

- Диагностирование теплового состояния электромеханического оборудования 188
Борисенко В. Ф., Землянский А. И., Сидоров В. А., Сидорова Е. В.

СВОЙСТВА ГОРНЫХ ПОРОД. ГЕОМЕХАНИКА И ГЕОФИЗИКА

- Особенности механизма формирования нагрузки на систему «крепь-межрамное ограждение» 202
Петренко Ю. А., Касьян Н. Н., Касьяненко А. Л.
- Использование свойств дискретных пород для оптимизации процессов погашения выработанного пространства 213
Голик В. И., Буй Хуан Нам, Масленников С. А., Анищенко В. И.
- Конечно-элементное моделирование многофазного течения в нефтенасыщенных пластах-коллекторах – Comsol Multiphysics как инструмент быстрого создания упрощенной модели при моделировании пласта 220
Нассан Т. Х., Амро М.

ORIGINAL PAPERS

DOI: 10.17073/2500-0632-2019-3-160-171

Development of a Hydrodynamic Method for Degassing of Gas-Saturated Flat-Lying Coal Seams

V. I. Gavrilov

Geotechnics Institute named after N.S. Polyakov, NAS of Ukraine, Dnipro, Ukraine,

gawrilov.slawick@yandex.ru

Abstract: Deterioration of geological and mining conditions for underground extraction of coal deposits with increasing depth leads to significant gas release into mine workings, reaching 45 m^3 or more per 1 ton of coal mined at some mines. Existing standard methods for degassing of stressed coal seams often do not provide required degassing efficiency of 50 % and more for rhythmic operation of production faces. In some conditions, open-hole degassing efficiency of 30 % can be achieved, which allows to increase output per face up to 1,000 tpd with gas release from seam up to $5 \text{ m}^3/\text{min}$. However, at depths of 1,000–1,300 m and high-performance operation of longwall sets of equipment, gas release can reach $170 \text{ m}^3/\text{min}$ that causes face stoppages due to gas hazard and slows down the pace of stope development and stoping. In addition, preliminary seam degassing requires rather long time. Modern achievements in the field of rock hydraulic fracturing are the basis for the development of low-energy safe and environmentally friendly technologies for degassing of stressed gas-saturated coal seams. The paper presents the findings of our studies on hydrodynamic action (HDA) on a gas-saturated flat-lying coal seam and the developed method for degassing and reduction of gas-dynamic activity of stressed coal seams in mine workings. Chemical interaction of some coal free radicals with water molecules and hydrolysis products has been revealed, resulting in formation of stable compounds. This leads to decreasing concentration of coal paramagnetic centers (PMC) and sorption activity. Our mine tests have for the first time found hydrodynamic effects on geotechnical and gas-dynamic processes in a coal mass during formation of a zone of intense gas release. Technology and layout for hydrodynamic action-based degassing of gas-saturated flat-lying coal seams have been developed, providing for spatial and time separation of seam degassing and coal extraction processes.

Keywords: boreholes, seam stress-strain state, hydrodynamic effects, coal seam degassing intensification, HDA parameters, stressed seam degassing layout.

For citation: Gavrilov V. I. Development of a hydrodynamic method for degassing of gas-saturated flat-lying coal seams. *Mining Science and Technology*. 2019;4(3):160-171 (In Russ.). DOI: 10.17073/2500-0632-2019-3-160-171.

Разработка способа дегазации газонасыщенных пологих угольных пластов гидродинамическим воздействием

Гаврилов В. И.

Институт геотехнической механики им. Н.С. Полякова НАН Украины, Днепр, Украина,

gawrilov.slawick@yandex.ru

Аннотация: Ухудшение горно-геологических условий подземной разработки угольных месторождений с глубиной приводит к значительному газовыделению в горные выработки, которое на отдельных шахтах достигает 45 m^3 и выше на 1 т добытого угля. Существующие нормативные способы дегазации напряженных угольных пластов часто не обеспечивают необходимой для ритмичной работы очистных забоев эффективности дегазации 50 % и выше. В некоторых условиях можно достичь эффективности скважинной дегазации 30 %, что позволяет увеличить нагрузку на лаву до 1 000 т/сут при газовыделении из пласта до $5 \text{ m}^3/\text{мин}$. Однако на глубинах 1 000–1 300 м при высокопроизводительной работе очистных комплексов выделение газа может достигать $170 \text{ m}^3/\text{мин}$, что приводит к остановкам забоев по газовому фактору и сдерживает темпы ведения очистных и подготовительных работ. Кроме того, предварительная дегазация пластов осуществляется довольно продолжительное время. Современные достижения в области гидроразрушения горных пород являются основой для разработки малоэнергоемких безопасных и экологически чистых технологий дегазации напряженных газонасыщенных угольных пластов. В статье приведены результаты исследований влияния гидродинамического воздействия (ГДВ) на газонасыщенный пологий



угольный пласт и разработки способа дегазации и снижения газодинамической активности напряженных угольных пластов в горные выработки ГДВ. Установлено химическое взаимодействие части свободных радикалов угля с молекулами воды и продуктами ее гидролиза, в результате которого образуются устойчивые соединения, что приводит к снижению концентрации парамагнитных центров (ПМЦ) в угле, и соответственно к уменьшению сорбционного взаимодействия. Шахтными экспериментами впервые установлено влияние гидродинамического воздействия на протекание геомеханических и газодинамических процессов в угольном массиве при образовании зоны интенсивного газовыделения. Разработаны технология и схема дегазации газонасыщенных пологих угольных пластов гидродинамическим воздействием, предусматривающие разделение в пространстве и времени процессов добычи угля и дегазации пластов.

Ключевые слова: буровые скважины, напряженно-деформированное состояние пласта, гидродинамическое воздействие, интенсификация дегазации угольного пласта, параметры ГДВ, схемы дегазации напряженных пластов.

Для цитирования: Гаврилов В. И. Разработка способа дегазации газонасыщенных пологих угольных пластов гидродинамическим воздействием. *Горные науки и технологии*. 2019;4(3):160-171. DOI: 10.17073/2500-0632-2019-3-160-171.

Introduction

Increasing depth and intensity of mining is accompanied by increasing gas volumes in mines, leading to increasing costs and decreasing productivity and labor safety. The adverse dynamics of injuries from gas and dust explosions, various manifestations of gas-dynamic phenomena cause severe social and economic consequences [1–3].

In modern conditions, gas release from being extracted seams can reach $45 \text{ m}^3/\text{t}$ and more. It is impossible to ensure high level of coal production without drastic reduction in gas release into mine workings, first of all, from coal seams. For cost-effective operation of a longwall set of equipment, methane drainage efficiency should be at least 50 %. The use of traditional methods of methane drainage and reducing gas-dynamic activity of coal seams based on drilling of methane drainage boreholes has sharply decreased with increasing mining depth due to decreasing the radius of borehole effect. Seam methane drainage efficiency can be slightly increased due to active impacts on gas-bearing coal seams, such as, for example, interval hydraulic fracturing, two-stage pumping of liquid, hydro-pulse treatment, etc. However, these local technologies

are very rarely used due to the complexity of their implementation in constrained underground conditions, high probability of water breakthroughs into mine workings and, most importantly, the lack of time for painstaking and large-scale work [4–7].

Scientists of the IGTU of NAS of Ukraine have developed and introduced, at Donbass mines, environmentally friendly and energy-saving method of hydrodynamic action (HDA) on a coal seam by working fluid (water) that results in redistribution of rock and gas pressure, coal softening and, thus, methane desorption. On the basis of the approach, standards-compliant methods have been developed and introduced for opening outburst-prone coal seams by crossheadings and preventing coal-and-gas outburst in the lower part of webs extracted by header units [8].

Gas-saturated coal seam stress relief by hydrodynamic action results in increasing permeability, fracturing, and fracture joining into filtration channels through which free and adsorbed methane moves towards the borehole. Notice that in this case the adsorbed methane is contained in closed pores isolated from each other, and, in zones of maximum compressive stresses, the seam transforms into a disturbed

structure of the V type, in which the pore radii are comparable to the sizes of the adsorbed molecules. Due to the hydrodynamic action, the coal seam is disintegrated and part of the coal is extracted from the coal-rock mass. This leads to decreasing load-bearing strength of the seam and weakening of interlayer contacts in the roof rocks that, when extracting the seam, ensures uniform (without delays) development of strains and eliminates manifestation of sudden coal-and-gas outbursts [9].

The main idea of this study is to use the revealed patterns of geomechanical and gas-dynamic processes during hydrodynamic action on a gas-saturated coal seam through underground boreholes and the features of the processes of gas release from the seam into underground mine workings after carrying out preventive work to determine effective parameters of the method of HDA on flat-lying coal seams and its implementation layout under mining conditions.

To achieve this goal, the following problems are being solved:

- studying the reasons for the insufficient effectiveness of the existing methods for a coal-rock mass methane drainage and justifying the prospects of the hydrodynamic action;

- revealing the patterns of geomechanical and gas-dynamic processes during hydrodynamic action on a gas-saturated coal seam through underground boreholes and the features of the processes of gas release from the seam into underground mine workings after carrying out preventive work;

- determining technological parameters of the HDA method for flat-lying coal seams and developing a promising process layout for coal seam methane drainage by hydrodynamic action.

The study methods. Analysis of the effectiveness of traditional mine methane drainage methods; laboratory, mine studies and commercial testing of the hydrodynamic method of coal seam methane drainage using the method of statistical data processing; mechanical and geo-physical methods of mine instrumental measurements.

The study findings. The main methods of methane drainage, their disadvantages and advantages are described in detail in the works of A. T. Airuni, G. D. Lidin and other authors [10–13].

The performed analysis of the traditional coal mine methane drainage methods and means effectiveness showed that:

- further increasing the production face producibility is possible only if the problem of controlling gas-dynamic condition of f coal-rock mass is effectively solved;

- traditional methods of methane control in coal mines in situation of permanent intensification of mining operations and extraction shifting to ever deeper levels often can no longer provide both large coal extraction and safe working conditions. The effectiveness of seam underground methane drainage is limited by the value of gas drainage efficiency of 0.2 and can be slightly increased by conducting active actions on coal-gas bearing seam/series (for example, interval hydraulic fracturing, gas-hydro-pulsed action, etc.). However, these local technologies are very rarely used due to their implementation complexity in restrained underground conditions, high probability of water breakthroughs in mine workings and the lack of time for painstaking and large-scale work;

- hydrodynamic method of methane drainage gas-saturated flat-lying coal seams requires

theoretical and experimental substantiating studies, as borehole as extensive testing in mine conditions.

Any, including technogenic, imbalance in the coal-gas system leads to diffusion, filtration, sorption-desorption processes and, most importantly, to methane generation in a coal seam [14]. The system destabilization is due to increase or decrease in pressure. In this case, the ratio of free and adsorbed gas changes. The adsorbed-free transition of gas (and vice versa) proceeds at different rates. Information on changing the kinetic parameters is of great practical value for coal seam methane drainage and decreasing its gas-dynamic activity.

The effect of hydrodynamic action on the degree of coal seam methane drainage was studied using electron paramagnetic resonance (EPR) method. The use of computer facilities during the experiments and signal recording allowed reaching much higher level of information content, accuracy, and reliability of the information obtained.

The experiments were carried out according to proven techniques, providing for recording superhigh-frequency energy absorption spectrum by paramagnetic centers (PMCs) of coal under normal conditions and at the moment of stabilization at increasing pressure to 6 MPa [15–18]. Using the EPR-PC system made it possible to record the transition process in time at high accuracy and survey its parameters.

The study of the kinetic parameters of coal-gas interaction was carried out on coal samples taken from seams l_4 of PJSC "Mine named after A.F. Zasyadko" and l_3^1 of Mine "Sukhodolskoe-Vostochnoe" in the process of applying the hydrodynamic action.

The transition process was approximated by the exponential law being characteristic of fast gas-dynamic processes in coal seams [19]:

$$I = I_{\text{in}} - K_N \left(1 - e^{-\frac{t}{T}} \right),$$

where I is integrated intensity of EPR spectrum of coal sample; I_{in} is integrated intensity of the initial EPR spectrum of the coal sample; K_N is passivation factor, which reflects the percentage of paramagnetic centers capable of interacting with the gas in the coal, %; t is current time, s; T is response time of the transition process, s.

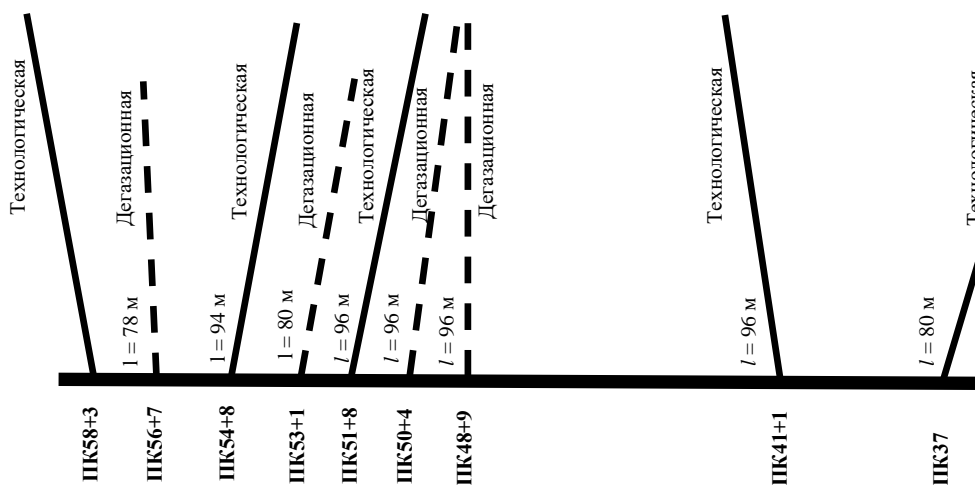
The laboratory studies showed that hydrodynamic action results in decreasing concentration of paramagnetic centers in the treated coal approximately 3 times compared with the initial values. Hydrolysis of coal leads to rupture of various bonds and the component composition change. Cyclic mechanical effects result in rupture of bonds in the aromatic ring of a coal molecule. HDA obviously promotes coal interaction with water molecules and its hydrolysis products, resulting in forming stable that, in turn, leads to decreasing concentration of paramagnetic centers in the treated coal and, correspondingly, to decrease in sorption interaction (Table 1).

Thus, the hydrodynamic action affects the intermolecular mechanochemical interaction of coal and methane gas, the sorption properties of coal, and increases the coal fracturing that finally promotes the coal seam methane drainage.

Commercial-scale implementation of the hydrodynamic action method of methane drainage and reducing gas-dynamic activity of gas-saturated flat-lying coal seams l_4 of PJSC Mine named after A.F. Zasyadko and l_3^1 of Sukhodolskoe-Vostochnoe Mine are adequately covered in [20–22].

Table 1
**Kinetic parameters of transient process of coal and gas interaction
after HDA in l_4 seam (3rd western belt heading)**

Sample No.	Volatile-matter yield V^{daf} , %	Ash content A, %	PMC concentration $N^a \times 10^{19}, \text{г}^{-1}$	Passivation factor K_N , %	Response time T_N , s	Limit sorption capacity $Q, \text{мл/г}$	Line width ΔH , E	Line width change $K_{\Delta H}$, %
592	33.20	1.24	3.79	35.5	94.7	9.96	7.2	4.3
593	30.15	2.91	3.24	38.1	61.7	9.13	7.4	9.0
594	27.33	3.72	3.70	37.0	79.3	10.13	6.8	13.2
595	29.17	2.00	3.34	35.2	81.4	8.70	7.5	5.1
596	31.15	1.50	3.94	35.2	94.7	10.26	7.4	5.4
597	28.20	3.00	3.43	37.5	72.1	9.52	7.2	6.5

**Fig. 1. Drilling pattern in the 23rd eastern inclined longwall****Fig. 2. Change in degassing borehole flow rate at Picket53+1 m after HDA**

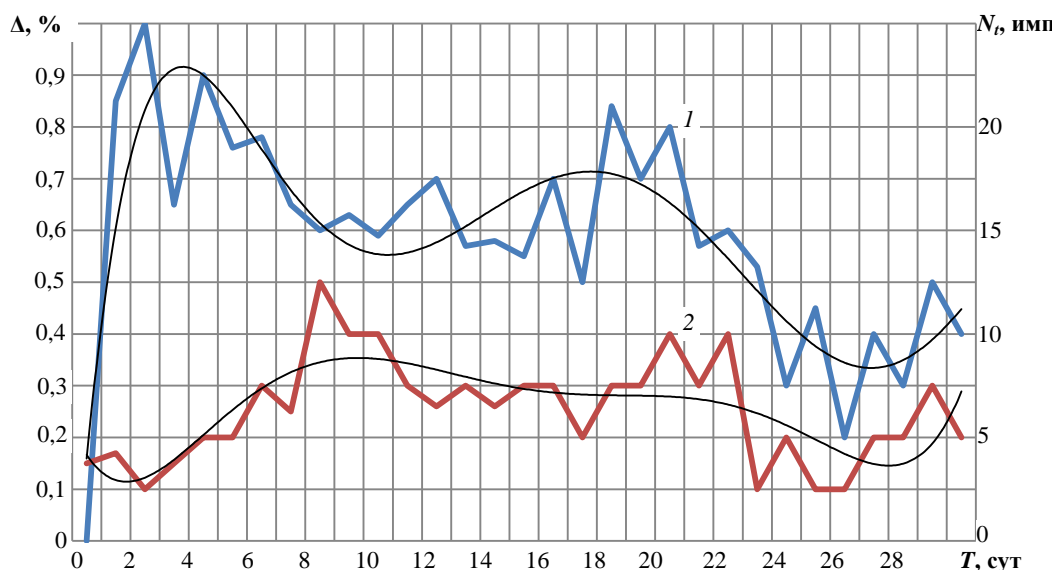


Fig. 3. Trends of geotechnical and gas-dynamic characteristics for l_1 seam in the process of HDA:
 1 – acoustic emission; 2 – methane concentration increment

Five technological and four methane drainage boreholes were drilled in the conveyor drift of the 23rd eastern inclined longwall of the Sukhodolskoe-Vostochnoe Mine. The layout of the boreholes is shown in Fig. 1.

Observations showed that during the operation of the underground boreholes, methane drainage through them is uneven. After hydrodynamic action, increased methane drainage is observed, which reaches maximum for 60–100 days, and then its gradual decrease occurs. Fig. 2 shows the results of measurements of a methane drainage borehole flow rate after HDA at various distances to a longwall.

After hydrodynamic action through a technological borehole, methane drainage in the methane drainage borehole gradually decreases, reaching minimum value when the longwall approaches 120–100 m of the borehole. This is explained by decreasing free methane content in the seam and the support pressure influence.

With further approach of the longwall to the boreholes, methane release through them gradually increases due to redistribution of rock pressure forces and development of an additional

fracture system due to the collapse of the roof rocks.

Maximum values of methane release from the boreholes were recorded when the longwall was located at a distance of 15–20 m. After that, the methane release from the boreholes decreases until they cross the longwall face due to rapidly increasing volume of fractures connecting the boreholes to the longwall face, reducing the amount of free gas in the coal and the methane release directly into the longwall.

In total, more than 199 thousand m^3 of methane were released from the technological boreholes. The average life of such boreholes was 60 days at average flow rate of $416 m^3/day$ per borehole; the amount of methane released from one borehole was more than 25 thousand m^3 .

Hydrodynamic action on a gas-saturated coal seam with periodic extraction of methane and a part of the disintegrated coal from underground boreholes leads to redistribution of stresses in the rock mass, which is described by the statistical characteristics of the dynamics of acoustic emission (AE) activity [23]. In turn, the change in the stress-strain state of coal and rocks

has significant effect on the change in the gas release intensity [24].

The change in the geomechanical state of the coal-bearing mass was evaluated based on the acoustic emission using sound-detecting equipment (SCE). The seismic receiver installation method and its radius of action were determined according to [25].

Figure 3 shows the findings of monitoring the nature of changes in geomechanical and gaseodynamic processes in seam l_1 during three-time hydrodynamic action through the technological borehole drilled at Station 42+5 m.

Analysis of the graphs shows the consistent dynamics of the processes in the individual areas. General trend to delay of the local maxima of the increase in methane concentration in relation to the AE local maxima is observed. For instance, in the first cycle, local maximum of

the acoustic emission intensity was recorded on the third day, whereas local maximum of the methane concentration in the air stream in the working was recorded on the sixth day. Similarly, after the second action cycle, performed 15 days after the first action cycle, local maxima of the methane concentration and AE activity were recorded on the 17th and 21st days, respectively. After the third action cycle on the 24th day, local maxima of Δ and AE were recorded on the 27th and 28th days, respectively.

Thus, the investigations of HDA influence on the interaction of geomechanical and gaseodynamic processes (in the same mining and geological conditions) showed time lag of the local maxima of methane concentration in relation to the acoustic emission maxima by 1–5 days. The HDA effect on the processes is described by a sextic polynomial.

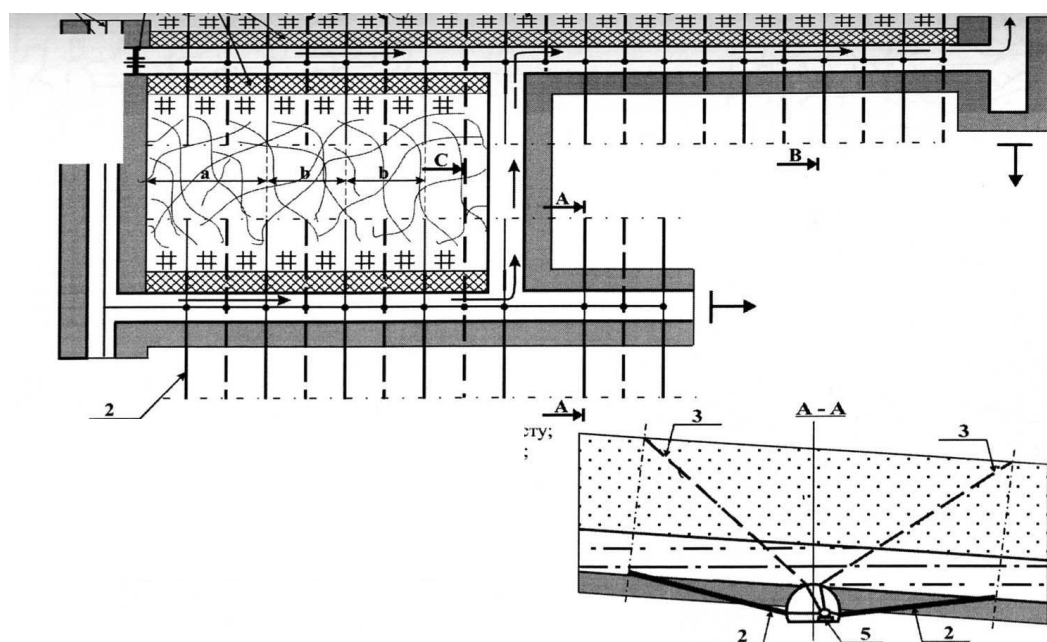


Fig. 4. Arrangement of flat-lying coal seam degassing using hydrodynamic action

1 – separating strip; 2 – degassing borehole in a seam; 3 – degassing borehole in host rock; 4 – air governor; 5 – gas pipeline;
 6 – cages; a – initial spacing of main roof breaks; b – spacing of main roof breaks;
 —— direction of intake air; - - - - direction of return ventilation air

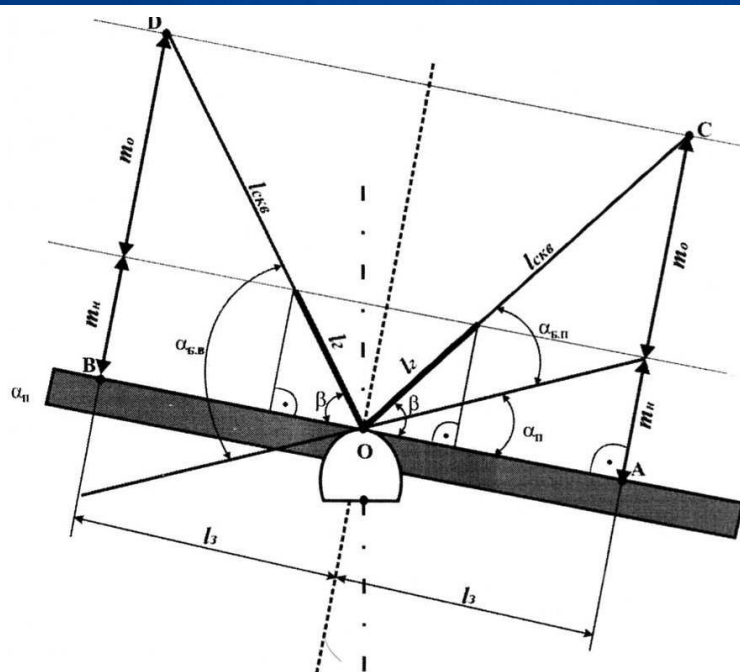


Fig. 5. Calculation pattern for degassing borehole parameter determination

Based on the analysis of the conditions for extraction of gas-saturated coal seams and the studies findings, the promising Process Flow Schematic (PFS) for seam methane drainage using the hydrodynamic action was developed. The PFS provides for drilling, from development workings or special niches, of technological boreholes for coal and methane drainage boreholes for rock (Fig. 4).

Borehole drilling into a coal seam shall be performed through the bottom rocks. The length of the rock part of the borehole should be at least 10 m. The technological borehole parameters are determined graphically taking into account the seam thickness and dip angle, the distance to the point of maximum support pressure, and the distance from the working bottom to the borehole collar. Drilling of methane drainage boreholes is performed through the roof rocks. The length of sealed part of the methane drainage borehole is determined by its length in the immediate roof rocks, but should be at least 6 m. The methane drainage borehole drilling parameters are determined by calculations (Fig. 5).

The angle between the seam roof and the methane drainage borehole

$$\beta = \arctg \frac{m_o + m_h}{l_3}, \text{ degrees,}$$

where m_o – the basic roof thickness, m; m_h – the immediate roof thickness, m; l_3 – distance to the zone of maximum support pressure, m.

Borehole length:

$$l_{ckb} = \sqrt{(m_o + m_h)^2 + l_3^2}, \text{ m.}$$

Methane drainage borehole angle up the plunge:

$$\alpha_{6,B} = \beta + \alpha_{ni} = \arctg \frac{m_o + m_h}{l_3} + \alpha_{ni}, \text{ degrees,}$$

where α_{ni} – seam dip angle, deg.

Methane drainage borehole angle to the dip:

$$\alpha_{6,n} = \beta - \alpha_{ni} = \arctg \frac{m_o + m_h}{l_3} - \alpha_{ni}, \text{ degrees.}$$

Depth of sealing of methane drainage borehole:

$$l_r = \frac{l_h}{\sin \beta}, \text{ m.}$$

After borehole casing with steel pipes 102–114 mm in diameter and sealing it, the modified ZVD200/4 gate valve with control mechanism and a remote control panel is installed on the casing mounting flange. The hydrodynamic action parameters are given in Table 2.

Table 2**Parameters of the method for flat-lying coal seam degassing intensification**

Item	Quantity
Methane drainage borehole diameter, mm	≥ 76
Methane drainage borehole diameter in sealed part, mm	≥ 150
Methane drainage borehole length within coal, m	≥ 20
Methane drainage borehole length within rock, m	Calculated
Depth of sealing of methane drainage borehole, m	≥ 6
Fracturing fluid feed pressure, MPa	≤ 5
Residual pressure in the borehole after pressure relief, MPa	0
Volume of liquid discharge in the end of each cycle, m^3	0.3–1.0
Coal recovery factor	≥ 0.01
Efficiency of methane drainage	0.3–0.8

When the ZVD200/4 gate valve is closed, the main pump feeds water through the borehole into the coal seam until the working pressure is reached, then the gate valve opens and the pressure is released to the value that determines the required pressure difference in the seam. As a result, water is discharged from the borehole along with the ruptured coal and free and desorbed gas (methane). The cycles of pressure rise and relief are repeated until the particles of the ruptured coal are thrown out the borehole or when the required amount of coal and gas extracted from the treatment zone is reached. After HDA completion, the flange of the corrugated gas outlet hose of the methane drainage system is installed on the mounting flange of the casing.

Conclusions

As a result of the mine research of the method for methane drainage of gas-saturated flat-lying coal seams by hydrodynamic action, the following is established.

1. The currently used standard methods for methane drainage of gas-saturated coal seams at great depth often do not provide required methane drainage efficiency of 50% and more to ensure rhythmic operation of production faces. This results in decreasing rate of development and stoping work.

2. For the first time, the influence of hydrodynamic action on the degree of methane drainage of gas-saturated seams was revealed. Effect of pressure decreases the content of active

paramagnetic centers (capable of interacting with methane) in coal that, in turn, decreases boundary sorption capacity of the coal substance. To evaluate the duration of sorption and desorption interactions in coal – gas system, it is proposed to use the transient process time indicator T_N , which characterizes the substance fracturing (broken condition).

3. The synchronous nature of the change in geomechanical and gas-dynamic behavior of coal seam after the hydrodynamic action (HDA) was established. Our studies showed time lag of the local maxima of methane concentration in the working air stream in relation to the acoustic emission maxima by 1–5 days.

4. Intensive gas release from underground boreholes after HDA is affected by the temporary support pressure of the approaching longwall. As the longwall approaches, methane flow rate of the boreholes initially decreases, and then increases sharply, reaching maximum at the distance of 25–15 m from the boreholes. Later, during underworking of the boreholes, the methane release from them decreases due to methane release immediately into the longwall and mined-out space.

5. The technology and method for intensifying methane drainage of flat-lying gas-saturated coal seams have been developed; the method parameters allowing achieving methane drainage efficiency of 30–70% in the treated areas have been determined.

References

1. Bulat A. F. Problems of mining, energy and ecology / A.F. Bulat, M.S. Chetverik; IGTM NAS of Ukraine. Geotechnical Mechanics: Proceedings (collection of scientific papers), Dnepropetrovsk, 2013, No. 110, pp. 3-14 (in Russ.).
2. Ilyashov M. A. The influence of productivity and the advance rate on gas balance of extraction district. Mining Journal, 2010, No. 7, pp. 100–102 (in Russ.).
3. Mineev S. P., Rubinsky A. A., Vitushko O. V., Radchenko A. G. Outburst-dangerous seam mining operations in heavy conditions. Donetsk: Skhidni vidavnichiy dim (East Publishing House), 2010, 603 p. (in Russ.).
4. Zaburdayev V. S. Methods of gas recovery intensification in unrelieved seams in underground conditions. V. S. Zaburdayev, G. S. Zaburdayev. Current issues of mine methane: Proceedings, Moscow, MGGU, 1999, pp. 106–117 (in Russ.).
5. Zvyagilsky E. L. Methane release control in coal mine mining districts / E.L. Zvyagilsky, B.V. Bokiy, O.I. Kasimov. Donetsk: Knowledge Publ., 2013, 124 p. (in Russ.).
6. Churadze M. V. Methods of hydraulic action on coal seams to prevent sudden coal-and-gas outbursts. GIAB, 2000, No. 7, pp. 219–222 (in Russ.).
7. Sofiysky K. K. Safety and effectiveness of methane-coal mines [monography] (*Bezopasnost' i effektivnost' metanougol'nykh shakht*). K. K. Sofiysky, R. K. Stasevich, B. V. Bokiy, A. V. Sheiko, V. I. Gavrilov, O. V. Moscow, E.E. Dudlya. Kiev: FLP Khalikov R. Kh., 2017, 308 p. (in Russ.).
8. The rules for mining of seams with gas dynamic activity manifestations: SOU 10.1.0017.4088.011-2005. Valid from 2005-12-30. Kiev: Minvugleprom of Ukraine, 2005, 222 p. (in Ukrainian).
9. Sofiysky K.K. Conceptual basis of method for comprehensive preventive hydrodynamic treatment of gas-saturated and outburst-dangerous seams with hydrodynamic design / K. K. Sofiysky, S. G. Baradulin, A. V. Aksenov. Geotechnical Mechanics: Proceedings of IGTM NAS of Ukraine, Dnepropetrovsk, 2001, Issue 27, pp. 144-150 (in Ukrainian).
10. Airuni A. T. Economic effectiveness of mine gase control by ventilation and degassing methods (*Ekonomiceskaya effektivnost' bor'by s rudnichnymi gazami metodami ventilyatsii i degazatsii*). A. T. Airuni, Yu. N. Bessonov, Moscow, 1971, 55 p. (in Russ.).
11. Lidin G. D. Methane accumulation control in coal mines (*Bor'ba so skopleniyami metana v ugol'nykh shakhtakh*). G. D. Lidin, A. T. Airuni, F. S. Klebanov et al. Moscow: Gosgortekhizdat Publ., 1961, 140 p. (in Russ.).
12. Zaburdayev V. S. Degassing flat coal seams (*Degazatsiya pologikh ugol'nykh plastov*). Coal (*Ugol'*), 1978, No. 5, pp. 57-60 (in Russ.).
13. Degassing of coal mines. Requirements for methods and arrangement for degassing. K.: Ministry of Fuel and Energy of Ukraine, 2004, 116 p. (in Ukrainian).
14. Skipochka S. I. Mechanisms of methane generation in coal mines. S.I. Skipochka, T.A. Palamarchuk. Coal of Ukraine (*Ugol' Ukrainy*), 2013, No. 2, pp. 30–34 (in Russ.).
15. Saranchuk V.I. Supramolecular organization, structure and properties of coal. (*Nadmolekulyarnaya organizatsiya, struktura i svoystva uglya*) Saranchuk V.I., Airuni A.T., Kovalev K.E. K.: Naukova Dumka Publ., 1988, 192 p. (in Russ.).
16. Goncharenko V. A. Automation of processing and calculation of sorption and structural properties of coal determined by EPR method. V. A. Goncharenko, A. V. Burchak, V. V. Kotlyarov. NSAU Scientific Newsletter, Dnipropetrovsk, 2001, No. 4, pp. 69–71 (in Russ.).
17. Burchak A. V. The study of coal-gas system and development of methods for coal metamorphism and broken condition assessing using EPR method (*Issledovanie sistemy «ugol'-gaz» i razrabotka sposobov otsenki metamorfizma i narushennosti ugley metodom EPR*): Extended abstract of Cand. Sci. Dissertation in engineering science, 05.15.2011, A.V. Burchak, Dnepropetrovsk, NSU, 1994, 14 p. (in Russ.).
18. Lukinov V. V. The study of structural features of outburst-hazardous coal by EPR method (*Issledovanie strukturnykh osobennostey vybrosoopasnykh ugley metodom EPR*). V.V. Lukinov, A.V. Burchak, IGTM NAS of Ukraine. Geotechnical Mechanics Proceedings, Dnepropetrovsk, 2005, Issue 57, pp. 35–40 (in Russ.).
19. Kuznetsov S. V. On the kinetics of desorption in gas-dynamic phenomena in coal mines. S.V. Kuznetsov, V.A. Bovin, FTPRPI, 1980, No. 1, pp. 58–65 (in Russ.).
20. Sofiysky K. K. Methods for intensifying coal seam degassing and preventing coal-and-gas outbursts (*Sposoby intensifikatsii degazatsii ugol'nykh plastov i predotvratshcheniya vybrosov uglya i gaza*) (monography). K.K. Sofiysky, D.M. Zhitlenok, V.I. Gavrilov et al. Donetsk: LLP Skhidni Vidavnichiy Dim Publ., 2014, 460 p. (in Russ.).

21. Sofiysky K. K. Hydrodynamic methods of influencing stressed gas-saturated coal seams (monography) (*Gidrodinamicheskie sposoby vozdeystviya na napryazhennye gazonasyshchennye ugod'nye plasty*) K. K. Sofiysky, V. I. Gavrilov, D. M. Zhitlenok et al. Donetsk: LLP Skhidniy Vidavnichiy Dim Publ., 2015, 364 p. (in Russ.).
22. Gavrilov V. I. Intensification of gas release from low permeable coal seam by hydrodynamic action. Gavrilov V.I., Sofiysky K.K. Mining Journal (Gornyy Zhurnal), 2019, No 2, pp. 83–87 (in Russ.).
23. Topchy S. E. Substantiation of the parameters of the method for operational control of rock mass conditions using acoustic equipment (*Obgruntuvannya parametiv sposobu operativnogo kontrolyu ta upravlinnya stanom girnichogo massivu iz zastosuvannym zvukoulovlyuchoi aparaturi*): Extended abstract of Cand. Sci. Dissertation in engineering science, 05.15.02, S. E. Topchy, Donetsk: IFGP NAS of Ukraine, 2007, 20 p. (in Ukrainian).
24. Chernyak I. L. Rock mass state control (*Upravlenie sostoyaniem massiva gornykh porod*) / I. L. Chernyak, S. A. Yarunin. Moscow: Nedra Publ., 1995. 395 p. (in Russ.).
25. KD 12.01.05.101-99. Forecast of dynamic manifestations of rock pressure based on acoustic emission activity: technique. Horlivka: DonNII, 1999, 21 p. (in Russ.).

Библиографический список

1. Булат А. Ф. Проблемы горного дела, энергетики и экологии / А. Ф. Булат, М. С. Четверик; ИГТМ НАН Украины. Геотехническая механика: Межвед. сб. науч. тр. Днепропетровск, 2013. № 110. С. 3–14.
2. Ильяшов М. А. Влияние производительности и скорости подвигания забоя на газовый баланс выемочного участка. Горный журнал. 2010. № 7. С. 100–102.
3. Горные работы в сложных условиях на выбросоопасных пластах. С. П. Минеев, А. А. Рубинский, О. В. Витушко, А. Г. Радченко. Донецк: Східний видавничий дім, 2010. 603 с.
4. Забурдяев В. С. Способы интенсификации газоотдачи неразруженных пластов в подземных условиях. В. С. Забурдяев, Г. С. Забурдяев. Современные проблемы шахтного метана: Сб. науч. тр. М.: МГГУ, 1999. С. 106–117.
5. Звягильский Е.Л. Управление метановыделением на выемочных участках угольных шахт / Е. Л. Звягильский, Б. В. Бокий, О. И. Касимов. Донецк: Ноулидж, 2013. 124 с.
6. Чурадзе М. В. Способы гидравлического воздействия на угольные пласти для борьбы с внезапными выбросами угля и газа. ГИАБ. 2000. №7. С. 219–222.
7. Софийский К. К. Безопасность и эффективность метаноугольных шахт: [монография]. К. К. Софийский, Р. К. Стасевич, Б. В. Бокий, А. В. Шейко, В. И. Гаврилов, О. В. Московский, Е. Е. Дудля. К.: ФЛП Халиков Р. Х., 2017. 308 с.
8. Правила ведення гірничих робіт на пластих, схильних до газодинамічних явищ: СОУ 10.1.0017.4088.011-2005. Чинний від 2005-12-30. К.: Мінвуглелпром України, 2005. 222 с.
9. Софійський К. К. Концептуальна сутність способу комплексної профілактичної обробки напружених газонасичених та викидонебезпечних вугільних пластів гідродинамічною дією / К.К. Софійський, С.Г. Барадулін, А.В. Аксенов. Геотехническая механика: Межвед. сб. науч. тр. ИГТМ НАН Украины. Днепропетровск, 2001. Вып. 27. С. 144–150.
10. Айруни А. Т. Экономическая эффективность борьбы с рудничными газами методами вентиляции и дегазации. А. Т. Айруни, Ю. Н. Бессонов. – М., 1971. – 55 с.
11. Лидин Г.Д. Борьба со скоплениями метана в угольных шахтах. Г. Д. Лидин, А. Т. Айруни, Ф. С. Клебанов [и др.]. М.: Госгортехиздат, 1961. 140 с.
12. Забурдяев В. С. Дегазация пологих угольных пластов. Уголь. 1978. № 5. С. 57–60.
13. Дегазація вугільних шахт. Вимоги до способів та схеми дегазації. К.: Мінпаливнерго України, 2004. 161 с.
14. Скипичка С. И. Механизмы генерации метана в угольных шахтах. С. И. Скипичка, Т. А. Паламарчук. Уголь Украины. 2013. № 2. С. 30–34.
15. Саранчук В. И. Надмолекулярная организация, структура и свойства угля. В. И. Саранчук, А. Т. Айруни, К. Е. Ковалев. К.: Наук. думка, 1988. 192 с.
16. Гончаренко В. А. Автоматизация процесса обработки и расчета сорбционных и структурных свойств угля, определяемых методом ЭПР. В. А. Гончаренко, А. В. Бурчак, В. В. Котляров. Науковий вісник НГАУ: Зб. наук. пр. НГАУ. Дніпропетровськ, 2001. № 4. С. 69–71.
17. Бурчак А. В. Исследование системы «уголь–газ» и разработка способов оценки метаморфизма и нарушенности углей методом ЭПР: автореф. дис. ... канд. техн. наук: 05.15.11. А. В. Бурчак. Днепропетровск: НГУ, 1994. 14 с.

18. Лукинов В. В. Исследование структурных особенностей выбросоопасных углей методом ЭПР. В. В. Лукинов, А. В. Бурчак; ИГТМ НАН Украины. Геотехническая механика: Межвед. сб. науч. тр. Днепропетровск, 2005. Вып. 57. С. 35–40.
19. Кузнецов С. В. К вопросу о кинетике десорбции при газодинамических явлениях в угольных шахтах. С.В. Кузнецов, В.А. Бовин. ФТПРПИ. 1980. № 1. С. 58–65.
20. Софийский К. К. Способы интенсификации дегазации угольных пластов и предотвращения выбросов угля и газа: монография. К. К. Софийский, Д. М. Житленок, В.И. Гаврилов [и др.]. Донецк: ТОВ «Східний видавничий дім», 2014. 460 с.
21. Софийский К. К. Гидродинамические способы воздействия на напряженные газонасыщенные угольные пласти: монография. К. К. Софийский, В. И. Гаврилов, Д. М. Житленок [и др.]. Донецк: ТОВ «Східний видавничий дім», 2015. 364 с.
22. Гаврилов В. И. Интенсификация газовыделения из низкопроницаемого угольного пласта гидродинамическим воздействием. В. И. Гаврилов, К. К. Софийский. Горный журнал. 2019. № 2. С. 83–87.
23. Топчай С. Є. Обґрунтування параметрів способу оперативного контролю та управління станом гірничого масиву із застосуванням звукоуловлючої апаратури : автореф. дис. ... канд. техн. наук: 05.15.02. С. Є. Топчай. Донецьк: ІФГП НАН України, 2007. 20 с.
24. Черняк И. Л. Управление состоянием массива горных пород / И.Л. Черняк, С.А. Ярунин. М.: Недра, 1995. 395 с.
25. КД 12.01.05.101-99. Прогноз динамических проявлений горного давления по активности акустической эмиссии: методика. Горловка: ДонНИИ, 1999. 21 с.

ORIGINAL PAPERS

DOI: 10.17073/2500-0632-2019-3-172-180

Основные факторы неблагоприятного воздействия на окружающую среду деятельности калийного производства и способы ее защиты

Высоцкая Н. А., Пискун Е. В.

Закрытое акционерное общество «Солигорский Институт проблем ресурсосбережения с Опытным производством», Солигорск, Минская область, Республика Беларусь, onti@sipr.by

Аннотация: В настоящее время неблагоприятным фактором для окружающей среды в Солигорском горно-промышленном районе является влияние подземных горных работ на рельеф и ландшафтную обстановку. Отмечено, что подтопление и заболачивание на подрабатываемой территории шахтных полей калийных рудников связано со специфическими природными условиями района. Известно, что глинисто-солевые шламы складируют в шламохранилищах. С целью предотвращения фильтрации рассолов и диффузационного проникновения солей в подстилающие грунты и грунтовые воды и недопущения тем самым засоления геологической среды в районах размещения солеотвалов и на откосах ограждающих дамб устраивается противофильтрационный экран. Отмечено, что в последние годы на рудоуправлениях ОАО «Беларуськалий» широко используется технология высотного складирования твердых отходов, что позволяет сократить площади, занимаемые под солеотвалы. В целях предотвращения и ликвидации избыточных рассолов в ОАО «Беларуськалий» внедрен способ биологической рекультивации отработанных шламохранилищ, что предусматривает создание растительного покрова на поверхности почвенно-гребкового слоя и условий для его самовосстановления. Определено, что есть пять степеней загрязнения подземных вод Солигорского промрайона: низкая, средняя, периодически высокая, высокая, катастрофически высокая. Отмечено, что на растительный и животный мир в районе деятельности калийных предприятий отрицательное воздействие оказывают в основном следующие факторы: изъятие земель под промплощадки, солеотвалы и шламохранилища и, как следствие, сокращение площади растительного покрова; затопление, подтопление и заболачивание земель вследствие оседания земной поверхности над отработанными горными выработками; засоление избыточными рассолами прилегающих к предприятию территорий; влияние промышленных пылегазовых выбросов. Одним из средств борьбы с засолениями почвы является создание лесозащитных полос.

Ключевые слова: шламохранилище, горнопромышленный район, грунтовые воды, избыточный рассол, степень загрязнения, подземные воды, глинисто-солевой экран.

Для цитирования: Высоцкая Н. А., Пискун Е. В. Основные факторы неблагоприятного воздействия на окружающую среду деятельности калийного производства и способы ее защиты. *Горные науки и технологии*. 2019;4(3):172-180. DOI: 10.17073/2500-0632-2019-3-172-180.

The Main Factors of Adverse Environmental Impact of Potash Production and Methods of Environmental Protection

N. A. Vysotskaya, E. V. Piskun

Closed Joint-Stock Company Soligorsk Institute for Resource Saving Problems with Pilot Production,
Soligorsk, Minsk Region, Republic of Belarus, onti@sipr.by

Abstract: Currently, an adverse environmental factor in the Soligorsk mining district is the effect of underground mining on the terrain and landscape. The remarkable thing is that flooding and waterlogging in the undermined territory of the potash mine fields is connected with specific natural conditions of the district. Clay-salt tailings are known to be stored in salt tailings piles. To prevent the filtration of brines and diffusive penetration of salts into underlying soil and groundwater and thereby prevent salinization of geological environment, in the areas where salt tailings piles are located and on the slopes of bund walls, an impervious screen is arranged. It was noted that in recent years, Belaruskali OJSC's ore departments have been widely using high-altitude solid waste piling method, which reduces the area occupied by salt tailings piles. To prevent and eliminate excess brines, Belaruskali introduced a method for biological reclamation of spent salt tailings piles, which provides for creation of vegetation on the soil layer surface and the conditions for its self-regeneration. Five degrees of groundwater pollution in the



Soligorsk industrial district were distinguished: low, medium, periodically high, high, and catastrophically high. It was found that the following factors have negative impact on flora and fauna in the district where potash enterprises operate: land acquisition for industrial sites, salt tailings piles and TSF and, as a result, reduction in the area of vegetation cover; flooding and waterlogging of lands due to subsidence of the earth's surface above the worked-out mine workings; salinization of territories adjacent to the enterprise by excess brines; impact of industrial dust and gas emission. One of salinization control measures is creation of forest shelter belts.

Keywords: salt tailings pile, mining district, groundwater, excess brine, degree of pollution, clay-salt barrier.

For citation: Vysotskaya N. A., Piskun E. V. The main factors of adverse environmental impact of potash production and methods of environmental protection. *Mining Science and Technology*. 2019;4(3):172-180 (In Russ.). DOI: 10.17073/2500-0632-2019-3-172-180.

Введение

В настоящее время Беларусь входит в первую пятерку калийпроизводящих стран мира. Темпы горнодобывающего освоения Старобинского месторождения калийных солей негативно сказались на естественной природной обстановке этого региона. Подземная добыча сильвинитовой руды на Старобинском месторождении ведется механизированным способом на втором и третьем (частично на первом) промышленных горизонтах на глубинах 400...500 м и 600...1000 м соответственно.

Наличие больших мощностей калийного производства в Солигорском районе с его огромными объемами отходов обуславливает необходимость детального исследования динамики качества грунтовых и межпластовых вод. В зависимости от концентрации веществ техногенного происхождения и санитарных норм, принятых для питьевых вод, на территории района выделены участки с низкой, средней, периодически высокой, высокой и катастрофически высокой степенью загрязнения грунтовых вод [1].

Осадение земной поверхности и изменение уровневого режима грунтовых вод. Весьма неблагоприятным фактором для окружающей среды в Солигорском горнодобывающем районе является влияние подземных горных работ на рельеф и ландшафтную обстановку района вследствие оседания и деформации земной поверхности.

Осадение поверхности земли над отработанными горными выработками, начинаю-

щееся через 1...2 года после выемки полезного ископаемого, достигает конечной величины 3,5...4,5 м при отработке двух калийных горизонтов.

Интенсивность процесса сдвижения земной поверхности зависит от применяемых систем разработки, глубины ведения горных работ и порядка отработки пластов. Подтопление и заболачивание на подрабатываемой территории шахтных полей калийных рудников связано также со специфическими природными условиями района [2, 3].

Зона затопления образуется на наиболее пониженных в рельфе участках [4, 5]. В пределах месторождения к ней относятся прибрежная зона водохранилища, долины рек Рутки и Сивельги и южная часть шахтного поля 4-го рудоуправления (РУ). Затопление земель здесь возможно главным образом грунтовыми и речными водами.

К зоне заболачивания относится часть подрабатываемой территории с переходными формами рельефа, сложенная водопроницаемыми отложениями и характеризующаяся глубиной залегания грунтовых вод, превышающей амплитуду оседания на 0,1...0,2 м [6]. По сравнению с первой вредное влияние горных разработок здесь проявляется в меньшей степени и заключается только в заболачивании местности.

Зона подтопления охватывает более возвышенные участки, в пределах которых глубина залегания уровня грунтовых вод колеблется в пределах 1,0...2,0 м выше амплитуды оседания. Вредное влияние горных раз-

работок в ней проявляется еще в меньшей степени и заключается лишь в подтоплении фундаментов и подвальных помещений зданий и сооружений.

Шламохранилища. На калийных предприятиях существует шламовое хозяйство – комплекс сооружений и оборудования, предназначенный для гидравлического транспортирования шламовых отходов к месту их складирования и хранения, гидравлической укладки шламовых отходов и оборотного водоснабжения обогатительной фабрики. В комплекс сооружений входят и шламохранилища [7].

Глинисто-солевые шламы складируют в шламохранилищах. С целью предотвращения фильтрации рассолов и диффузационного проникновения солей в подстилающие грунты и грунтовые воды и недопущение тем самым засоления геологической среды в районах размещения солеотвалов и на откосах ограждающих дамб устраивается противофильтрационный экран (рис. 1) [8].

Наибольшее распространение при сооружении шламохранилищ в ОАО «Беларуськалий» получило применение двухслой-

ного противофильтрационного экрана из полиэтиленовой пленки, стабилизированной сажей, с защитным слоем из местного супесчаного (суглинистого) грунта толщиной 0,5 м (0,8 м для дамб) с закладкой днища шламохранилища на 1,0 м и более выше зеркала грунтовых вод, определенного с учетом максимальной амплитуды оседания земной поверхности на конец процесса сдвижения. При этом пленка укладывается непосредственно на спланированную и укатанную поверхность основания шламохранилищ и верховые откосы ограждающих дамб, сложенных естественными песчаными или супесчаными грунтами. Отметка заложения противофильтрационного экрана в основание шламохранилища по отношению к уровню грунтовых вод нормативами не регламентируется. В каждом конкретном случае она определяется, исходя из геолого-гидрогеологических условий участка строительства и инженерно-геологических свойств слагающих его пород, но, как правило, отметка верха пленочного экрана не менее чем 1,0 м выше зеркала грунтовых вод (рис. 1) [9].

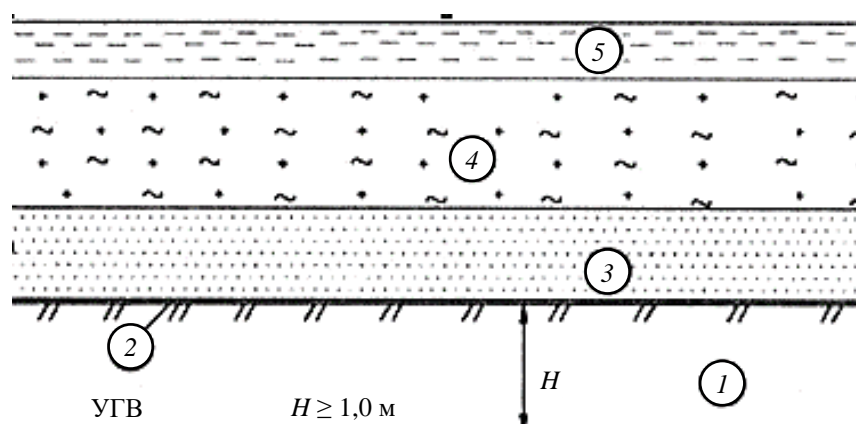


Рис. 1. Противофильтрационный экран, устраиваемый в основании шламохранилищ на ОАО «Беларуськалий»:

1 – подстилающие уплотненные (укатанные) супесчаные (суглинистые) грунты; 2 – стабилизированная сажей полиэтиленовая пленка; 3 – защитный слой из местного супесчаного (суглинистого) грунта толщиной 0,5 м; 4 – шламовые грунты (твёрдая фаза, выпавшая в осадок из глинисто-солевых шламов); 5 – осветленные рассолы

Fig. 1. Impervious screen arranged in the base of salt tailings piles at JSC Belaruskali:

1 – underlying compacted (rolled) sandy loamy soils; 2 – polyethylene film stabilized with black; 3 – protective layer of local sandy loam soil 0.5 m thick; 4 – sludge soils (solid phase precipitated from clay-salt sludge); 5 – clarified brines

Загрязнение атмосферного воздуха.

Хранящиеся на поверхности земли солевые отходы подвергаются агрессивному выщелачивающему воздействию атмосферных осадков, выпадающих на незащищенную поверхность солеотвалов и шламохранилищ с образованием избыточных рассолов на пределе насыщения солями с минерализацией до 340...350 г/л. Годовое увеличение их объема связано с увеличением площадей складирования отходов [10]. Эти обстоятельства вынуждают проводить мероприятия по уменьшению площадей изымаемых из сельскохозяйственного оборота земель для складирования солеотходов. При их сооружении в основании готовят ложе с применением пленочных экранов.

В последние годы на рудоуправлениях ОАО «Беларуськалий» широко используется технология высотного складирования твердых отходов, что позволяет сократить площади, занимаемые под солеотвалы.

В целях предотвращения появления и ликвидации избыточных рассолов в ОАО «Беларуськалий» внедрен способ биологической рекультивации отработанных шламохранилищ, что предусматривает создание растительного покрова на поверхности почвенно-грунтового слоя и условий для его самовосстановления.

Биологическая рекультивация отработанных шламохранилищ калийных предприятий осуществляется в два этапа [11]:

1) горнотехнический – подготовка поверхностей шламовых грунтов с предварительным удалением рассолов, нанесение на них противофильтрационного и противодиффузационного экрана и почвенно-грунтового слоя;

2) собственно биологический – агротехнические приемы подготовки почвы, посев и выращивание кормовых трав.

Горнотехническому этапу предшествует изучение вещественного и механического состава шламовых грунтов рекультивируемого

шламохранилища, а также их инженерно-геологических свойств.

Горнотехнический этап рекультивации включает следующие рабочие процессы [12, 13]:

1) удаление избыточных рассолов с поверхности шламохранилища для естественного осушения поверхности шламовых грунтов;

2) подготовка поверхности шламовых грунтов для укладки полиэтиленового покрытия (планировка, создание уклонов и др.);

3) устройство полиэтиленового покрытия (экрана) на поверхности шламовых грунтов;

4) нанесение поверх полипропиленового покрытия грунтового слоя;

5) нанесение почвенного слоя на поверхность грунтового слоя;

6) контроль качества и прием выполненных работ.

Биологическая рекультивация является завершающим этапом восстановления нарушенных шламохранилищами земель и включает комплекс агротехнических приемов, осуществляемых после проведения горнотехнического этапа рекультивации [14, 15].

Калийные предприятия ОАО «Беларуськалий» имеют 637 источников пылегазовых выбросов в атмосферу, из них 556 организованных. В сушильных отделениях обогатительных фабрик и цехах грануляции хлористого калия образующиеся пылегазовые выбросы проходят сухую и мокрую стадии очистки. Все рудоуправления и котельные не превышают установленные нормативы на выброс вредных веществ в атмосферу (предельно допустимые выбросы, ПДВ). Общий объем выбрасываемых в атмосферу газообразных веществ составляет $\approx 25,0$ тыс. т в год [16]. Радиус выпадения солевой пыли от источника выброса (промплощадки рудоуправлений) составляет в среднем 2 км, а максимальное ее количество – в радиусе 0,5...1,0 км. Общая площадь земель, подверженных засолению оседающей солевой пылью, вокруг рудоуправлений составила около 1 000 га.

Степень загрязнения подземных вод Солигорского горнопромышленного района. Низкая степень загрязнения установлена на участках, где хозяйственная деятельность сведена к минимуму, а уровень химической трансформации верхней части подземной гидросфера определяется лишь атмосферным трансграничным переносом загрязняющих веществ. К этим участкам относятся в основном лесные массивы в южной половине района, где химический состав и минерализация грунтовых вод практически соответствуют естественному фону или незначительно превышают его. Общая площадь этих участков составляет около 39 % от площади Солигорского района.

Средняя степень загрязнения грунтовых вод характеризуется повышенными концентрациями химических веществ, превышающими их естественный фон, но не достигающими предельно допустимой концентрации (ПДК) для питьевых вод. Участки с таким уровнем загрязнения расположены вдали от наиболее опасных источников загрязнения, где их влияние ослабевает. К ним отнесены сельскохозяйственные угодья, а также территории небольших деревень. Грунтовые воды пригодны для питьевых целей при улучшении отдельных показателей по железу, фтору, иногда марганцу. Пестициды в грунтовых водах на территории района не зафиксированы.

Периодически высокая степень загрязнения грунтовых вод установлена на территории 28 деревень, а также г. п. Старобин и Красная Слобода. Для этих участков характерно периодическое превышение ПДК по одному или нескольким показателям. На участках периодически высокого загрязнения в грунтовых водах за последние 20...30 лет выросли концентрации соединений азота (нитраты, аммоний), хлоридов, кальция, магния, нередко сульфатов. Общая площадь периодически высокого загрязнения составляет 2,1 % от общей площади района.

Высокой степени загрязнения грунтовых вод соответствует постоянное и устойчивое превышение ПДК по одному или нескольким показателям.

Катастрофически высокая степень загрязнения пресных (как грунтовых, так и межпластовых) вод установлена на участках солеотвалов и шламохранилищ калийных комбинатов. Здесь не только увеличивается концентрация загрязняющих веществ в 500...1 000 раз и более, но и возрастает минерализация воды (с 0,2 до 156,0 г/дм³). Полностью изменяется тип воды: от гидрокарбонатных магниево-кальциевых вод до крепких хлоридно-натриевых рассолов.

Пресные межпластовые воды также подверглись поверхностному загрязнению. Но в отличие от грунтовых вод, степень загрязнения их на порядок ниже, а распространение носит локальный характер. Максимальные концентрации загрязняющих веществ в межпластовых водах наблюдаются в зоне с высоким загрязнением грунтовых вод, а также вблизи животноводческих объектов [17].

Загрязнение водных ресурсов. Из всех проблем в области охраны окружающей среды вопросы предотвращения регионального распространения ореолов загрязненных подземных вод в водоносных горизонтах являются до настоящего времени во всех странах наиболее трудноразрешимыми в техническом и экономическом отношении [18, 19].

Насыщенные рассолы, проникая в водоносный горизонт, распространяются в нем вертикально вниз под влиянием гравитационных сил. При этом скорость их опускания превосходит в десятки раз скорость подземного потока в первом от поверхности земли водоносном горизонте, а суглинистые и супесчано-глинистые мореные прослои в рыхлой песчано-глинистой водонасыщенной толще четвертичных и неоген-палеогеновых отложений не являются преградой (экраном) для опускания рассолов, а лишь замедляют этот процесс. Гидромеханические и геофизи-

ческие исследования выявили, что засоление подземных вод происходит на участках под солеотвалами 1, 2, 3 и 4-го РУ, а также участках шламохранилищ этих рудоуправлений. Глинисто-солевой экран оказался неэффективным в условиях солевых отходов калийных производств.

Подземные воды под солеотвалами и шламохранилищами засолены на всю глубину верхнего водоносного комплекса до кровли регионального водоупора – верхнедевонской водоупорной надсолевой глинистомергелистой толщи. Сами промплощадки рудоуправлений также оказались источниками загрязнения подземных вод.

В результате засоления подземных вод вышли из строя большинство артезианских скважин водозаборов на 1, 2 и 3-м рудоуправлениях. Исследования по оценке пригодности вод Солигорского и Любанского водохранилищ для хозяйствственно-питьевого водоснабжения выявили, что основными загрязняющими поверхностные воды веществами являются органические вещества и железо.

Вода Солигорского водохранилища характеризуется нестабильным качественным составом из-за попадания загрязненных вод через р. Рутку, ливневых вод с промплощадок 1 и 3-го рудоуправлений и территории г. Солигорска и сбрасывания мелиоративных вод из мелиоративных систем.

Результаты гидрохимических наблюдений показали, что качество воды в Солигорском, Любанском и Краснослободском водохранилищах не удовлетворяет требованиям, предъявляемым к водеемам хозяйствственно-питьевого назначения, в основном по содержанию органических веществ, нефтепродуктов и бактериологическим показателям. Наблюдаются тенденция роста концентрации хлоридов и сульфатов.

Влияние на растительный мир. На растительный и животный мир в районе деятельности калийных предприятий отрица-

тельное воздействие оказывается в основном следующими факторами:

- изъятие земель под промплощадки, солеотвалы и шламохранилища и, как следствие, сокращение площади растительного покрова;
- затопление, подтопление и заболачивание земель вследствие оседания земной поверхности над отработанными горными выработками;
- засоление избыточными рассолами прилегающих к предприятию территорий;
- влияние промышленных пылегазовых выбросов.

Общая площадь лесов, находящихся в зоне отработки шахтных полей, составляет около 2 000 тыс. га. Леса расположены в южной части шахтных полей 1 и 4-го РУ.

Наиболее существенное затопление наблюдается в Любанском лесничестве – в зоне оседания общей площадью 350 га. Эти лесные земли нуждаются в защите от затопления.

Солеотвалы и шламохранилища отнимают жизненное пространство по мере их расширения. Несмотря на нахождение их на открытой поверхности, десятилетиями не обнаруживается самозарастания солеотвалов какой-либо растительностью.

Одним из средств борьбы с засолением почвы является создание лесозащитных полос. Лесозащитные насаждения вокруг солеотвалов и в санитарно-защитных зонах снижают прежде всего рассеивание солевых отходов на прилегающие сельскохозяйственные угодья, являясь форпостом перед господствующими в регионе ветрами [20, 21].

Заключение

Ни одна отрасль народного хозяйства Республики Беларусь не оказывает столь значительного влияния на окружающую среду, как горно-химическое калийное производство, развивающееся на базе Старобинского месторождения калийных солей. Его воздействию подвергаются все элементы биосферы:

ее минеральная основа – геологическая среда с подземными водными ресурсами, земельные угодья, поверхностные водные ресурсы, воздушный бассейн и растительный мир.

ОАО «Беларуськалий» ежегодно выделяет значительные средства на осуществление природоохранных мероприятий для предотвращения отрицательного влияния калийного производства на окружающую среду. Вместе с тем эти усилия направлены в основном на ликвидацию последствий и не решают главных вопросов предотвращения складывающейся в районе Солигорска экологической обстановки.

Решение проблемы охраны природы в Солигорском горнопромышленном регионе требует комплексного подхода и совместных усилий многих научных и производственных организаций министерств и ведомств Республики Беларусь.

Таким образом, существует ряд проблем, которые необходимо решить как на общегосударственном, так и на местном уровне для реализации планов по обеспечению населения питьевой водой в рассматриваемом регионе.

Основной проблемой является проблема сохранения качества подземных вод эксплуатируемых водоносных горизонтов. Для этого требуется соблюдение режимов хозяйственной деятельности, регулирование любого нового строительства, проведение оценки воздействия на качество подземных вод существующих объектов или видов хозяйственной деятельности и принятие неотложных мер по предотвращению загрязнения подземных вод. В сельских населенных пунктах, использующих для питьевых нужд грунтовые воды путем создания шахтных колодцев, необходимо осуществить использование более глубоких водоносных горизонтов.

Библиографический список

1. Гледко Ю. А. Оценка степени защищенности подземных вод в районе добычи калийных солей. Геотектоника и минеральные ресурсы Беларуси: материалы Университетских чтений, посвященные 100-летию со дня рождения д-ра геол.-минерал. наук, проф. З. А. Горелика, Минск, 4–5 апреля 2008 г. Мин.: БГУ, 2008. С. 67–70.
2. Смычник А. Д., Богатов Б. А., Шемет С. Ф. Геоэкология калийного производства. Мин.: ЗАО «ЮНИПАК», 2005. 202 с.
3. Прушак В. Я., Высоцкая Н. А. Технология рекультивации отработанных шламохранилищ. XIV Международная конференция по открытой и подводной добыче полезных ископаемых. Варна, 3–7 июля 2017. Варна, 2017. С. 431–438.
4. Современные проблемы геологии: Университетские геологические чтения, посвященные 60-летию открытия Старобинского месторождения калийных солей, Минск, 3–4 апреля 2009 г. / Белорусский государственный университет, географический факультет; под общ. ред. Э. А. Высоцкого и др. Мин., 2009. 94 с.
5. Семенов А. В., Кузнецова Т. В., Степанов А. Л., Семенов В. М. Влияние азотного удобрения и растительных остатков на поведение метана в серой лесной почве. Агрохимия. 2004. № 4. С. 5–12.
6. Hay J. T. Controlled release nitrogen fertilizers. Manual of Fertilizer Proc. Fert. Sci. and Techn. Series. 1987. Vol. 5. Pp. 421–435.
7. Laiche A. J. jr. Slow-release fertilizer evaluation with container-grown plants. Mississippi state univ. Mississippi agr. and forestry experiment station. 1996. Vol. 21, № 2. 5 p.
8. Andersson A. Cadmium effekts from phosphorus fertilization in field experiments. A. Andersson, M. Hahlin. Swed. J. Agr. Res. 1981. Vol. 11. № 1.
9. Buswell A. M. Fundamentals of anaerobic treatment of organic wastes. 1957. 29 p.
10. Flaig W. Wirkung org. Bodensubstanzen und Ertragssicherung. Landbauforsch. W. Flaig, H. Sochtig. Volkenrode, 1999. № 23. Pp. 19–28.
11. Henze M., Kristensen G. H., Strube R. Determination of organic matter and nitrogen in wastewater. Department of Environmental Engineering, Technical University of Denmark, Lyngby, Denmark. 1992.
12. Lie E., Welander T. Determination of volatile fatty acid potential of wastewater from different municipal treatment plants. Water Res., 1997, 31. Pp. 1269–1274.
13. Maier R. Pflanzen im Lebensraum Stadt. Die Störung der ökologischen Ordnung in den Kulturlandschaften. Veröff.d.Komm.f. Humanökologie,Österr.Akad.Wiss. 1992. Pp. 145–181.

14. McCarty P. L. Anaerobic waste treatment fundamentals. II. Environmental requirements and control. Public Works. 94, 1964. 123 p.
15. Кудеярова А. Ю. Хемосорбция фосфат-ионов и деструкция органо-минеральных сорбентов в кислых почвах. Почвоведение, 2010. № 6. С. 681–697.
16. Кудеярова А. Ю. Влияние орто- и пирофосфатов на трансформацию железогумусовых сорбентов и их способность связывать калий и цинк. Агрохимия, 2005. № 6. С. 66–75.
17. Кузнецова Т. В., Семенов А. В., Ходжаева А. К. и др. Накопление азота в микробной биомассе севой лесной почвы при разложении растительных остатков. Агрохимия, 2003. № 10. С. 3–12.
18. Никитишен В. И. Питание растений и удобрение агроэкосистем в условиях ополий Центральной России. М.: Наука, 2012. 485 с.
19. Семенов В. М., Тулина А. С. Сравнительная характеристика минерализуемого пула органического вещества в почвах природных и сельскохозяйственных экосистем. Агрохимия, 2011. № 12. С. 53–63.
20. Семенов В. М., Когут Б. М., Лукин С. М. и др. Оценка обеспеченности почв активным органическим веществом по результатам длительных полевых опытов. Агрохимия, 2013. № 3. С. 19–31.
21. Семенов В. М., Кузнецова Т. В., Ходжаева А. К. и др. Почвенная эмиссия закиси азота: влияние природных и агрогенных факторов. Агрохимия, 2004. № 1. С. 30–39.

References

1. Gledko Yu. A. Assessment of the degree of groundwater protection in the area of potash salt extraction. Geotectonics and mineral resources of Belarus: Proceedings of the University Scientific Conference ad honorem the 100th anniversary of prof. Z. A. Gorelik, Minsk, April 4–5, 2008. Mn.: BSU, 2008, pp. 67–70 (in Russ.).
2. Smychnik A. D., Bogatov B. A., Shemet S. F. Geoecology of potash production. Mn.: ZAO "UNIPAK", 2005, 202 p. (in Russ.).
3. Prushak V. Ya., Vysotskaya N. A. Technology for reclamation of spent sludge storages. XIV International Conference on Opencast and Underwater Mining. Varna, July 3–7, 2017. Varna, 2017, pp. 431–438 (in Russ.).
4. Current problems of geology: Proceedings of the University Geological Scientific Conference for the 60th anniversary of the Starobinsky potassium salt deposit discovery, Minsk, April 3–4, 2009. Belarusian State University, Department of Geography; ed. E. A. Vysotsky et al. Mn., 2009, 94 p. (in Russ.).
5. Semenov A. V., Kuznetsova T. V., Stepanov A. L., Semenov V. M. Influence of nitrogen fertilizer and plant residues on the behavior of methane in grey forest soil. Agrochemistry, 2004, No. 4, pp. 5–12. (in Russ.).
6. Hay J. T. Controlled release nitrogen fertilizers. Manual of Fertilizer Proc. Fert. Sci. and Techn. Series. 1987, Vol. 5, pp. 421–435.
7. Laiche A. J. jr. Slow-release fertilizer evaluation with container-grown plants. Mississippi state univ. Mississippi agr. and forestry experiment station. 1996, Vol. 21, № 2. 5 p.
8. Andersson A. Cadmium effects from phosphorus fertilization in field experiments. A. Andersson, M. Hahlén. Swed. J. Agr. Res. 1981, Vol. 11. № 1.
9. Buswell A. M. Fundamentals of anaerobic treatment of organic wastes. 1957. 29 p.
10. Flaig W. Wirkung org. Bodensubstanzen und Ertragssicherung. Landbauforsch. W. Flaig, H. Sochtig. Volkenrode, 1999. № 23. Pp. 19–28.
11. Henze M., Kristensen G. H., Strube R. Determination of organic matter and nitrogen in wastewater. Department of Environmental Engineering, Technical University of Denmark, Lyngby, Denmark. 1992.
12. Lie E., Welander T. Determination of volatile fatty acid potential of wastewater from different municipal treatment plants. Water Res., 1997, 31, pp. 1269–1274.
13. Maier R. Pflanzenim Lebensraum Stadt. Die Störung der ökologischen Ordnung in den Kulturlandschaften. Veröff. d. Komm. f. Humanökologie, Österr. Akad. Wiss. 1992, pp. 145–181.
14. McCarty P. L. Anaerobic waste treatment fundamentals. II. Environmental requirements and control. Public Works. 94, 1964. 123 p.
15. Kudayarova A. Yu. Chemisorption of phosphate ions and destruction of organo-mineral sorbents in acidic soils. Soil Science, 2010, No. 6, pp. 681–697 (in Russ.).
16. Kudayarova A. Yu. Effect of ortho- and pyrophosphates on the transformation of iron-humus sorbents and their ability to capture potassium and zinc. Agrochemistry, 2005, No. 6, pp. 66–75.
17. Kuznetsova T. V., Semenov A. V., Khodzhaeva A. K. et al. Nitrogen accumulation in the microbial biomass of grey forest soil during decomposition of plant residues. Agrochemistry, 2003, No. 10, pp. 3–12 (in Russ.).
18. Nikitishen V. I. Plant nutrition and application of fertilizers to agroecosystems in the conditions of high plains of Central Russia. Moscow: Nauka Publ., 2012, 485 p. (in Russ.).
19. Semenov V. M., Tulina A. S. Comparative characteristics of the mineralized organic matter in the soils of natural and agricultural ecosystems. Agrochemistry, 2011, No 12, pp. 53–63 (in Russ.).

20. Semenov V. M., Kogut B. M., Lukin S. M. et al. Assessment of the availability of soils with active organic matter based on the results of long-term field experiments. Agrochemistry, 2013, No. 3, pp. 19–31 (in Russ.).
21. Semenov V. M., Kuznetsova T. V., Khodzhaeva A. K. et al. Nitrous oxide emission in soils: influence of natural and agrogenic factors. Agrochemistry, 2004, No. 1, pp. 30–39 (in Russ.).

Информация об авторах

Высоцкая Н. А. – заместитель начальника отдела научно-технической информации, Закрытое акционерное общество «Солигорский Институт проблем ресурсосбережения с Опытным производством», г. Солигорск, Минская область, Республика Беларусь, onti@siplr.by.

Пискун Е. В. – инженер по научно-технической информации (аспирантка Белорусского государственного университета транспорта), Закрытое акционерное общество «Солигорский Институт проблем ресурсосбережения с Опытным производством», г. Солигорск, Минская область, Республика Беларусь.

Information about the Authors

N. A. Vysotskaya – Deputy Head of Department of scientific and technical information, Closed Joint-Stock Company Soligorsk Institute for Resource Saving Problems with Pilot Production; Soligorsk, Minsk region, Republic of Belarus, onti@siplr.by.

E. V. Piskun – Engineer of scientific and technical Information (post-graduate student of Belarusian State University of Transport), Closed Joint-Stock Company Soligorsk Institute for Resource Saving Problems with Pilot Production; Soligorsk, Minsk region, Republic of Belarus.

ORIGINAL PAPERS

DOI: 10.17073/2500-0632-2019-3-181-187

Behaviour of Pollutants in the Upper Reaches of East Jiu River Case Study

A. F. Simion¹, M. Lazar², C. Drebendstedt³

¹National Institute for Research and Development in Mine Safety and Protection to Explosion–INSEMEX Petroșani, Romania

²University of Petrosani, Petrosani, Romania

³Technische Universität Berg Akademie Freiberg, Freiberg, Germany

Abstract: Surface water pollution is one of the consequences of modern society development through permanent pressures on the environment imposed by economic activities to provide the necessary resources for keeping modern living standards. Degradation of fresh water bodies is caused by the disappearance of natural water collection areas, deforestation and unsustainable farming practices, river pollution with wastes and the discharge of non-treated domestic and industrial wastewater into natural recipients. The main purpose of the mathematical modeling of rivers is to predict pollution dispersal in longitudinal and transversal directions, taking into account water body mixing coefficient. This paper is devoted to monitoring of physico-chemical indicators in the sampled river reaches and simulation of pollutant dispersal in the upper reaches of the East Jiu river.

Keywords: surface water pollution, environment, flow dynamics computation, mining, water.

For citation: Simion A. F., Lazar M., Drebendstedt C. Behaviour of pollutants in the upper reaches of East Jiu River case study. *Mining Science and Technology*. 2019;4(3):181-187. DOI: 10.17073/2500-0632-2019-3-181-187.

Анализ распространения загрязняющих веществ

на примере верховьев р. Ист Джиу

Симион А. Ф.¹, Лазар М.², Дребенштедт К.³

¹National Institute for Research and Development in Mine Safety and Protection to Explosion–INSEMEX, Петрошани, Румыния

²University of Petrosani, Петрошани, Румыния

³Фрайбергская горная академия, Фрайберг, Германия

Аннотация: Загрязнение поверхностных вод является одним из последствий развития современного общества и экономической деятельности на основе эксплуатации природных ресурсов с оказанием постоянного давления на окружающую среду – в целях поддержания высокого уровня жизни здесь и сейчас. Деградация пресноводных водоемов вызвана исчезновением природных водосборных площадей, вырубкой лесов и истощающими природные ресурсы и экологически опасными методами ведения сельского хозяйства, загрязнением рек мусором и сбросом бытовых и промышленных сточных вод в природные водоемы без надлежащей очистки. Основной целью математического моделирования рек является прогнозирование распространения загрязняющего вещества в продольном и поперечном направлении с учетом коэффициента перемешивания вод водоема. Эта статья посвящена мониторингу физико-химических показателей вод на участках отбора проб воды, а также моделированию рассеяния загрязняющих веществ в верхнем течении реки Ист Джиу.

Ключевые слова: загрязнение вод, окружающая среда, расчет динамики водных потоков, горные работы, воды.

Для цитирования: Симион А. Ф., Лазар М., Дребенштедт К. Анализ распространения загрязняющих веществ на примере верховьев р. Ист Джиу. *Горные науки и технологии*. 2019;4(3):181-187. DOI: 10.17073/2500-0632-2019-3-181-187.



1. Introduction

Study of water streams involves continuous modeling of material behavior at macroscopic level, in the form of the study of fluids in terms of steady state and fluctuation (dynamics), as well as investigating interactions between fluids and solid surfaces. These complex phenomena are studied mainly by fluid mechanics, which is based on the principles of classical physics (mechanics) [5]. Fluid mechanics approach in natural conditions is, however, complicated by the fact that in most cases the flow is turbulent, which implies high degree of complexity [5]. Importance of the question under consideration is connected with limited global reserves of freshwater and their contamination caused by anthropogenic activities. From qualitative, water has a microbiological and a physico-chemical components, which permanently interact with aquatic ecosystems. The paper objectives are to monitor water quality parameters in the sampled areas/sections and study the time-dependent and spatial evolution of pollutant concentrations in the upper reaches of East Jiu River. Possible sources of pollution in the studied area are mining, waste disposal, agriculture, and wood processing, and the components to be monitored are heavy metals, anions, cations, pH, phenols, total phosphorus and suspended solids [1, 2, 4].

2. Methodology of the river pollutant behavior simulation

The simulation of pollutant behaviour in water courses using specialized software requires thorough study of the investigated area in terms of monitoring of hydrodynamic regime and physico-chemical parameters of the water [3, 5].

Simulation of pollutant dispersion in surface water requires prior determining river bed geometry, followed by equation meshing and setting the boundary conditions. For this simulation of the pollutant dispersion, the Surface Water Modeling System (SWMS) software was used, which involves two steps:

1. The first step included modeling the sector dynamics using RMA2 module with topogra-

phy and river bathymetry, as well as dynamic elements, as input data.

2. The second step covered modeling the pollutant concentration field evolution (pollutant dispersion) using RMA4 module with the first step RMA2 module data as input data.

The Navier-Stokes equation system in the Reynolds form for the Cartesian coordinates x and y is used to simulate dynamic water flow elements together with the continuity equation for free-flowing incompressible fluids in conditions of turbulent motion:

– Navier-Stokes equations (Eq.1, 2):

$$h \frac{\partial u}{\partial t} + hu \frac{\partial u}{\partial x} + hv \frac{\partial u}{\partial y} - \frac{h}{\rho} \left(E_{xx} \frac{\partial^2 u}{\partial x^2} + E_{xy} \frac{\partial^2 u}{\partial y^2} \right) + \\ + gh \left(\frac{\partial H}{\partial x} + \frac{\partial h}{\partial x} \right) + \frac{gun^2}{\left(h^{1/6} \right)^2} \times \\ \times (u^2 + v^2)^{1/2} - \zeta V_a^2 \sin \psi + 2h \omega v \sin \varphi = 0, \quad (1)$$

$$\frac{\partial h}{\partial t} + h \left(\frac{\partial u}{\partial x} + E_{xy} \frac{\partial v}{\partial y} \right) + u \frac{\partial h}{\partial x} + v \frac{\partial h}{\partial y} = 0; \quad (2)$$

– the continuity equation (Eq.3):

$$h \frac{\partial v}{\partial t} + hu \frac{\partial v}{\partial x} + hv \frac{\partial v}{\partial y} - \frac{h}{\rho} \left(E_{yx} \frac{\partial^2 v}{\partial x^2} + E_{yy} \frac{\partial^2 v}{\partial y^2} \right) + \\ + gh \left(\frac{\partial H}{\partial y} + \frac{\partial h}{\partial y} \right) + \frac{gv n^2}{\left(h^{1/6} \right)^2} \times \\ \times (u^2 + v^2)^{1/2} - \zeta V_a^2 \sin \omega + 2h \omega v \sin \varphi = 0, \quad (3)$$

where:

h – water depth (m);

u – local velocity in x direction (m/s);

v – local velocity in y direction (m/s);

t – time (s);

ρ – water density (kg/m^3);

g – gravitational acceleration (m/s^2);

E – coefficients of turbulent viscosity ($\text{Pa}\cdot\text{s}$ or $\text{kg}/(\text{m}\cdot\text{s})$), which is calculated automatically us-

ing Peclet number: $Pe = \frac{\rho U dx}{E}$, in which

$U = \sqrt{u^2 + v^2}$ is average resultant speed, and dx – length element in the direction of flow;

H – elevation of the river bed (m);

n – Manning coefficient of roughness;

ζ – empirical coefficient of air friction;

V_a – wind velocity (m/s);

ψ – wind direction (degrees in the inverse direction from the positive axis x);

ω – angular rotation speed of the Earth (rad/s);

φ – location latitude [6].

Fundamental equation of advection-dispersion (Eq. 4) is used for determining evolution of pollutant concentration field:

$$h \left(\frac{\partial c}{\partial t} + u \frac{\partial c}{\partial x} + v \frac{\partial c}{\partial y} - \frac{\partial}{\partial x} D_x \frac{\partial c}{\partial x} - \frac{\partial}{\partial y} D_y \frac{\partial c}{\partial y} - \sigma - kc + \frac{R(c)}{h} \right) = 0,$$

where:

c – pollutant concentration (mg/dm^3);

D_x and D_y – coefficients of turbulent diffusion in x and y direction;

k – permanent degradation (s^{-1});

σ – local pollutant source (concentration measure unit);

h – water depth (m);

(c) – precipitation/evaporation (concentration measure unit, m/s).

The first term in the equation signifies local variation of concentration; the second term is the advective term in x direction; the third term is the advective term in y direction; the fourth is the term of dispersion in x direction; the fifth is the term of dispersion in y direction; the sixth term means the local pollutant source; the seventh term shapes the pollutant exponential; and eighth term reflects the effect of precipitation/evaporation [7].

The SWMS RMA2 module was used under the assumption of hydrostatic pressure; the accelerations in vertical direction are negligible. It is two-dimensional in horizontal plane. It is not intended to be used for near field problems where vortices, vibrations, or vertical accelerations are of primary interest. Vertically stratified flow effects are beyond the capabilities of RMA2 [6].

3. Simulation of pollutants in upper reaches of East Jiul River

The reach covered by the study of pollutant dispersal is represented by the confluence of Taia River with East Jiu River, approximately 1.2 km long with the river bed elevation difference of 7 m (Fig.1).

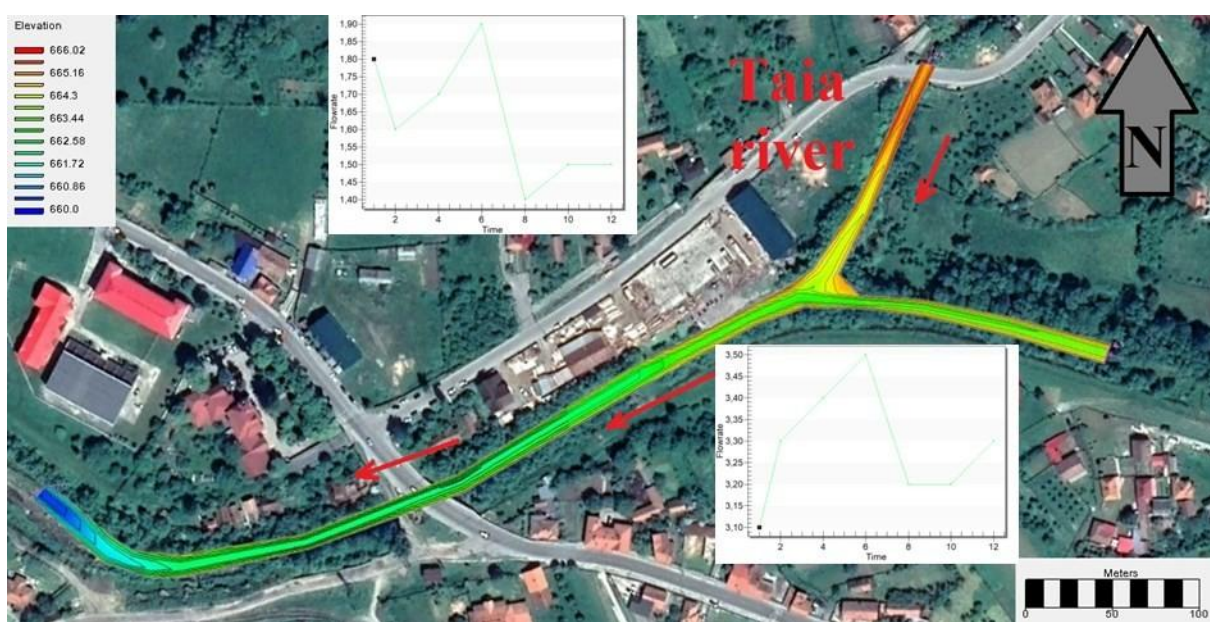


Fig. 1. Elevation of the river bed

Table 1**Domain dynamics elements**

Boundary condition	Time (h)						
	1	2	4	6	8	10	12
Water temperature (°C)	8						
Density (kg/m ³)	999						
Taia river							
Flow rate (m ³ /s)	1.8	1.6	1.7	1.9	1.4	1.5	1.5
East Jiu river							
Flow rate (m ³ /s)	3.1	3.3	3.4	3.5	3.2	3.2	3.3

**Fig. 2. Field of velocity in V_x direction****Fig. 3. Field of velocity in V_y direction****Table 2****Physical and chemical analyzes of water samples in the river reaches**

Indicator \ Sampling point	Raul jiu Amont Taia	Râul taia amonte	Jiet amonte
Temperature, °C	8.1	7.8	5.9
pH	6.7	7.41	7.08
Conductivity, $\mu\text{S}/\text{m}^2$	145.6	138.5	159.4
TDS*, mg/l	83.9	88.9	92.7
Turbidity, NTU	46.5	45.7	9
Sodium, mg/l	15.1	14.5	15.8
Dissolved O ₂ , mg O ₂ /l	11.91	12.23	14.81
BOD ₅ , mg/l	6.34	6.24	3.46
Total phosphorus, mg/l	0.14	0.10	traces
Nitrite NO ₂ ⁻ , mg/l	0.11	0.16	0.01
Nitrate NO ₃ ⁻ , mg/l	3.14	2.34	0.84
Sulphate, mg/l	68.9	62.4	21.5
Phenols, $\mu\text{g}/\text{l}$	0.8	1.12	traces
Arsenic, $\mu\text{g}/\text{l}$	14	17	3
Chromium, $\mu\text{g}/\text{l}$	3	4	traces
Copper, $\mu\text{g}/\text{l}$	5	6	2
Lead, $\mu\text{g}/\text{l}$	traces	traces	5
Mercury, $\mu\text{g}/\text{l}$	traces	traces	traces

The computational domain for the two water courses was divided into 3 sub-domains, the left bank, the right bank, and the main river bed, because the study of pollutant dispersal (based on measuring pollutant concentrations) provides for both longitudinal analysis of the dispersal and the dispersal in the direction transverse to the flow analysis, especially in conditions of me-

andering course. Field observations provided data on the flow dynamics in the modeled sector (Table 1) required to estimate accurate flow velocities in the three sub-domains.

For the simulation, the following conditions were taken into account as the model restrictions: Coriolis force, precipitation and evaporation ratio, wind regime, and Manning coeffi-

cient of roughness calculated based on the bed structure (from 0.010 for boulder bed to 0.030 for vegetation bed).

3.1. Simulation of dynamic elements

Numerical simulation using the RMA2 application was performed over a 12-hour period to determine the velocity fields in x-direction (Fig. 2) and y-direction (Fig. 3).

The analysis of the two velocity fields showed that the maximum velocity of the particles motion is 0.36 m/s in x direction and 0.17 m/s in y direction. To verify the stability of the RMA2 numerical modeling, the Froude number was used.

3.2. Simulation of pollutants dispersal

The modeling of the concentrations in the river reaches involved water samples collected in three sampling points (Table 2) as follows: a blank sample taken upstream of the East Jiu river

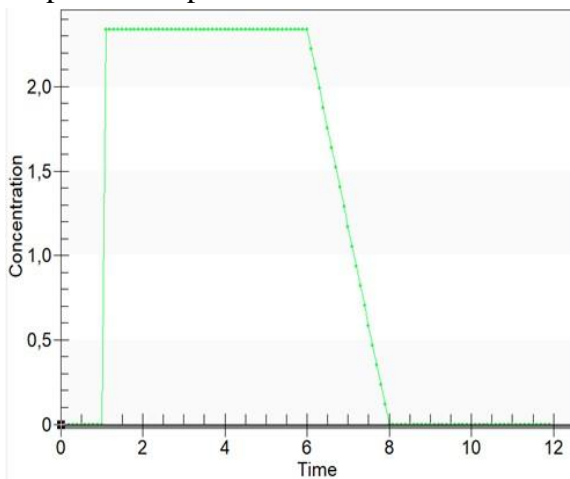


Fig. 4. Nitrate concentration trend

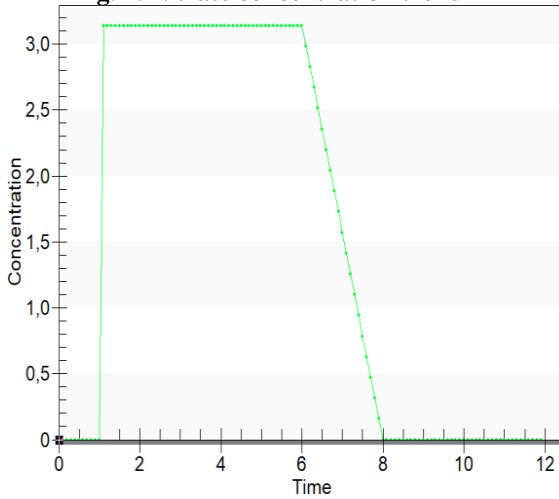


Fig. 6. Nitrate concentration trend

basin to determine the background concentration and two samples taken in the upper boundary of the computation domain (Fig. 1).

The pollutant dispersal modeling was performed for the physico-chemical parameters classified in the lower quality classes according to the Norm 161 of February 16, 2006. Thus, sulfate and nitrate were concentrations studied, for which constant background concentration of 21.5 mg/l and 0.84 mg/l, respectively, was established for the 12-hour simulation period.

For the reach of Taia River the following behaviour was determined: in one hour after the reach simulation start, maximum nitrate and sulfate pollution concentrations are achieved (Fig. 4) and (Fig. 5), respectively, and then they drops and since the 7th hour for the rest of the 12-hour period returns to the background concentrations.

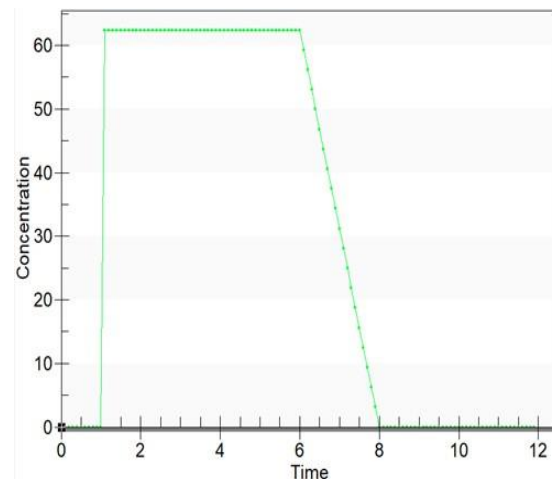


Fig. 5. Sulphate concentration trend

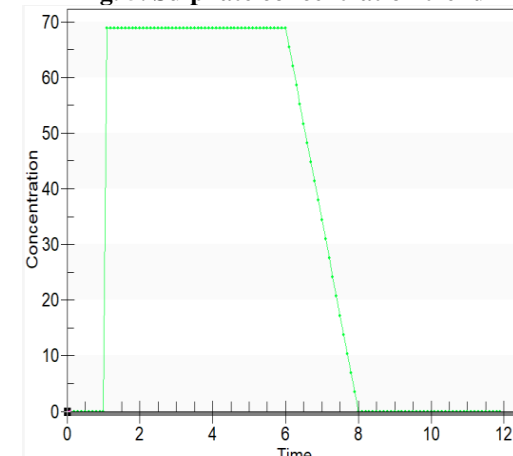


Fig. 7. Sulphate concentration trend

**Fig.8: Concentration of nitrate in 2 hours****Fig.9: Concentration of nitrate in 3 hours****Fig. 10: Concentration of nitrate in 8 hours****Fig.11: Concentration of sulphate in 2 hours****Fig.12: Concentration of sulphate in 3 hours**

The dispersal maps for the nitrate and sulphate indicators have been prepared for the moments of 2, 3 and 8 hours after starting the simulation (Fig. 8 to Fig. 13) to demonstrate the evolution of the pollutant in the aquatic environment both at the modeled field entry and exit.

Calibration of the mathematical model was performed based on the concentrations obtained by direct laboratory measurements (Table 2) and the values obtained from the computerized simulation with variation of the Peclet number within the acceptable limits (15–40).

Similar behavior was determined for the East Jiu River reach: in one hour after the reach simulation start, maximum nitrate and sulfate pollution concentrations are achieved (Fig. 6) and (Fig. 7), respectively, and then they drops and since the 7th hour for the rest of the 12-hour period returns to the background concentrations.

4. Discussion

The studied river reach is located in an anthropized area, which can be influenced by

Fig.13: Concentration of sulphate in 8 hours

local mining (Lonea mine), agriculture, animal husbandry, woodworking, road traffic. Pollutants generated by these economic activities achieve the natural surface water bodies through different mechanisms and ways and once they reach the water bodies they produce significant impact on the aquatic and terrestrial ecosystems. In the impacted water reaches the pollutants concentrations in water depend mainly on: water flow rate, the material composing the riverbed, the terrain and regional climate.

The computerized simulations show that the nitrate concentration is reduced by half in the East Jiu River.

In the studied area, increasing the concentration of pollutants on the watercourse banks is determined, which increases the risk of degradation of the riparian ecosystems. The pollutants ingested by living organisms are transferred along the food chain, producing unfavorable impacts on the ecosystems.

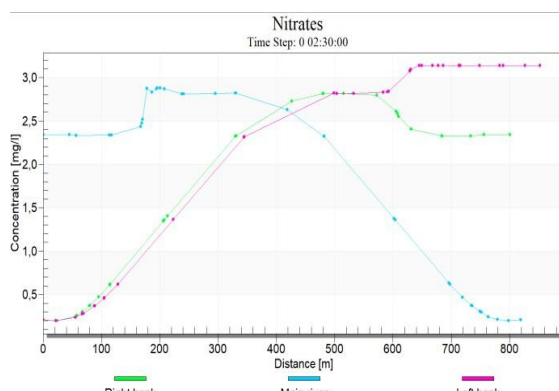


Fig. 14: Dispersal of nitrate concentration in 2 hours

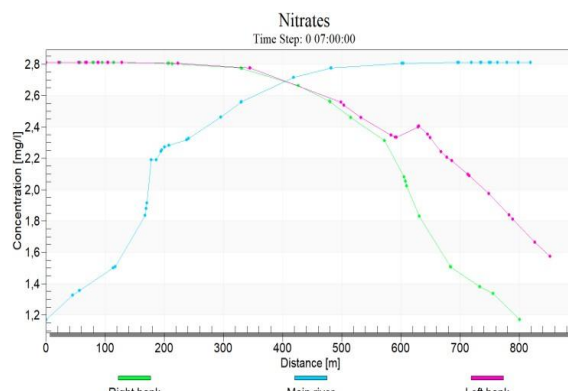


Fig. 15: Dispersal of nitrate concentration in 7 hours

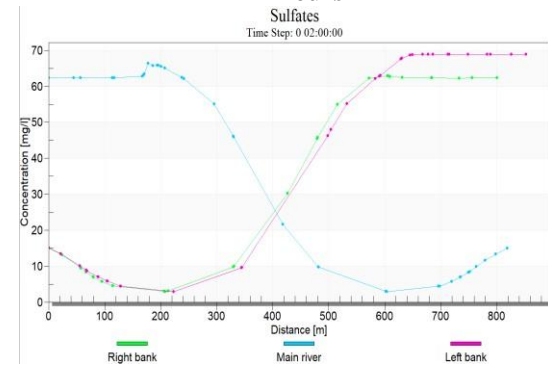


Fig. 16: Dispersal of sulfate concentration in 2 hours

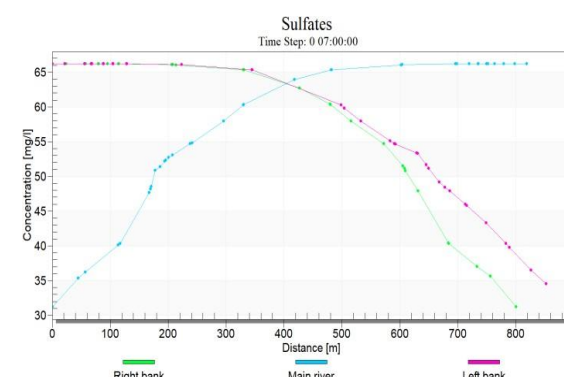


Fig. 17: Dispersal of sulfate concentration in 7 hours

5. Conclusions

From view point of environmental pollution estimation, the use of Computational Fluid Dynamics modeling tools to determine the pollution dispersal and impact on water bodies is quite effective as it is a tool allowing to view data across the studied field based on minimal number of rather expensive water assays and, thus, save money and time.

Advection processes predominate in the East Jiu river basin, and, in the main course of the river, dispersal processes prevail, mainly due

to the riverbed material, and watercourse and local turbulence. In terms of pollutant dispersal, there is a close link between the water flow rate and the amount of pollutant getting into the aquatic environment. Dilution of pollutants in the aquatic environment may take place in terms of decreasing pollutant concentrations, but additional amounts of pollutants contributed by various tributaries from the southern and eastern parts of the area lead to increasing pollution downstream in the river basin.

References

1. Lazar M., Dumitrescu I., *Anthropic impact on the environment*, Universitas Publishing House, Romania, 2006.
2. Lazar M., *The rehabilitation of the degraded lands*, Universitas Publishing House, Romania, 2010.
3. Mitroiu C., Marin., *Ingineria Râurilor – Regularizarea albiilor râurilor și îndiguiri*, Bren Publishing House, Romania, 1999.
4. Rotunjanu I., Lazăr M. *Hydrology and mining hydrogeology minieră*. Universitas Publishing House, Petroșani, Romania, 2014.
5. Stephen B. P. *Turbulent Flows*, Cambridge university press.
6. Surface Water Modeling System – RMA2. US Army Engineer Research and Development Center, AquaVeo, USA, 2011.
7. Surface Water Modeling System – RMA4. US Army Engineer Research and Development Center, AquaVeo, USA, 2011.

ORIGINAL PAPERS

DOI: 10.17073/2500-0632-2019-3-188-201

Диагностирование теплового состояния электромеханического оборудования

Борисенко В. Ф.¹, Землянский А. И.¹, Сидоров В. А.¹, Сидорова Е. В.²

¹Донецкий национальный технический университет, г. Донецк, andrewiz@yandex.ua

²Южно-Российский государственный политехнический университет (НПИ) имени М.И. Платова, г. Новочеркасск, Россия

Аннотация: В работе рассмотрены вопросы контроля теплового состояния объектов промышленной группы производственных механизмов на основе обобщенного подхода к пониманию причин и целей диагностирования электромеханических систем (ЭМС) по текущим значениям температуры. Обобщенная математическая модель ЭМС (однородного тела или многомассовой расчетной тепловой схемы замещения) для различных режимов работы объекта позволяет обозначить диагностические признаки (критерии) для принятия конкретных мер по стабилизации его работы. Повышение эффективности контроля теплового состояния объектов можно достичь при использовании приборов бесконтактного измерения распределения температур по всей поверхности объекта. По виду распределения температур по поверхности объектов ЭМС можно сделать вывод о необходимости проведения ремонтных работ. Для эффективного использования бесконтактной тепловизионной техники для диагностики ЭМС на основе изложенных в статье положений разработана программа подготовки специалистов по термометрированию промышленных объектов.

Ключевые слова: тепловой контроль, электромеханическая система, тепловая расчетная масса, распределение температур, диагностический признак.

Для цитирования: Борисенко В. Ф., Землянский А. И., Сидоров В. А., Сидорова Е. В. Диагностирование теплового состояния электромеханического оборудования. *Горные науки и технологии*. 2019;4(3):188-201. DOI: 10.17073/2500-0632-2019-3-188-201.

Diagnostics of Thermal Condition of Electromechanical Machinery

V. F. Borisenko¹, A. I. Zemlyansky¹, V. A. Sidorov¹, E. V. Sidorova²

¹Donetsk National Technical University, Donetsk, andrewiz@yandex.ua

²Platov South-Russian State Polytechnic University (NPI), Novocherkassk, Russia

Abstract: The paper is devoted to studying issues of machinery thermal state monitoring using generalized approach to objectives of electromechanical system (EMS) diagnostics based on current temperature values. Generalized mathematical model of EMS (a homogeneous body or a multi-weight estimated heat balance diagram) for various operation conditions of a facility allows to identify diagnostic indicators (criteria) for taking specific measures to stabilize its operation. Increasing efficiency of the facility thermal state monitoring can be achieved using non-contact measuring instruments to determine temperature distribution over the facility surface. Temperature distribution over an EMS facility surface enables concluding on maintenance necessity. For effective application of non-contact thermal-imaging equipment for diagnostics of EMS on the basis of the provisions presented in the paper, training program for specialists in thermometry of industrial facilities has been developed.

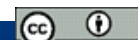
Keywords: thermal monitoring, electromechanical system, thermal estimated weight, temperature distribution, diagnostic indicator.

For citation: Borisenko V. F., Zemlyansky A. I., Sidorov V. A., Sidorova E. V. Diagnostics of thermal condition of electromechanical machinery. *Mining Science and Technology*. 2019;4(3):188-201 (In Russ.). DOI: 10.17073/2500-0632-2019-3-188-201.

Введение

Вопросы диагностирования технического состояния электромеханических систем

(ЭМС) в настоящее время стоят довольно остро, что объясняется физическим и моральным износом действующего промыш-



ленного оборудования, срок реновации которого давно истек. Стремление продлить его работу ставит перед обслуживающим персоналом и научными кадрами задачу текущего контроля объекта и его узлов на основе последних достижений науки и техники.

В промышленности используется большое число производственных механизмов, приводимых в движение различными типами двигателей. Это могут быть ветро-, пневмо-, гидро-, электродвигатели. Каждый тип привода обладает своими особенностями, спецификой применения и условиями эксплуатации. В процессе осуществления рабочей операции происходит нагрев отдельных элементов (звеньев) системы, причем некоторые звенья нагреваются до таких температур, которые недопустимы по условиям технологического процесса и нормального (нормативного) функционирования механизма. Нагрев элементов блоков системы возможен за счет трения, теплоизлучения, конвекции, протекания недопустимых токов по обмоткам электродвигателей в случае плохих (слабых) контактов в цепях коммутационной аппаратуры, при недостаточном охлаждении трансформаторов и др.

С другой стороны, механическая часть системы испытывает нагрузки на кручение (валы, оси), на растяжение-сжатие (канаты, штоки); шестерни испытывают контактную нагрузку, которая может существенно отличаться от расчетной (номинальной) при пуско-тормозных режимах и частых реверсированиях. При всех возможных режимах работы ЭМС механическая прочность не должна падать ниже так называемой точки бифуркации, когда нарушается закон Гука и происходят структурные изменения в металле. В общем случае контроль технического состояния системы должен базироваться на показателях работы электрической и механической частей системы одновременно.

Визуальный осмотр объекта, контроль текущих величин энергопотребления не дают убедительных ответов на текущее безаварий-

ное состояние объекта. Имеют место многочисленные попытки контролировать тепловое состояние наиболее ответственных звеньев электромеханической системы (подшипников, статоров, якорей двигателей). В случае превышения необходима разгрузка механизма или отключение системы.

Контроль температуры отдельных элементов в этом случае позволяет оценить не только степень нагрева, но и техническое состояние объекта, используя логические зависимости при диагностике. Повышение температуры сопровождает появление и развитие ряда неисправностей. Органолептическое восприятие температуры позволяет сделать вывод на уровне «холодно», «тепло», «горячо». Контактное измерение температуры при локализации точки контроля не позволяет судить о состоянии объекта в целом. Бесконтактное измерение с использованием инфракрасной тепловизионной аппаратуры позволяет перейти к анализу тепловой картины объекта, выделив информативные узлы наиболее наглядным образом – путем визуализации тепловой картины. Интерес к решению данных вопросов подтверждается увеличением количества работ, посвященных этой теме, опубликованных в последние годы [1...9]. Анализ данной картины включает много аспектов, рассмотрению некоторых из них относительно оптимизации процесса диагностирования и подготовки специалистов посвящена данная статья.

Контроль теплового состояния элементов электрической части системы. Любая электромеханическая система содержит одни и те же элементы: источник питания, управляемый преобразователь, приводной электродвигатель, промежуточное механическое звено (редуктор), исполнительный орган или механизм [10...12]. Энергия к предприятию подводится на высоком напряжении линий электропередачи (ЛЭП) и на главной понизительной подстанции трансформируется в напряжения 35 и 10 кВ. Далее по кабельным линиям она поступает на цехо-

вые подстанции, где происходит дальнейшая трансформация напряжения под нужды конкретных потребителей. В качестве основных потребителей в цехах выступают приводные двигатели (синхронные, асинхронные) на напряжения 10, 6, 3, 0,4 кВ; преобразовательные агрегаты – тиристорные регуляторы напряжения (на постоянном и переменном токе), тиристорные преобразователи частоты (с непосредственной связью или со звеном постоянного тока). Преобразователи питают двигатели постоянного или переменного тока в системах ТП-Д, ТРН-АД, ТПЧ-АД, ТПЧ-СД. Системы электропривода могут работать в одном из восьми режимов $S_1 \dots S_8$, основными из которых считаются длительный (S_1), кратковременный (S_2), повторно-кратковременный (S_3). Каждому режиму присущи свои особенности работы по условиям нагрева [13, 14, 16...19]. У двигателей наиболее слабым звеном считается его изоляция. Оценить тепловое состояние двигателя возможно, используя один из рассмотренных далее подходов. Наиболее простой случай – представление двигателя однородным телом [10, 11] и решение уравнения

$$\tau = \tau_{\text{уст}} \left(1 - e^{-t/T_{\text{n}}}\right), \quad (1)$$

где $\tau_{\text{уст}}$ – установившаяся температура перегрева; T_{n} – постоянная времени нагрева.

В настоящее время в большинстве случаев используется изоляция классов *F* и *H*. Уравнение (1) представляет экспоненциальную зависимость, температура перегрева, близкая к установившейся, будет достигнута через время $t = 3T_{\text{n}}$, $\tau = 0,95\tau_{\text{уст}}$. В зависимости от класса изоляции можем судить о тепловом состоянии двигателя:

$$\tau_{\text{тек}} < \tau_{\text{доп.изл}},$$

где $\tau_{\text{тек}}$ – текущее значение температуры нагрева; $\tau_{\text{доп.изл}}$ – допустимая температура нагрева для данного класса изоляции.

Реально двигатель не является однородным телом, а состоит из множества элементов. Поэтому желание наиболее точно оценить тепловое состояние двигателя приводит

к представлению последнего многомассовой расчетной схемой. Число расчетных масс тепловой схемы замещения (ТСЗ) двигателя в зависимости от конкретной задачи может приниматься от 2 до 15...17 [12, 13, 15, 20]. Для практических расчетов ТСЗ не превышает 5...7, результаты расчетов дают возможность оценить тепловое состояние каждой из расчетных масс и выявить более нагретую.

Тепловое состояние n -го тела может быть описано следующим уравнением:

$$C_n \frac{d\theta_n}{dt} = \sum_{i=1}^{q(i \neq n)} \Lambda_{in} (\theta_i - \theta_n) + P_n, \quad (2)$$

где C_n – теплоемкость n -го тела; θ_n – температура n -го тела; θ_i – температура одного из соседних тел i ; q – количество тел, связанных в тепловом отношении с рассматриваемым телом n ; Λ_{in} – теплоотдача от одного из соседних тел i к данному телу n ; P_n – потери мощности в данном теле n ; t – текущее время.

Для схемы из n тел уравнения теплового баланса будут иметь следующий вид [10, 13]:

$$\begin{cases} C_1 \frac{d\theta_1}{dt} = \left(- \sum_{i=2}^m \Lambda_{i1}\right) \theta_1 + \sum_{i=2}^m \Lambda_{i1} \theta_i + P_1, \\ C_2 \frac{d\theta_2}{dt} = \left(- \sum_{i=1}^{k(i \neq 2)} \Lambda_{i2}\right) \theta_2 + \sum_{i=1}^{k(i \neq 2)} \Lambda_{i2} \theta_i + P_2, \\ \dots \\ C_n \frac{d\theta_n}{dt} = \left(- \sum_{i=2}^{q(i \neq n)} \Lambda_{in}\right) \theta_n + \sum_{i=2}^{q(i \neq n)} \Lambda_{in} \theta_i + P_n, \end{cases} \quad (3)$$

где m – количество тел, связанных в тепловом отношении с первым телом; k – количество тел, связанных в тепловом отношении со вторым телом.

Решение системы приводит к определению средней температуры n -го тела в момент времени t .

Уравнения теплового баланса целесообразно привести к виду

$$\begin{cases} C_{M1} \frac{d\theta_{M1}}{dt} = P_{M1}(t), \\ C_{M2} \frac{d\theta_{M2}}{dt} = P_{M2}(t), \end{cases} \quad (4)$$

где C_{M1}, C_{M2} – полные теплоемкости обмоток статора и ротора; θ_{M1}, θ_{M2} – текущие значения

температур обмоток; $P_{M1}(t)$, $P_{M2}(t)$ – текущие значения электрических потерь в обмотках статора и ротора.

При исследовании динамики, например, асинхронного электропривода его поведение описывается системой дифференциальных уравнений в осях x , y [10...12]:

$$\begin{cases} \frac{d\psi_{sx}}{dt} = U_{sx} - \frac{1}{T_{s1}}\psi_{sx} + \frac{k_r}{T_{s1}}\psi_{rx} - \omega_s\psi_{sy}, \\ \frac{d\psi_{sy}}{dt} = -\frac{1}{T_{s1}}\psi_{sy} + \frac{k_r}{T_{s1}}\psi_{ry} - \omega_s\psi_{sx}, \\ \frac{d\psi_{rx}}{dt} = -\frac{1}{T_{r1}}\psi_{rx} + \frac{k_s}{T_{r1}}\psi_{sx} + (\omega_s - Z_p\omega)\psi_{ry}, \\ \frac{d\psi_{ry}}{dt} = -\frac{1}{T_{r1}}\psi_{ry} + \frac{k_s}{T_{r1}}\psi_{sy} - (\omega_s - Z_p\omega)\psi_{rx}, \end{cases} \quad (5)$$

а выражение для электрических потерь имеет вид

$$\begin{cases} P_{M1}(t) = 3I_s^2 R_s, \\ P_{M2}(t) = 3I_r^2 R_r, \end{cases} \quad (6)$$

где $P_{M1}(t)$, $P_{M2}(t)$ – текущие значения электрических потерь в обмотках статора и ротора; I_s , I_r – действующие значения токов статора и ротора; R_s , R_r – активные сопротивления обмоток статора и ротора.

Мгновенные значения токов в обмотках электрической машины находим из системы уравнений, имеющей вид

$$\begin{cases} i_{sx} = \frac{1}{\sigma L_s}(\Psi_{sx} - k_r \Psi_{rx}), \\ i_{sy} = \frac{1}{\sigma L_s}(\Psi_{sy} - k_r \Psi_{ry}), \\ i_{rx} = \frac{1}{\sigma L_r}(\Psi_{rx} - k_s \Psi_{sx}), \\ i_{ry} = \frac{1}{\sigma L_r}(\Psi_{ry} - k_s \Psi_{sy}) \end{cases} \quad (7)$$

Действующие значения токов для подстановки в (6) получаем из (8):

$$\begin{cases} i_s = \frac{1}{\sqrt{2}} \sqrt{i_{sx}^2 + i_{sy}^2}, \\ i_r = \frac{1}{\sqrt{2}} \sqrt{i_{rx}^2 + i_{ry}^2}. \end{cases} \quad (8)$$

Зная текущие потери в статоре и роторе, можно перейти к определению температур обмоток θ_{M1} и θ_{M2} с помощью (4).

При исследовании пускового режима температуры обмоток θ_{M1} и θ_{M2} находятся при совместном решении (4) и (6). В дальнейшем они используются как начальные условия при исследовании теплового состояния двигателя при конкретном характере нагружения.

Примеры определения температур обмотки статора в лобовой и пазовой частях по изложенной методике приведены на рис. 1 [10]. На первом этапе работы двигателя виден интенсивный нагрев его элементов под действием пусковых токов $\approx 5,5 I_H$, далее процесс нарастания температур существенно замедляется, так как имеет место работа двигателя с постоянной нагрузкой и расчетными условиями охлаждения.

На рис. 2 приведены экспериментальные подтверждения теоретических постулатов для режима повторного включения двигателя конвейера и контроля лобовой части двигателя (рис. 2, *a*), увеличение скорости нагрева подшипника двигателя при нарушении режима смазки (рис. 2, *б*). Сложность практического использования любой теоретической модели заключается в отсутствии точного значения коэффициентов и расчетных значений. В этом случае используется методика взаимного или динамического сравнения контролируемых параметров.

При работе двигателя в режиме ПКР с частыми пусками интенсивность нагрева элементов машины возрастает в первые несколько десятков циклов, а далее имеет место переход в квазиустановившийся режим работы (по условиям нагрева). Получение в этом случае $\theta_{\text{паз}} > \theta_{\text{доп}}$ (для конкретного класса изоляции) будет диагностическим критерием для снижения нагрузки на двигатель или перехода на систему, ограничивающую пусковые токи, например ТРН-АД или ТПЧ-АД, ПЧ-АД. При использовании системы ПЧ-АД удается уйти от перегрева двигателя при частых пусках (рис. 3).

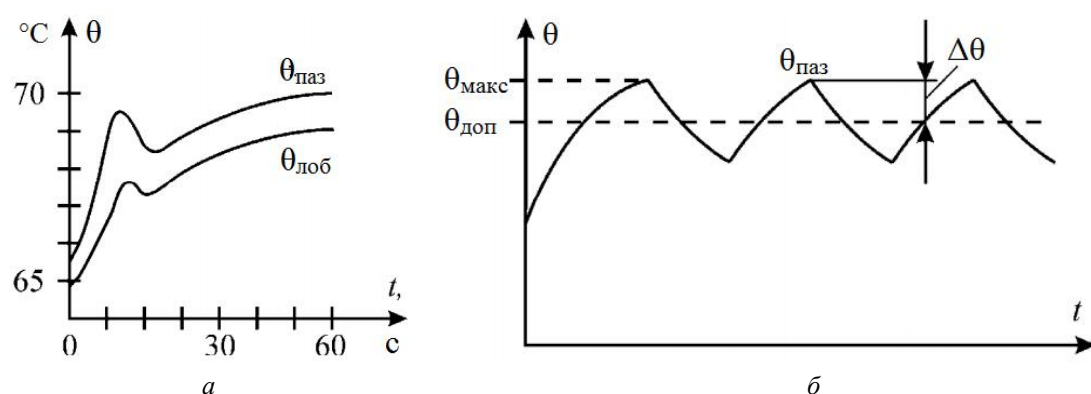


Рис. 1. Кривые нагрева $\theta(t)$ электродвигателя:
a – длительный режим; *б* – повторно-кратковременный режим (ПКР)

Fig. 1. Heating curves $\theta(t)$ of electric motor:
a – continuous service; *b* – intermittent service (IS)

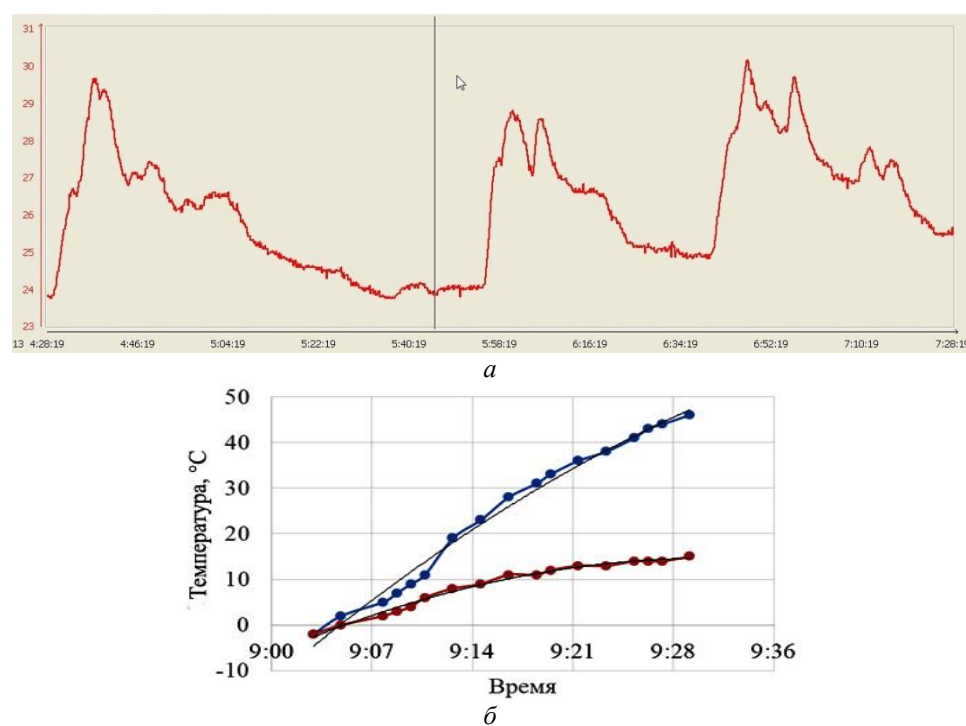


Рис. 2. Экспериментальные кривые нагрева узлов электродвигателей конвейера:
a – нагрев лобовой части двигателя конвейера при периодическом включении; *б* – рост скорости нагрева подшипника двигателя при нарушении режима смазки

Fig. 2. Experimental heating curves for conveyor electric motor units:
a – heating of frontal part of conveyor motor at intermittent operation; *b* – increasing heating rate of motor bearing at lubrication rate violation

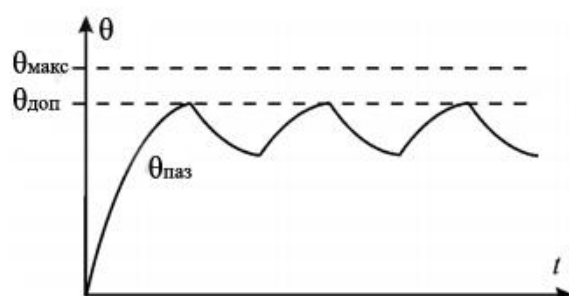


Рис. 3. Кривые $\theta(t)$ при работе системы ПЧ-АД

Fig. 3. Heating curves $\theta(t)$ for option with Frequency Converter - Induction Motor system operation

Подобные расчеты $\theta(t)$ для двигателя могут быть выполнены на этапе проектирования или для изменившихся условий эксплуатации электромеханической системы. С другой стороны, диагностическая модель системы может вести расчет текущего теплового состояния двигателя и адекватно реагировать в случае $\theta_{\text{паз тек}} > \theta_{\text{доп}}$.

Необходимым условием при контроле теплового состояния является учет параметров механической части привода. Суммарный момент инерции системы J_Σ для большинства производственных механизмов может рассматриваться в качестве постоянной величины. В тех случаях, когда момент инерции J_Σ является функцией угла поворота и его производных, величина его переменной составляющей обычно не превышает 10...20 % J_0 :

$$J_\Sigma = J_0 + J_K(\varphi, \dot{\varphi}) \quad (9)$$

В тепловой модели расчета потери энергии учитываются коэффициентом трения μ , значение которого меняется ступенчато при изменении режима смазывания, что и составляет основную неопределенность данного расчета. Так, при реализации жидкостного режима трения, соответствующего полному разделению движущихся поверхностей и исправному состоянию при длительном режиме

работы, $\mu = 0,003$. При граничном трении в момент запуска $\mu = 0,01$, а при сухом трении в момент возникновения повреждений значения становятся равными $\mu = 0,1$ вначале локально, а затем по всей площади соприкосновения элементов трения.

Существенное влияние на работу электромеханической системы оказывает источник питания. В общем случае это преобразователь (статический или электромеханический со своими особенностями работы), т.е. в общем случае должна рассматриваться система «управляемый преобразователь – двигатель» (на постоянном или переменном токе).

Полученные температуры расчетных масс модели (рис. 4) [10] могут служить диагностическим признаком (критерием) для оценки режима работы двигателя и принятия конкретных мер по стабилизации его работы. Необходимо заметить, что данная методика довольно сложна и требует затрат времени на определение удельных теплоемкостей, коэффициентов теплопередачи, составление и набор модели, ее наладку, привлечение специалистов с высоким уровнем подготовки в области ЭМС и нагрева.

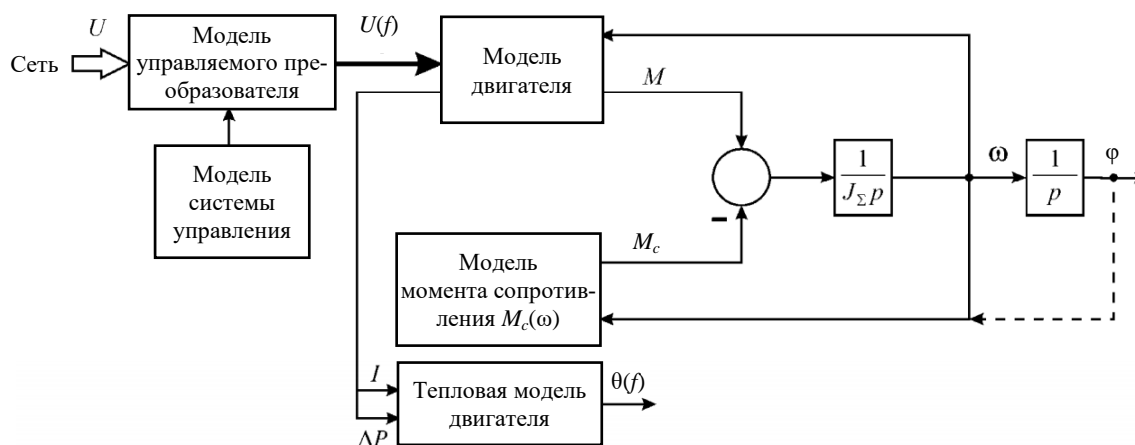


Рис. 4. Модель системы при упрощенном учете механической части ЭМС

Fig. 4. System model with simplified accounting of EMS mechanical part

Практика контроля теплового состояния электромеханического оборудования. Существенно упрощается задача контроля теплового состояния объектов, если перейти к использованию специальных «тепловых» приборов – пиromетров и тепловизоров. Действие этих приборов основано на фотоэлектрической регистрации интенсивности теплового излучения нагретых тел, пропорциональной их температуре. Тепловизор позволяет всесторонне оценить тепловое состояние двигателя и на его основе сделать вывод о возможности продолжения работы или необходимости проведения ремонтной операции.

Термограммы, приведенные на рис. 5, позволяют судить о тепловом состоянии двигателей и возможности дальнейшего функционирования машин. Термограмма (рис. 5, а) позволяет получить общее заключение о

тепловом состоянии двигателя, выделить зоны расположения полюсов обмоток статора и сделать вывод об удовлетворительном состоянии по значению максимальной температуры – 54,2 °С. Термограмма, приведенная на рис. 5, б, позволяет установить факт наличия неравномерного охлаждения статора электродвигателя, выделить зоны локального перегрева (рис. 5, в), контроль развития тенденций которых позволит предупредить наступление предельного состояния. Информация на термограмме рис. 5, г была использована практически мгновенно – перегрев одной из фаз до 58,1 °С (более чем на 20 °С превышающий температуру расположенных рядом однотипных элементов) мог привести к внеплановой остановке двигателя, повторный контроль показал равенство температур по фазам.

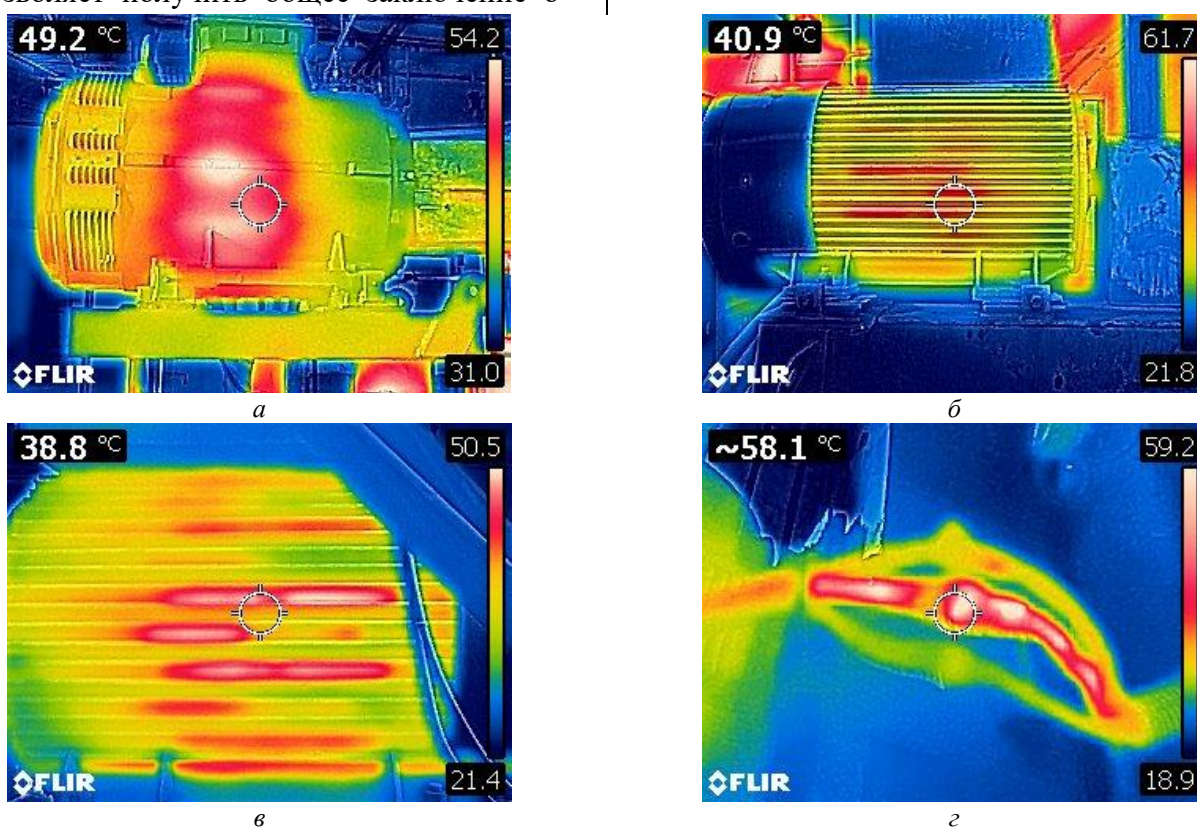


Рис. 5. Термовое изображение электрической машины:
а – двигатель компрессора; б – двигатель – охлаждение статора; в – местные перегревы статора; г – нагрев одной фазы питания двигателя – недопустимое состояние

Fig. 5. Thermal image of electric machine:

а – compressor motor; б – motor – stator cooling; в – local overheating of stator; г – heating of one phase of motor power – unacceptable condition



Рис. 6. Насос горячей воды – запорная арматура без теплоизоляции

Fig. 6. Hot water pump – shut-off valving without thermal insulation



Рис. 7. Повышенный нагрев фазы В высоковольтного ввода (6 кВ) до 39 °С

Fig. 7. Increased heating of high voltage input (6 kV) phase B up to 39 °C

Оценка теплового состояния электрооборудования в зависимости от конструкции и условий эксплуатации осуществляется:

- по нормированным температурам нагрева (превышениям температуры);
- равномерности поверхностного теплового поля объекта;
- динамике изменения температуры во времени или с изменением нагрузки;
- путем сравнения измеренных значений температуры исправных и неисправных узлов.

Следует отметить, что не существует методов оценки степени неисправности дефектов на перегреваемых поверхностях оборудования. Перегревы могут быть вызваны скрытыми дефектами или тепловым излучением сторонних объектов. На рис. 6 приведено тепловое изображение насоса горячей воды, позволяющее оценить степень передачи тепла от насоса к лобовому подшипнику двигателя. Рис. 7 демонстрирует перегрев одной

из фаз силовой подстанции 6 кВ, устранивший при проведении текущего ремонта без последствий в виде внезапной остановки оборудования.

Полное термографическое обследование проводится при подготовке к проведению капитального ремонта. Снимаются термограммы поверхностей в местах контактов деталей, по поверхности объекта, фундаменту механизма. При обработке термограмм сравниваются между собой нагревы элементов, однотипных узлов и деталей, динамика изменения нагревов во времени и в зависимости от нагрузки, определяются локальные нагревы, места их расположения, сопоставляются места нагрева с расположением элементов механической и электрической части привода, определяется эффективность работы систем охлаждения. Анализ тепловых изображений диагностируемого оборудования должен учитывать наличие дефектов поверхности объектов, загрязнений и смазки.

Наиболее важным параметром для оценки теплового состояния объекта является его излучательная способность (количество излучения, испускаемого объектом по сравнению с излучением от абсолютно черного тела). Обычно излучательная способность поверхности объекта находится в диапазоне приблизительно 0,10...0,95. У полированной (зеркальной) поверхности излучательная способность ниже 0,1, в то время как у окисленной или окрашенной поверхности – 0,85...0,95. Например, краска на масляной основе, независимо от цвета в видимом спектре, имеет излучательную способность более 0,9 в инфракрасном диапазоне [1, 2, 21, 22].

Такие внешние факторы, как температура и влажность окружающего воздуха, при проведении термографирования можно не учитывать, поскольку суммарная ошибка из-

мерения температуры в этом случае не превышает 0,2 °C.

На рис. 8, 9 приведены термограммы базового оборудования сортового прокатного стана «390» – это нагревательная печь (ее механизмы), комплекс механизмов прокатной клети (валки, шпинNELи, редукторы, соединительные муфты, подшипники). Общеизвестно, что внимание в первую очередь необходимо обратить на входные и выходные подшипники, а также на подшипники прокатных валков (на стане используются два вида валков – вертикальные и горизонтальные) как наиболее нагруженные элементы. В некоторых случаях необходимо обращать внимание на тепловые отражения нагретого до температуры 1 000 °C прокатываемого слитка. Задача различия нагрева от теплового излучения и внутреннего нагрева элементов становится в данном случае весьма актуальной.

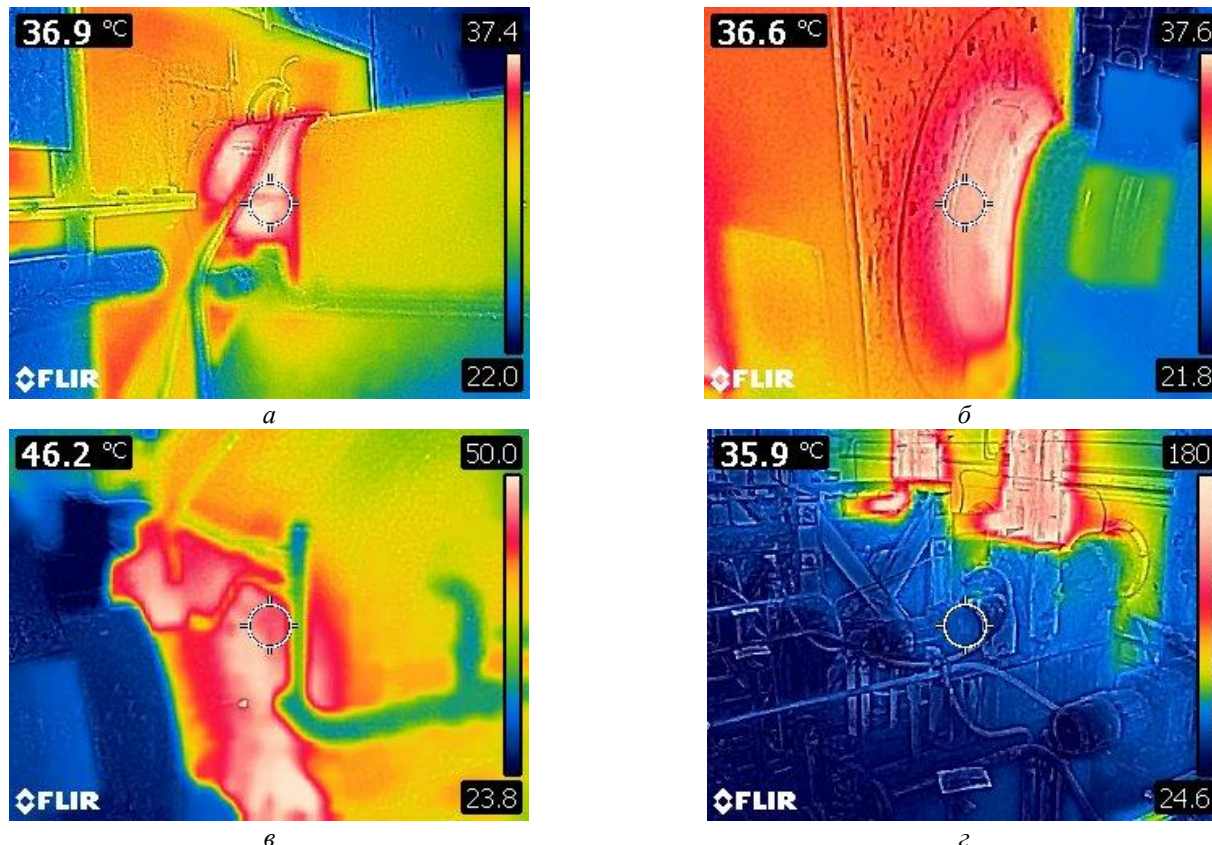


Рис. 8. Термограммы механических звеньев:

a – подшипниковая опора вентилятора, допустимый нагрев 37 °C; *b* – лобовой подшипник и соединительная муфта; *c* – редуктор и трубопроводы смазки; *d* – металлоконструкции печи

Fig. 8. Thermograms of mechanical components:

a – fan bearing assembly, permissible heating of 37 °C; *b* – frontal bearing and sleeve coupling; *c* – gearbox and lubrication pipes; *d* – furnace steel structures

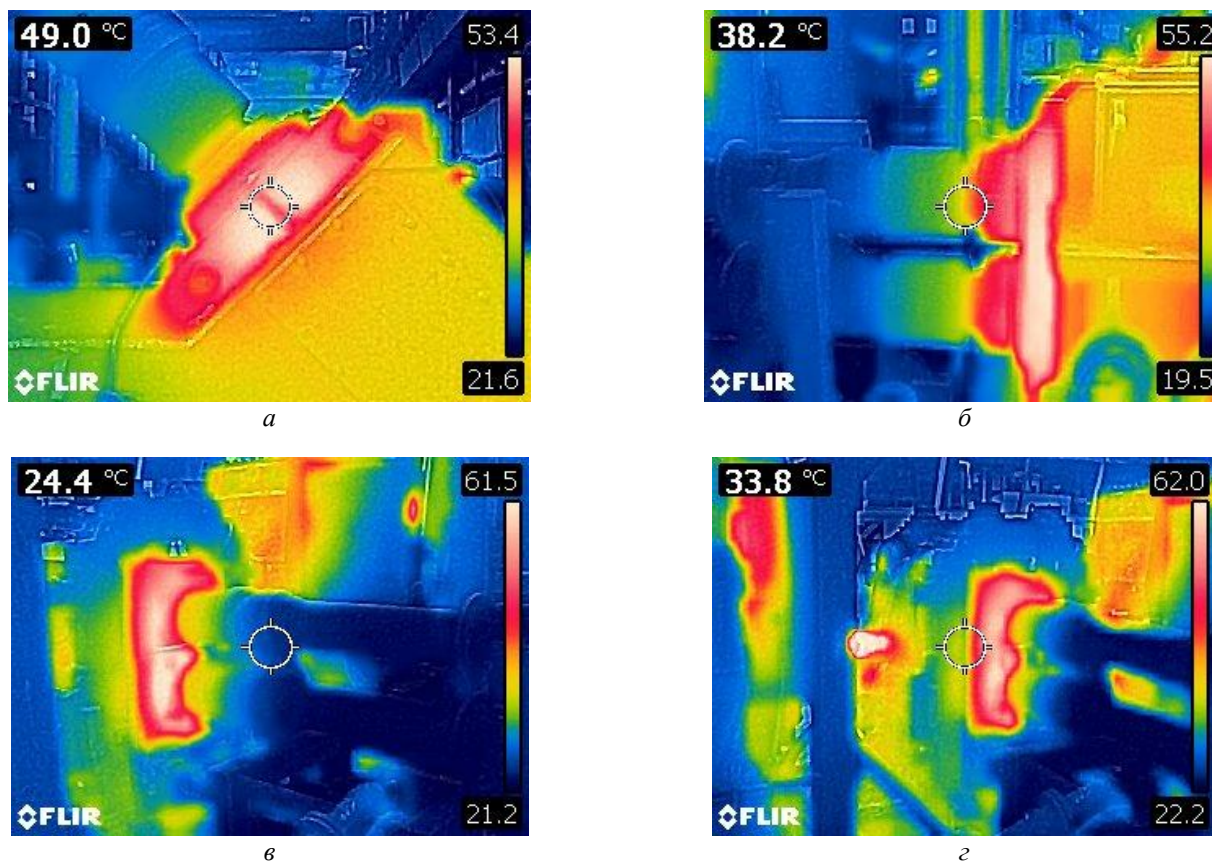


Рис. 9. Термограммы выходных валов редукторов привода прокатных валков:

a – подшипник выходного наклонного вала; б – подшипники выходного горизонтального вала, нагрев до 55 °С;
в, г – подшипники прокатной клети

Fig. 9. Thermograms of output shafts of mill roll gearheads:

a – bearing of the output inclined shaft; b – bearings of output lay shaft, heating up to 55 °C;
c, d – rolling mill stand bearings

Значительный нагрев подшипниковых опор электродвигателей и редукторов может быть вызван несоответствием типа или уровня смазки, дисбалансом ротора, слишком плотной посадкой подшипника, вибрациями, неровностью поверхности опоры.

Среди диагностических параметров выделяются температура в локальных точках, интенсивность нарастания температуры при запуске, разность температур масла или жидкости на выходе и входе; наличие цветов каления и побежалости. Эффективным является сочетание субъективных и приборных методов.

Пирометры и тепловизоры представлены широким спектром моделей с разным техническим уровнем и с разными возможностями. При выборе подходящей модели прибора необходимо определиться, какие именно

задачи диагностики придется решать с его помощью. Выбор подходящей модели пирометра и/или тепловизора определяется следующими условиями: из каких материалов изготовлены диагностируемые объекты; возможный диапазон температур и размеры диагностируемых областей; расстояния, с которых будут проводится измерения; температура окружающей среды; прозрачность пространства между прибором и объектом; требуемая точность измерений; скорость изменения положения или состояния диагностируемого объекта; необходимость интеграции прибора в компьютерную систему диагностики.

Формирование профессиональных компетенций в области термометрирования промышленных объектов. Для достоверного определения температуры поверхно-

стей элементов электромеханических систем необходимо хорошо понимать процесс формирования показаний температуры бесконтактными приборами термометрии и обязательно учитывать коэффициент теплового излучения материалов.

Подготовка специалиста базируется на знаниях основ тепловидения, обработки и интерпретации оперативных замеров температур тепловых полей диагностируемых объектов [23–26]. Типовая программа подготовки специалиста по термометрированию разработана с учетом существующих нормативных документов [21–34] и предлагает к изучению следующие вопросы:

- аксиомы работоспособности и диагностические параметры – факторы, определяющие работоспособное состояние и виды ремонтных воздействий;

- физические основы термометрии – требования к средствам измерения; основы инфракрасной термографии; активный и пассивны тепловой контроль; диагностические параметры при измерении температуры; дополнительное оснащение тепловизора; критерии выбора тепловизора для проведения различных работ в области теплового контроля; пиromетры, тепловизоры – общее устройство;

- основные функциональные возможности тепловизоров – параметры тепловых изображений; выбор рабочей палитры тепловизора; температурный диапазон и поддиапазоны тепловизора; определение и настройка коэффициента излучения; настройка тепловизора перед началом работы; требования к уровням подготовки персонала; методика тепловизионного обследования; правила техники безопасности при работе с тепловизором; измерение тепловой картины объекта;

Библиографический список

1. Baranski M., Polak A. Thermal diagnostic in electrical machines. PRZEGŁĄD ELEKTROTECHNICZNY (Electrical Review), ISSN 0033-2097, R. 87 NR 10/2011.
2. Dukovska L, Petkov V., Mihailov Em., Vasileva S. Image Processing for Technological Diagnosis of Metallurgical Facilities. Cybernetics and Information Technologies, Vol. 12, No 4, 2012, pp. 66–76.

— методы оценки технического состояния – качественный и количественный анализ; основные регламентирующие документы; характерные неисправности и их обнаружение по термограммам; критерии дефектов тепловой группы; анализ результатов и составление протокола результатов измерений; компьютерные программы обработки термограмм.

Данная программа рассчитана на работу со слушателями в течение недели. После проведения практических занятий по измерению тепловых полей объектов следует экзамен, который подтверждает уровень закрепленных знаний и готовность к самостоятельной работе.

Выводы

1. Появление широкого спектра приборов тепловизионного контроля значительно расширяет возможности контроля технического состояния ЭМС по параметрам температуры. Визуализация тепловых полей позволяет эффективно решать задачи диагностирования электрической и механической части с учетом специфических условий преобразования электрической энергии в механическую и тепловую.

2. Использование динамических тепловых расчетных схем замещения двигателей рекомендуется на этапе предварительного контроля состояния электромеханической системы при введении в расчет типовых и экстремальных возмущений.

3. Разработаны рекомендации и программа для использования тепловизионной техники техническим персоналом промышленного предприятия с учетом комплексного подхода к изучению физики теплового проявления неисправностей электрического и механического оборудования.

3. Chou Y. and Yao L. Automatic Diagnostic System of Electrical Equipment Using Infrared Thermography, 2009 International Conference of Soft Computing and Pattern Recognition, Malacca, 2009, pp. 155–160.
4. Madding, Robert. Emissivity Measurement and Temperature Correction Accuracy Considerations, Infrared Training Center, 2002.
5. Neto E. T. W., Costa E. Da, Maia M. Influence of emissivity and distance in high voltage equipments thermal imaging, Transmission & Distribution Conference and Exposition: Latin America, 2006. TDC'06. IEEE/PES, 2006, vol. 0, pp. 1–4.
6. PAJANI, Dominique. 10 mars 2013 Thermographie Principes et mesure. Dans: Mesure de température», [en ligne], Éditions T.I. [Paris, France], 2017, r2740, [Consulté le 06/09/2017], TIB542DUO, [base de données en ligne], disponible à l'adresse: <http://www.techniques-ingenieur.fr/base-documentaire/mesures-analyses-th1/mesure-de-temperature-42542210/thermographie-r2740/>.
7. PAJANI, Dominique et AUDAIRE, Luc., 10 mars 2013, «Thermographie Technologies et applications». Dans: «Mesure de température», [en ligne], Editions T.I. [Paris, France], 2017, r2741, [Consulté le 06/09/2017], TIB542DUO, [base de données en ligne], disponible à l'adresse : <http://www.techniques-ingenieur.fr/base-documentaire/mesures-analyses-th1/mesure-de-temperature-42542210/thermographie-r2741/>.
8. Introduction aux plans d'expériences [Ressource électronique] / Jacques Goupy, Lee Creighton. 3e édition. Paris: Dunod : L'Usine nouvelle, 2006.
9. Introduction aux transferts thermiques : cours et exercices corrigés / Jean-Luc Battaglia, Andrzej Kusiak, Jean-Rodolphe Puiggali. Paris : Dunod, 2010.
10. Электромеханические системы автоматизации стационарных установок / Машиностроение и техносфера XXI века / Под общ. ред. В.Ф. Борисенко // Сб. тр. междунар. науч.-техн. конф. в г. Севастополе 12–17 сентября 2005 г. Донецк: ДонНТУ, 2005. 281 с.
11. Чиликин М. Г., Сандлер А. С. Общий курс электропривода: учебник для вузов. М., 1981. 576 с.
12. Ключев В. И. Теория электропривода: Учебник для вузов. М.: Энергоатомиздат, 1985. 560 с.
13. Борисенко А. И., Костиков А. И., Яковлев А. И. Охлаждение промышленных электрических машин. М.: Энергоатомиздат, 1983. – 296 с.
14. Беспалов В. Я., Мощинский Ю. А., Цуканов В. И. Упрощенная математическая модель нестационарного нагрева и охлаждения обмотки статора асинхронного двигателя // Электричество. 2003. № 4. С. 20–26.
15. Беспалов В.Я., Дунайкина Е.А., Мощинский Ю.А. Нестационарные тепловые расчеты в электрических машинах / Под ред. Б.К. Клокова. М.: МЭИ, 1987. 72 с.
16. W.L. Chan, A.T.P. So, L.L. Lai, Three-dimensional thermal imaging for power equipment monitoring, IEE Proceedings, Generation, Transmission, and Distribution, Vol. 147, Issue 6 November 2000, pp. 355–360.
17. Pragasen Pillay. Loss of life in induction machines operating with unbalanced supplies. IEEE transactions on energy conversion, Vol. 21, No. 4, December 2006.
18. Vija Mehta, Sanket Pandya, Nirav Meghpara. Thermal network model of electrical motor by lumped heat method [Тепловая сетевая модель электродвигателя методом сосредоточенного нагрева]. IJEDR, Vol. 4, Issue 2, 2016.
19. Bouheraoua M., Zaouia M., Khaldi R., Benamrouche N. Experimental Study of Heating in Induction Motors for Several Load Conditions. (2019).
20. Ejiofor, Oti & Nnadi, Damian & Nwosu, Cajethan. Fundamentals of thermal modelling of induction machines. Int.conf. of electric power engeniring (ICEPENG 2015), October 14–16, 2015.
21. РД 153-34.0-20.364-00. Методика инфракрасной диагностики тепломеханического оборудования.
22. ГОСТ 26629–85. Здания и сооружения. Метод тепловизионного контроля качества теплоизоляции ограждающих конструкций.
23. СНиП II-3-79. Строительные нормы и правила. Строительная теплотехника.
24. Ялышев Ф. Х. Оптические методы контроля зданий и сооружений. Контроль качества теплозащиты. Л.: Стройиздат. Ленингр. отд., 1988. 79 с.
25. МУ 34-70-184-87. Методические указания по испытанию тепловой изоляции оборудования и трубопроводов ТЭС. М.: Союзтехэнерго, 1988.
26. Эксплуатационный циркуляр Ц-01-94 (Т) от 06.05.1994 г. Организация контроля за состоянием и ремонт обмуровки и тепловой изоляции оборудования тепловых электростанций в целях снижений потерь тепла и температур поверхности до нормальных значений.
27. ОСТ 34 26.446–88. Обмуровка паровых и водогрейных стационарных котлов. Общие технические требования. М.: Информэнерго, 1989. 14 с.
28. Методика обследования дымовых труб тепловых электростанций визуальным способом и при помощи тепловизора (Отчет по договору 96-137-901-025, 1-й кв. 1996 г.). М.: ОРГРЭС, ПЛИТ, 1996.

29. Экспериментальные работы на действующей дымовой трубе по определению тепловых потерь при эксплуатационных режимах (Отчет по договору 96-162-900-025, 2-й кв. 1996 г.) М.: ОРГРЭС. ПЛИТ, 1996.

30. Методические указания по определению состояния тепловых сетей подземной прокладки по известной температуре поверхности грунта над теплотрассой. Разработано Фирмой ОРГРЭС (Александров А. Н.) и Донской акционерной компанией (Иванов В.В., Бабенков В.И., Дунин И.Л.). М.: ОРГРЭС, 1991.

31. РД 34.20.501–95. Правила технической эксплуатации электрических станций и сетей Российской Федерации. 15-е изд. – М.: ОРГРЭС, 1996.

32. Афонин А. В., Поляков В. С. и др. Инфракрасная термография в энергетике, Т. 1. Основы инфракрасной термографии. СПб.: Изд. ПЭИПК, 2000.

33. Госсорт Ж. Инфракрасная термография. М.: Мир, 1988.

34. Бажанов С. А. Инфракрасная диагностика электрооборудования распределительных устройств. Библиотечка электротехника, прил. к журналу «Энергетик». М., 2000.

References

1. Baranski M., Polak A. Thermal diagnostic in electrical machines. PRZEGŁĄD ELEKTROTECHNICZNY (Electrical Review), ISSN 0033-2097, R. 87 NR 10/2011.
2. Dukovska L., Petkov V., Mihailov Em., Vasileva S. Image Processing for Technological Diagnosis of Metallurgical Facilities. Cybernetics and Information Technologies, Vol. 12, No 4, 2012, pp. 66–76.
3. Chou Y. and Yao L. Automatic Diagnostic System of Electrical Equipment Using Infrared Thermography, 2009 International Conference of Soft Computing and Pattern Recognition, Malacca, 2009, pp. 155–160.
4. Madding Robert. Emissivity Measurement and Temperature Correction Accuracy Considerations, Infrared Training Center, 2002.
5. Neto E. T. W., Costa E. Da, e Maia M., *Influence of emissivity and distance in high voltage equipments thermal imaging*, Transmission & Distribution Conference and Exposition: Latin America, 2006. TDC'06.IEEE/PES, 2006, vol. 0, pag. 1–4.
6. PAJANI, Dominique. 10 mars 2013, «Thermographie Principes et mesure». Dans: «Mesure de température», [en ligne], Éditions T. I. [Paris, France], 2017, r2740, [Consulté le 06/09/2017], TIB542DUO, [base de données en ligne], disponible à l'adresse: <http://www.techniques-ingenieur.fr/base-documentaire/mesures-analyses-th1/mesure-de-temperature-42542210/thermographie-r2740/>.
7. PAJANI, Dominique et AUDAIRE, Luc., 10 mars 2013, Thermographie Technologies et applications. Dans: «Mesure de température», [en ligne], Editions T.I. [Paris, France], 2017, r2741, [Consulté le 06/09/2017], TIB542DUO, [base de données en ligne], disponible à l'adresse: <http://www.techniques-ingenieur.fr/base-documentaire/mesures-analyses-th1/mesure-de-temperature-42542210/thermographie-r2741/>.
8. Introduction aux plans d'expériences [Ressource électronique] / Jacques Goupy, Lee Creighton. - 3e édition. Paris, Dunod: L'Usine nouvelle, 2006.
9. Introduction aux transferts thermiques : cours et exercices corrigés / Jean-Luc Battaglia, Andrzej Kusiak, Jean-Rodolphe Puiggali. Paris: Dunod, 2010.
10. Electromechanical automation systems for stationary installations / Engineering and technosphere of the XXI century / under general editorship of V.F. Borisenko // Proceedings of international scientific and technical conference, Sevastopol, September 12-17, 2005; Donetsk: DonNTU Publ., 2005, 281 p. (in Russ.).
11. Chilikin M.G., Sandler A.S. Electric drive course of studies: textbook for universities and colleges (*Obshchiy kurs elektroprivoda: uchebnik dlya vuzov*). Moscow, 1981, 576 p. (in Russ.).
12. Klyuchev V.I. Theory of electric drive: Textbook for universities and colleges (*Teoriya elektroprivoda: Uchebnik dlya vuzov*). Moscow: Energoatomizdat Publ., 1985, 560 p. (in Russ.).
13. Borisenko A.I., Kostikov A.I., Yakovlev A.I. Cooling of industrial electric machines (*Okhlazhdenie promyshlennykh elektricheskikh mashin*). Moscow: Energoatomizdat Publ., 1983, 296 p. (in Russ.).
14. Bespalov V.Ya., Moshchinsky Yu.A., Tsukanov V.I. Simplified mathematical model of nonstationary heating and cooling of induction motor stator winding// Electricity (*Elektrичество*), 2003, No. 4, pp. 20–26 (in Russ.).
15. Bespalov V.Ya., Dunaikina EA, Moshchinsky Yu.A. Nonstationary Thermal Design Calculations for Electric Machines (*Nestatsionarnye teplovye raschety v elektricheskikh mashinakh*)// Edited by B. K. Klokov. Moscow: MEI, 1987, 72 p. (in Russ.).
16. Chan W. L., So A. T. P., Lai L. L. Three-dimensional thermal imaging for power equipment monitoring, IEE Proceedings, Generation, Transmission, and Distribution, Vol. 147, Iss. 6, November 2000, pp. 355–360.

17. Pragasen Pillay. Loss of life in induction machines operating with unbalanced supplies. *IEEE transactions on energy conversion*, Vol. 21, No. 4, December 2006.
18. Mehta Vija, Pandya Sanket, Meghpara Nirav. Thermal network model of electrical motor by lumped heat method. *IJEDR*, Vol. 4, Issue 2, 2016.
19. Bouheraoua M., Zaouia M., Khaldi R., Benamrouche N. Experimental Study of Heating in Induction Motors for Several Load Conditions. (2019).
20. Ejiofor, Oti&Nnadi, Damian &Nwosu, Cajethan. (2015). FUNDAMENTALS OF THERMAL MODELING OF INDUCTION MACHINES. International conference of electric power engineering (ICEPENG 2015), October 14–16, 2015.
21. RD (Standard Operation Procedure) 153-34.0-20.364-00. Technique of infrared diagnostics of thermomechanical equipment (in Russ.).
22. State Standard GOST 26629–85. Buildings and structures. Method of thermal imaging quality control for thermal insulation of building envelopes (in Russ.).
23. SNiP II-3-79. Constructions Codes and Regulations. Construction heat engineering (in Russ.).
24. Yalyshev F. Kh. Optical methods for monitoring buildings and structures. Thermal protection system quality control (*Opticheskie metody kontrolya zdaniy i sooruzheniy. Kontrol' kachestva teplozashchity*). Leningrad: Stroyizdat Publ., Leningrad Branch, 1988, 79 p. (in Russ.).
25. MU 34-70-184-87. Procedural guidelines for testing thermal insulation of equipment and pipelines of thermal power plants. Moscow: Soyuztekhenergo Publ., 1988 (in Russ.).
26. Operational circular order Ts-01-94 (T) dated 05.06.1994. Organization of control over the condition and repair of lining and thermal insulation of equipment of thermal power plants for reducing heat losses and decreasing surface temperatures to normal level (in Russ.).
27. Sectoral Standard OST 34 26.446–88. Lining of steam and hot-water stationary boilers. General technical requirements. Moscow: Informenergo Publ., 1989, 14 p. (in Russ.).
28. Method of visual inspection of thermal power plant chimneys using thermal imager (Report under Contract 96-137-901-025, 1st quarter of 1996). Moscow: ORGRES, PLIT, 1996 (in Russ.).
29. Experimental work on the operating chimney to determine heat losses under operational conditions (Report under Contract 96-162-900-025, 2nd quarter of 1996). Moscow: ORGRES, PLIT, 1996 (in Russ.).
30. Guidelines for determining the state of underground heating networks using known temperature of the soil surface above the heating pipes. Developed by the ORGRES Firm (Alexandrov A. N.) and the Donskaya Joint-Stock Company (Ivanov V. V., Babenkov V. I., Dunin I. L.), Moscow: ORGRES, 1991 (in Russ.).
31. RD (Standard Operation Procedure) 34.20.501–95. Rules for maintenance of power plants and networks of the Russian Federation, 15th ed. M.: ORGRES, 1996 (in Russ.).
32. Afonin A. V., Polyakov V. S. et al. Infrared thermography in energy engineering, v. 1. Fundamentals of infrared thermography (*Infrakrasnaya termografiya v energetike. Osnovy infrakrasnoy termografii*). SPb.: PEIPK Publ., 2000 (in Russ.).
33. Gossorg Zh. Infrared Thermography (*Infrakrasnaya termografiya*). Moscow: Mir Publ., 1988 (in Russ.).
34. Bazhanov S. A. Infrared diagnostics of electrical equipment of electricity distribution plants. Library of Electrical Engineer, Appendix to Power Engineer journal (*Energetik*). Moscow, 2000 (in Russ.).

ORIGINAL PAPERS

DOI: 10.17073/2500-0632-2019-3-202-212

Features of Origination of Load on "Support-Interframe Shield" System

Y. A. Petrenko, N. N. Kasyan, A. L. Kasyanenko

Donetsk National Technical University, Donetsk, kasyanenkoal@aol.com

Abstract: The features of originating load on "support-interframe shield" system in the process of formation of broken rock zone around a mine working were investigated by laboratory tests on models of equivalent materials and structural models. The role of interframe shield in the formation of frame support load has been revealed. It was found that a natural self-supporting arch is formed over interframe shields within the broken rock zone, which redistributes the load on the roof support frames, while the weight of rocks within the arch puts pressure on the interframe shields. The requirements for interframe shield of frame supports in mine workings have been developed.

Keywords: interframe shield, lagging, rigidity, frame support, support load, rock pressure, equivalent materials, structural models.

For citation: Petrenko Y. A., Kasyan N. N., Kasyanenko A. L. Features of origination of load on "support-interframe shield" system. *Mining Science and Technology*. 2019;4(3):202-212 (In Russ.). DOI: 10.17073/2500-0632-2019-3-202-212.

Особенности механизма формирования нагрузки на систему «крепь-межрамное ограждение»

Петренко Ю. А., Касьян Н. Н., Касяненко А. Л.

Донецкий национальный технический университет, Донецк, kasyanenkoal@aol.com

Аннотация: Исследованы особенности формирования нагрузки на систему «крепь – межрамное ограждение» в процессе формирования вокруг выработки зоны разрушенных пород путем лабораторных исследований на моделях из эквивалентных материалов и структурных моделях. Выявлена роль межрамного ограждения при формировании нагрузки на рамные крепи. Установлено, что над межрамными ограждениями внутри зоны разрушенных пород образуется свод естественного равновесия, который перераспределяет нагрузку на рамы крепи, а на межрамные ограждения оказывает давление вес пород внутри этого свода. Разработаны требования к межрамным ограждениям рамных крепей горных выработок.

Ключевые слова: межрамные ограждения, затяжка, жесткость, рамная крепь, нагрузка на крепь, горное давление, эквивалентные материалы, структурные модели.

Для цитирования: Петренко Ю. А., Касьян Н. Н., Касяненко А. Л. Особенности механизма формирования нагрузки на систему «крепь-межрамное ограждение». *Горные науки и технологии*. 2019;4(3):202-212. DOI: 10.17073/2500-0632-2019-3-202-212.

Challenge problem. With increasing depth of mining, supporting of operating mine workings became one of the most pressing problems. Attempts to ensure maintenance-free supporting the workings at the expense of increasing load-bearing capacity of the support failed. At present, specific volume of mine support re-setting in the Donbass mines has reached 7.5 m

per 1,000 tons of production, and the labor inputs to repair and maintain the mine workings are 565.2 person-shift per 1 km of supported workings per year, or about 50 person-shift per 1,000 tons of production. The cost of the support re-setting per one meter of production is up to 50-60% of the initial support cost. The state of mine workings in the Donbass mines is





characterized by the following figures: about of 50% of the mine workings have been deformed, including for the horizontal development workings – 64 %, for the inclined workings – 52 %, and for the shaft bottom workings – 43 %. Of the total volume of the deformed workings, 20 % are in emergency condition, and this leads not only to increasing the costs of maintaining workings, but also significantly affects the mining safety.

That is why improvement of the mine working support design on the basis of revealing features of the mechanism of originating load on them is an urgent task.

Findings of reviewing recent studies and publications. The mechanism of interaction between frame support of the workings and the surrounding rock mass is very complicated and ambiguous. The existing idea that the support bearing reaction is distributed along the inner surface of the working to a width equal to the support setting increment does not reflect the actually observed situation in mine conditions, especially in case of formation of broken (fractured) rock zone. In practice, the support bearing reaction takes place within the surface of contact between them only. In interframe space, magnitude of the support bearing reaction to the rock mass is determined by the support setting increment and the interframe shield rigidity. In this case, only the supporting frames are the supporting element resisting unstable rocks.

The nature of the load distribution along the perimeter of the frame support has been thoroughly studied to date [1–7]. At the same time, the support is a spatial structure, and the question of the mechanism of the frame support interaction with the host rock mass, taking into account the rock deformation features in the interframe space, has not yet been fully studied. Most researchers define lagging (interframe shield) as a support element designated to protect a mine working from rock falls in the spaces between

the support frames [8–16]. At the same time, the results of mine working surveys show that the lagging state is much worse than the condition of the support frames themselves [17–20]. Therefore, in recent years, more attention has been paid to the lagging load-carrying function, which consists in receiving pressure from the rock mass and transferring it to the support frames [21–25]. At the same time, most of the developed mine laggings are rigid structures, bearing capacity of which is close to bearing capacity of the frame sets. This leads to increasing material consumption and the complexity of working support setting. This approach to solving the problem of interframe shields does not reflect the actual mechanism of the adjustable lagging frame support operation.

Study objective. To reveal the features of originating load on "support-interframe shield" system in the process of formation of broken rock zone around a mine working, taking into account the interaction of the support frames with the rock mass.

Research Findings. To achieve this goal, we used the method of physical modeling using models made of equivalent materials and structural models. The investigation was carried out in several stages.

1. To reveal the influence of lagging operating mode (rigid or adjustable lagging) and the support frame spacing on the magnitude and nature of the support frame loading.

2. To reveal the features of the mechanism of the support frame and lagging loading at adjustable lagging mode.

3. To substantiate the requirements for adjustable lagging parameters.

The model was loaded using pneumocylinders. As the equivalent materials, gypsum-sand mixtures were used in the modeling.

When developing structural models, marble chips with particle size of up to 10 mm were used as the material for the models.

A layered rock mass having uniaxial compression strength of 40–60 MPa was modeled. In the models, the roof support frames along the working length were installed in increments of 60; 40; 20 and 13 mm, which correspond to 1.5; 1.0; 0.5; and 0.33 m in field (mine) conditions. To study the stress distribution in the rock mass, in the models, friction sensors were installed tightly at a distance of 30 and 70 mm from the working contour. Similar sensors were installed under the roof support frames.

The arrangement of the sensors is shown in Fig. 1. Before testing the models, the readings of the sensors were recorded with no external load. Then, in the process of testing the models, the sensor readings were recorded when the magnitude of the external load changed.

At first, model No. 1 with rigid lagging was tested. The results of measuring pressure on the roof support frames and stresses in the surrounding rock mass are presented in Figures 2, 3. Analysis of the results of measuring pressure on

the roof support frames (see Fig. 2) shows that decreasing spacing between the support frames results in decreasing the load on each frame. In this case, the readings of the sensors under frames No. 1 and 12 were not taken into account, since they were located close to the model body.

For instance, decreasing the frame spacing from 1.5 to 0.33 m decreases the load on the frame from 121 to 42 kPa. This confirms correctness of the existing opinion that the role of rigid lagging in the formation of the support load is confined only to the load redistribution on the frames, depending on their spacing.

Analysis of the graphs of pressure distribution in the model mass (see Fig. 3) shows that it also depends on the support frame spacing. For instance, with the frame spacing of 1.5–0.5 m, directly above the frames, pressure maximum is observed, while with decreasing the frame support spacing, the difference between the pressure above the support frames and between them decreases. At the frame spacing less than 0.5 m, the pressure in the rock mass is more evenly distributed. The same pattern is observed at greater distance from the working contour.

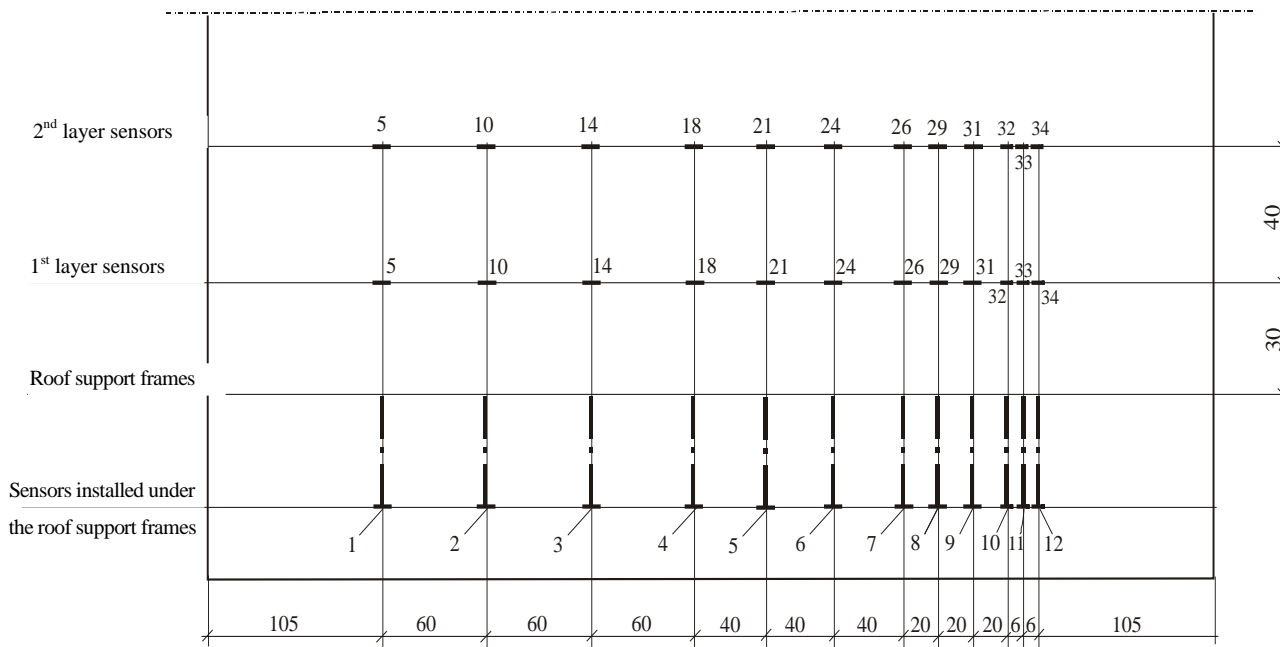


Fig. 1. Layout of pressure sensors in the model

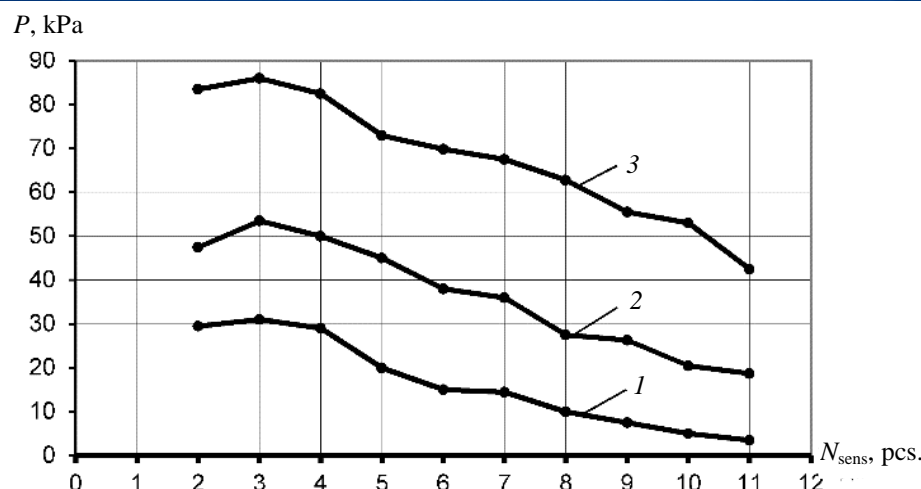


Fig. 2. Results of measuring pressure on support frames (P) with rigid lagging at external load of 0 kPa (1), 20 kPa (2) and 40 kPa (3)

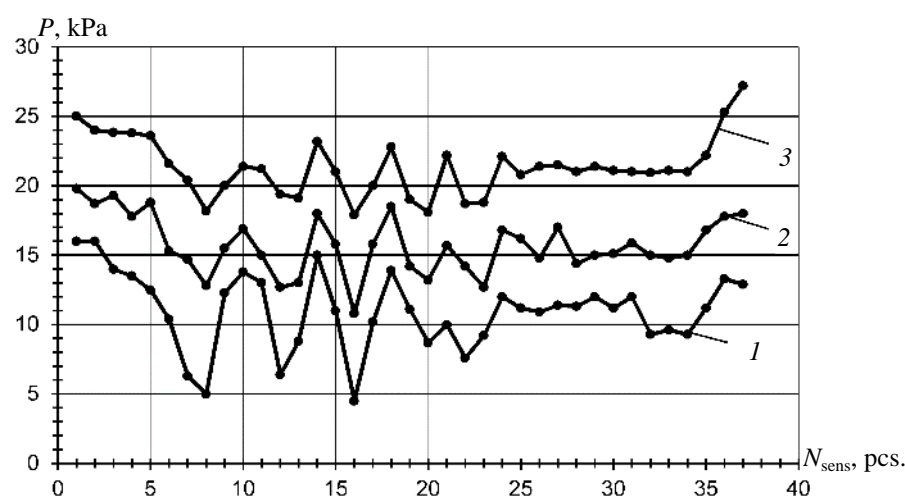


Fig. 3. Results of measuring pressure on the first layer sensors in the model with rigid lagging at external load of 0 kPa (1), 20 kPa (2) and 40 kPa (3)

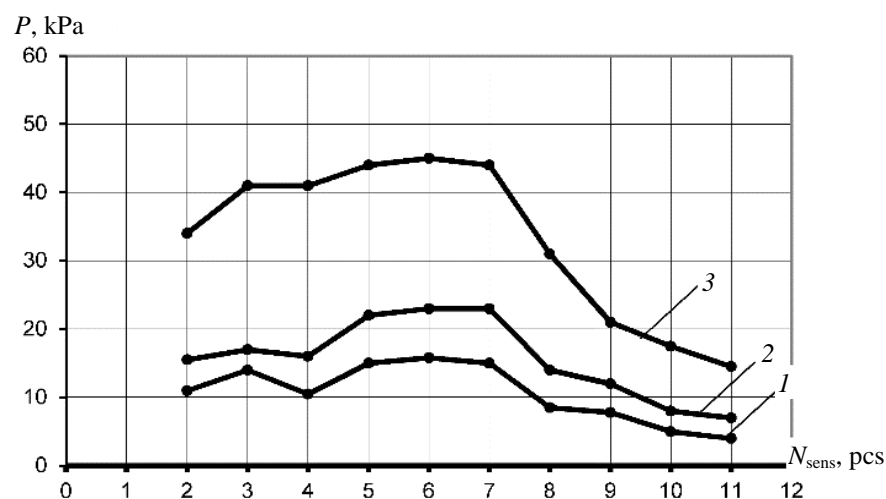


Fig. 4. Results of measuring pressure on support frames (P) with adjustable lagging at external load of 0 kPa (1), 20 kPa (2) and 40 kPa (3)

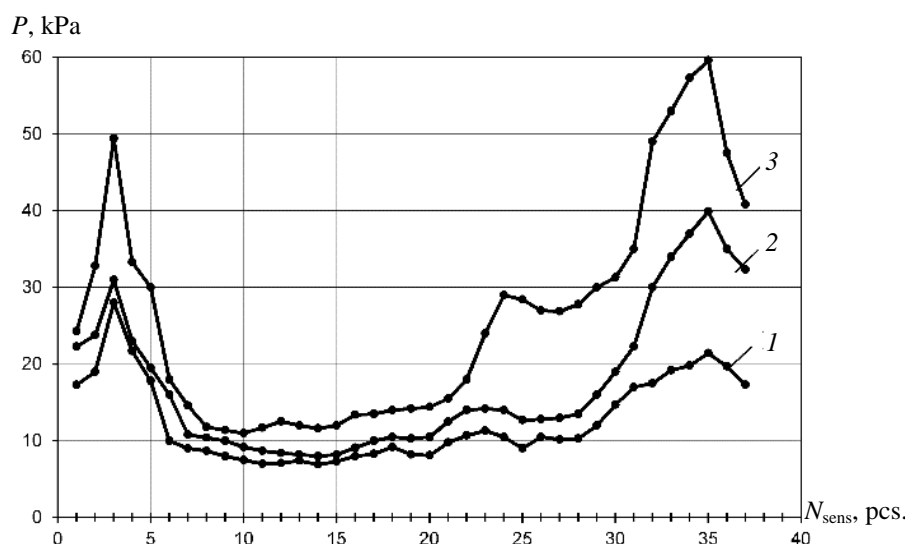


Fig. 5. Results of measuring pressure on the first layer sensors in the model with adjustable lagging at external load of 0 kPa (1), 20 kPa (2) and 40 kPa (3)

Obviously, the support frames act as pressure concentrators, since their bearing capacity and rigidity are much greater than that of the lagging. As a result, the rock mass immediately above the frames is broken to a greater extent. With the frame spacing of less than 0.5 m, the bearing capacity and rigidity of the support along the working length do not practically change and the pressure is distributed more evenly along the working length. Consequently, increasing the lagging rigidity will lead to more intense breakage of the rocks between the frames.

Model No. 2 was tested in similar conditions, but with the adjustable lagging. The results of measuring pressure on the roof support frames and stresses in the surrounding rock mass are presented in Figures 4, 5. As can be seen from the above data, the support frames load, at with the frame spacing from 0.5 m to 1.5 m is distributed evenly and practically does not depend on the distance between the frames. At the frame spacing of 0.5 m or less, the support frames load is distributed in the same way as with the rigid

lagging, i.e. as the distance between the frames decreases, the load decreases too.

The pressure distribution in the rock mass is uniform at the frame spacing of 0.5–1.5 m, while the pressure concentration above the support frames is not observed. With the frame spacing of less than 0.5 m, the pressure in the rock mass is distributed in the same way as with the rigid lagging.

The performed studies allow to conclude that with the support frame spacing of more than 0.5 m, the lagging not only protects the working from possible collapses, but also participates in the process of forming the load on the support frames. Moreover, the greater the lagging adjustability, the more evenly the pressure is distributed on the frames and in the rock mass along the working length.

At the support frame spacing of less than 0.5 m, the role of lagging is confined to supporting backfilling material only;

For more detailed studying the mechanism of forming the load on the roof support frames, models Nos. 3, 4, 5 were tested. To model the

zone of broken rocks (ZBR), marble chips with particle size of up to 10 mm were used as the model material. In the model, the support frames along the working length were installed with spacing of 40 mm that corresponded to the support frame spacing of 1.0 m in the field (mine) conditions. The friction sensor was installed under each support frame. Adjustable lagging was installed between the frames 1–4, whereas the rigid one, between the frames 4–7. In models Nos. 3, 4, and 5, the size of the broken rock zone above the working was simulated, being equal to half the frame spacing, the frame spacing, and the doubled frame spacing, respectively.

The results of measuring pressure on the roof support frames in models 3, 4, and 5 are presented in Figs. 6, 7, respectively.

The analysis of the obtained data showed that at the initial stage of the broken rock zone formation (at the external load of 0–10 kPa), the lagging adjustability does not produce significant effect on the support load.

Starting with the external load of 10 kPa, the load on frames with adjustable lagging grows less intensively and is 1.5–2.5 times less than that on the frames with rigid lagging. With increasing the external load above 30 kPa, the intensity of loading the frames with adjustable lagging increases, whereas in case of the rigid one the intensity decreases. But on the whole, the load on the frames with adjustable lagging, as established earlier, is 30–40 % less than that on the frames with rigid lagging.

Such mechanism for forming support frame load can be explained as follows. Beginning with the external load of 10 kPa, the adjustable lagging deflects and, when the broken rock zone size exceeds half of the frame spacing, the natural self-supporting arch is formed over interframe shields between the frames. The arch is completely formed at the external load of 30 kPa (Fig. 8). After this, the support frame load begins to increase more intensively with increasing the external load.

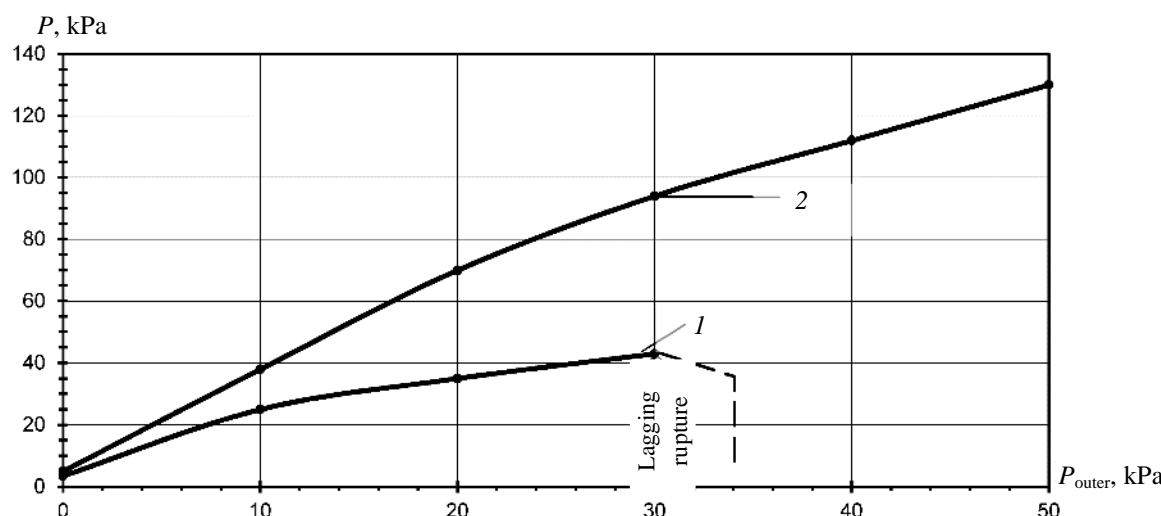


Fig. 6. Results of measuring pressure on support frames (P) in model No. 3 depending on external load (P_{ext}):
1 – with adjustable lagging; 2 – with rigid lagging

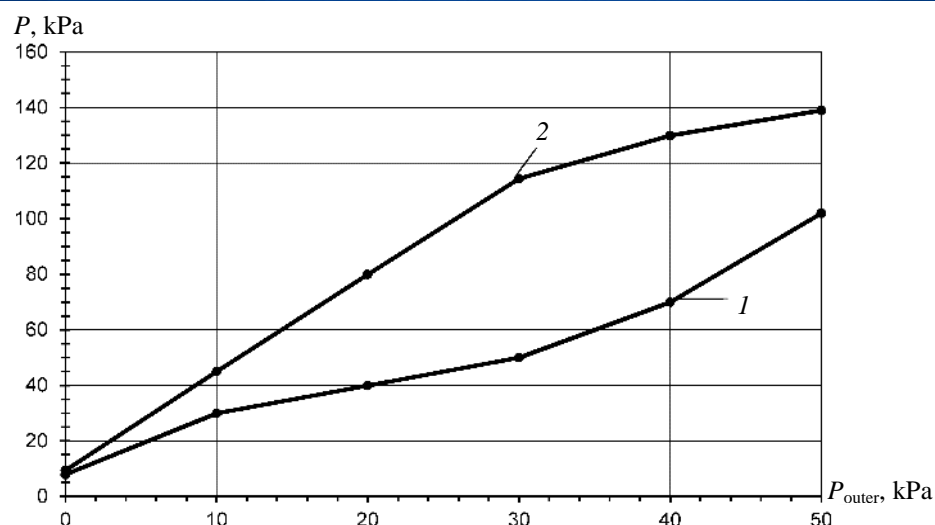


Fig. 7. Results of measuring pressure on support frames (P) in models Nos. 4, 5 depending on external load (P_{ext}):
1 – with adjustable lagging; 2 – with rigid lagging

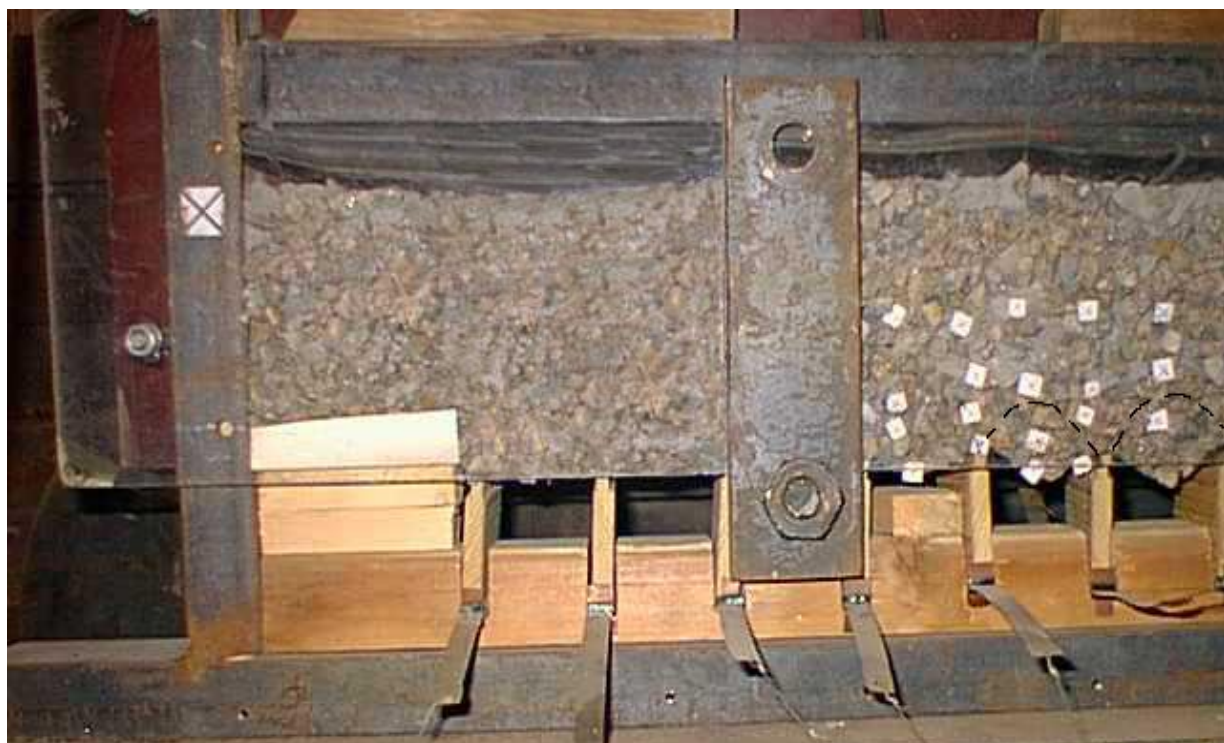


Fig. 8. Behavior of model with rigid and adjustable lagging

The load on the frames with rigid lagging increases almost linearly with increasing the external load, since the lagging only redistributes the load on the frames. However, at the external load of more than 30 kPa, the lagging deflects and receives a part of the working contour displacements and thereby reduces the frame load. After formation of natural self-supporting arches

in the interframe space, the lagging bears the load from the weight of rock within this arch only. And since these arches bear on the support frames, at further growth of the broken rock zone around the working, the load is redistributed only to the support frames and not transmitted to the lagging.



The performed studies allow to clarify the mechanism of originating load on "support-interframe shield" system in the process of formation of broken rock zone around a mine working, which consists in the following:

In the initial period of broken rock zone formation around the working (the zone size does not exceed the frame spacing), and in absence of the lagging deformation, the latter only redistributes the load caused by the working contour displacements to the support frames, with no significant effect on the load magnitude. With further expanding the zone into the rock mass and the lagging deflection due to rock displacements into the working space, since its rigidity and bearing capacity are less than those of the support frame, natural self-supporting arches begin to originate between the frames along the working longitudinal axis.

Formation of the natural self-supporting arch between the support frames along the working allows to explain the fact that in mine conditions, even at significant deformations of adjustable support with reinforced concrete lagging, complete failure of the lagging and collapse of the rocks between the support frames is not observed. At the same time, the lagging load-bearing capacity is much less than that of the support frame.

The revealed mechanism allows to formulate requirements for the interframe shield parameters:

- the lagging adjustability should provide the opportunity of originating natural self-supporting arches within the broken rock zone in the interframe space with no rupture (collapse) of the zone;

- the lagging load-bearing capacity should provide bearing the load from the weight of the rocks within the natural self-supporting arch.

Conclusions and direction of further research. Summarizing the results of the studies, the following can be noted:

- lagging, both rigid and adjustable, is involved in the process of forming the support load at the support frame spacing of 0.5 m or more. At the support frame spacing of less than 0.5 m, the role of lagging is confined to supporting backfilling material only;

- with rigid lagging, the support frame load decreases with decreasing the frame spacing, i.e. rigid lagging only redistributes the surrounding rock mass load on the support frames. At the same time, pressure concentration and more intense rupture of the rock mass are observed above the frames;

- with adjustable lagging, the support frame load at the frame spacing of more than 0.5 m and the pressure in the rock mass are evenly distributed and do not significantly depend on the distance between the frames. With the support frame spacing less than 0.5 m, the frame load and are distributed in the same way as with the rigid lagging;

- with adjustable lagging, as the zone of ruptured rocks around the working expands into the rock mass and the lagging deflection takes place, a natural self-supporting arch is formed over interframe shields (between the support frames) within the broken rock zone. In this case, after the natural self-supporting arch formation completion, the roof support frame load increases more intensively with increasing the external pressure;

- with adjustable lagging and the support frame spacing of more than 0.5 m, the frame load is 30-40% less than that with rigid lagging.

The objective of further research is to develop the methodology for calculating the interframe shield parameters.

References

1. Litvinsky G. G. Patterns of load formation on mine working support // Proceedings of DonSTU, 2016, No. 3 (46), pp. 5-15 (in Russ.).
2. Petrenko Yu. A., Novikov A. O., Podkopaev S. V., Aleksandrov S. N. About the features of load formation on working support in deep mines. Physical and technical problems of mining, 2011, Issue 14, pp. 133–141 (in Russ.).
3. Li C. Rock support design based on the concept of pressure arch // International Journal of Rock Mechanics and Mining Sciences. 2006, Vol. 43(7), pp. 1083–1090. doi: 10.1016/j.ijrmms.2006.02.007.
4. Driban V. A., Novikov A. O. On the mechanism of mine working stability loss and methods for control of the host rock mass conditions // Proceedings of UkrNDMI of NAS of Ukraine, 2012, No. 11, pp. 275–292 (in Russ.).
5. Kong X., Liu Q., Pan Y., Liu J. Stress redistribution and formation of the pressure arch above underground excavation in rock mass // European Journal of Environmental and Civil Engineering. 2017. doi: 10.1080/19648189.2018.1541824.
6. Huang X., Zhang Z. Stress arch bunch and its formation mechanism in blocky stratified rock masses. Journal of Rock Mechanics and Geotechnical Engineering. 2012, Vol. 4, No. 1, pp. 19-27. doi: 10.3724/SP.J.1235.2012.00019.
7. Kasyan N. N., Novikov A. O., Petrenko Yu. A., Shestopalov I. N., Reznik A. V. Metal yielding support. Patent of Ukraine, No. a201102997, 2013 (in Russ.).
8. Skobenko A. V., Khozyadkina N. V., Derysh V. V. Improving frame support of coal mine longwalls (*Sovershenstvovanie ramnoy krepi protyazhennykh vyrabotok ugol'nykh shakht*). Dnepropetrovsk: NSU Publ., 2014, 96 p. (in Russ.).
9. Lisjak A., Grasselli G. A review of discrete modeling techniques for fracturing processes in discontinuous rock masses. Journal of Rock Mechanics and Geotechnical Engineering. 2014, Vol. 6, No. 4, pp. 301–314. doi: 10.1016/j.jrmge.2013.12.007.
10. Meshchaninov S. K. Methods of modeling and control of mining working operation reliability (*Metody modelirovaniya i upravleniya nadezhnost'yu funktsionirovaniya gornykh vyrabotok*). Dnepropetrovsk: NSU Publ., 2011, 360 p. (in Russ.).
11. Alshkane Y. M., Marshall A. M., Stace L. R. Prediction of strength and deformability of an interlocked blocky rock mass using UDEC // Journal of Rock Mechanics and Geotechnical Engineering. 2017, Vol. 9, No. 3, pp. 531–42. doi: 10.1016/j.jrmge.2017.01.002.
12. Bidgoli M. N., Zhao Z., Jing L. Numerical evaluation of strength and deformability of fractured rocks. Journal of Rock Mechanics and Geotechnical Engineering. 2013, Vol. 5, No. 6, pp. 419–430. doi: 10.1016/j.jrmge.2013.09.002.
13. Kazerani T. Effect of micromechanical parameters of microstructure on compressive and tensile failure process of rock // International Journal of Rock Mechanics and Mining Sciences. 2013 Vol. 64, pp. 44–55. doi: 10.1016/j.ijrmms.2013.08.016.
14. Khani A., Baghbanan A., Norouzi S., Hashemolhosseini H. Effects of fracture geometry and stress on the strength of a fractured rock mass // International Journal of Rock Mechanics and Mining Sciences. 2013, Vol. 60, pp. 345–352. doi: 10.1016/j.ijrmms.2013.01.011.
15. Wang X., Zhao Y., Lin X. Determination of mechanical parameters for jointed rock masses. Journal of Rock Mechanics and Geotechnical Engineering. 2011, Vol. 3, sup. 1, pp. 398–406. doi: 10.3724/SP.J.1235.2011.00398.
16. Makshankin D. N. Substantiation for steel section support application for mine workings. Extended abstract of Cand. Sci. Dissertation in engineering science, Kemerovo, 2012, 19 p. (in Russ.).
17. Demin V. F., Demina T. V., Aliev S. B., Razumnyak N. L. Investigation of rock pressure manifestations and nature of the interaction of various types of support with host rocks around mine workings. Mining Information and Analytical Bulletin (*Gornyy Informatsionno-Analiticheskiy Byulleten*) (scientific and technical journal), 2012, special issue No. 7, pp. 34–43 (in Russ.).
18. Zhang L. Evaluation of rock mass deformability using empirical methods // Underground Space. 2017, Vol. 2, No. 1, pp. 1–15. doi: 10.1016/j.undsp.2017.03.003.
19. Litvinsky G. G., Smekalin E. S. Effectiveness of frame support design // Proceedings of DonSTU, 2015, No. 1 (44), pp. 18-25 (in Russ.).
20. Koshelev K. V., Petrenko Yu. A., Novikov A. O. Protection and repair of mine workings (*Okhrana i remont gornykh vyrabotok*). Moscow: Nedra Publ., 1990, 218 p. (in Russ.).

21. Petrenko Yu. A. Geotechnical basis for maintaining stability of deep mine workings at various stages of their operation. Extended abstract of Doct. Sci. Dissertation in engineering science, Donetsk, 2008, 30 p. (in Russ.).
22. Bidgoli M. N., Jing L. Anisotropy of strength and deformability of fractured rocks // Journal of Rock Mechanics and Geotechnical Engineering. 2014, Vol. 6, No. 2, pp. 156–164. doi: 10.1016/j.jrmge.2014.01.009.
23. Saeidi O., Rasouli V., Vaneghi R. G., Gholami R., Torabi S. R. A modified failure criterion for transversely isotropic rocks // Geoscience Frontiers. 2013, Vol. 5, No. 2, pp. 215–225. doi: 10.1016/j.gsf.2013.05.005.
24. Ciz R., Siggins A. F., Gurevich B., Dvorkin J. Influence of microheterogeneity on effective stress law for elastic properties of rocks // Geophysics. 2008, Vol. 73 (1), pp. E7–E14. doi: 10.1190/1.2816667.
25. Li Q., Shi W., Yang R. Deformation mechanisms in a coal mine roadway in extremely swelling soft rock // SpringerPlus. 2016, Vol. 5(1). 1310. doi: 10.1186/s40064-016-2942-6.

Библиографический список

1. Литвинский Г. Г. Закономерности формирования нагрузки на крепи горных выработок // Сб. науч. тр. ДонГТУ. 2016. № 3 (46). С. 5–15.
2. Петренко Ю. А., Новиков А. О., Подкопаев С. В., Александров С. Н. Об особенностях формирования нагрузки на крепь выработок глубоких шахт. Физико-технические проблемы горного производства. 2011. Вып. 14. С. 133–141.
3. Li C. Rock support design based on the concept of pressure arch // International Journal of Rock Mechanics and Mining Sciences. 2006. Vol. 43(7). Pp. 1083–1090. doi: 10.1016/j.ijrmms.2006.02.007.
4. Дрибан В. А., Новиков А. О. О механизме потери устойчивости горных выработок и способах управления состоянием вмещающего их массива // Наукові праці УкрНДМІ НАН України. 2012. № 11. С. 275–292.
5. Kong X., Liu Q., Pan Y., Liu J. Stress redistribution and formation of the pressure arch above underground excavation in rock mass // European Journal of Environmental and Civil Engineering. 2017. doi: 10.1080/19648189.2018.1541824.
6. Huang X., Zhang Z. Stress arch bunch and its formation mechanism in blocky stratified rock masses. Journal of Rock Mechanics and Geotechnical Engineering. 2012. Vol. 4. No. 1. Pp. 19–27. doi: 10.3724/SP.J.1235.2012.00019.
7. Касьян Н. Н., Новиков А. О., Петренко Ю. А., Шестопалов И. Н., Резник А. В. Металлическая податливая крепь. Патент Украина, № а201102997, 2013.
8. Скобенко А. В., Хозяйкина Н. В., Дерыш В. В. Совершенствование рамной крепи протяженных выработок угольных шахт. Днепропетровск: НГУ, 2014. 96 с.
9. Lisjak A., Grasselli G. A review of discrete modeling techniques for fracturing processes in discontinuous rock masses. Journal of Rock Mechanics and Geotechnical Engineering. 2014. Vol. 6. No. 4. Pp. 301–314. doi: 10.1016/j.jrmge.2013.12.007.
10. Мещанинов С. К. Методы моделирования и управления надежностью функционирования горных выработок. Днепропетровск: НГУ, 2011. 360 с.
11. Alshkane Y. M., Marshall A. M., Stace L. R. Prediction of strength and deformability of an interlocked blocky rock mass using UDEC // Journal of Rock Mechanics and Geotechnical Engineering. 2017. Vol. 9. No. 3. Pp. 531–42. doi: 10.1016/j.jrmge.2017.01.002.
12. Bidgoli M. N., Zhao Z., Jing L. Numerical evaluation of strength and deformability of fractured rocks. Journal of Rock Mechanics and Geotechnical Engineering. 2013. Vol. 5. No. 6. Pp. 419–430. doi: 10.1016/j.jrmge.2013.09.002.
13. Kazerani T. Effect of micromechanical parameters of microstructure on compressive and tensile failure process of rock // International Journal of Rock Mechanics and Mining Sciences. 2013 Vol. 64. Pp. 44–55. doi: 10.1016/j.ijrmms.2013.08.016.
14. Khani A., Baghbanan A., Norouzi S., Hashemolhosseini H. Effects of fracture geometry and stress on the strength of a fractured rock mass // International Journal of Rock Mechanics and Mining Sciences. 2013. Vol. 60. Pp. 345–352. doi: 10.1016/j.ijrmms.2013.01.011.
15. Wang X., Zhao Y., Lin X. Determination of mechanical parameters for jointed rock masses. Journal of Rock Mechanics and Geotechnical Engineering. 2011. Vol. 3, sup. 1. Pp. 398–406. doi: 10.3724/SP.J.1235.2011.00398.
16. Макшанкин Д. Н. Обоснование крепления горных выработок металлической крепью из шахтного профиля. Автореф. дис. канд. техн. наук. Кемерово, 2012. 19 с.
17. Демин В. Ф., Демина Т. В., Алиев С. Б., Разумняк Н. Л. Исследование проявлений горного давления и характера взаимодействия различных видов крепления с вмещающими породами вокруг выработки.

Горный информационно-аналитический бюллетень (научно-технический журнал). 2012. Отд. вып. № 7. С. 34–43.

18. Zhang L. Evaluation of rock mass deformability using empirical methods // Underground Space. 2017. Vol. 2. No. 1. Pp. 1–15. doi: 10.1016/j.undsp.2017.03.003.
19. Литвинский Г. Г., Смекалин Е. С. Эффективность рамных конструкций крепи // Сб. науч. тр. ДонГТУ. 2015. № 1 (44). С.18–25.
20. Кошев К. В., Петренко Ю. А., Новиков А. О. Охрана и ремонт горных выработок. М.: Недра, 1990. 218 с.
21. Петренко Ю. А. Геомеханические основы сохранения устойчивости выработок глубоких шахт на различных этапах их эксплуатации. Автореф. дис. д-ра техн. наук. Донецк, 2008. 30 с.
22. Bidgoli M. N., Jing L. Anisotropy of strength and deformability of fractured rocks // Journal of Rock Mechanics and Geotechnical Engineering. 2014. Vol. 6. No. 2. Pp. 156–164. doi: 10.1016/j.jrmge.2014.01.009.
23. Saeidi O., Rasouli V., Vaneghi R.G., Gholami R., Torabi S.R. A modified failure criterion for transversely isotropic rocks // Geoscience Frontiers. 2013. Vol. 5. No. 2. Pp. 215–225. doi: 10.1016/j.gsf.2013.05.005.
24. Ciz R., Siggins A.F., Gurevich B., Dvorkin J. Influence of microheterogeneity on effective stress law for elastic properties of rocks // Geophysics. 2008. Vol. 73 (1). Pp. E7–E14. doi: 10.1190/1.2816667.
25. Li Q., Shi W., Yang R. Deformation mechanisms in a coal mine roadway in extremely swelling soft rock // SpringerPlus. 2016. Vol. 5(1). 1310. doi: 10.1186/s40064-016-2942-6.

ORIGINAL PAPERS

DOI: 10.17073/2500-0632-2019-3-213-219

Использование свойств дискретных пород для оптимизации процессов погашения выработанного пространства

Голик В. И.¹, Буй Хуан Нам², Масленников С. А.³, Анищенко В. И.⁴

¹Северо-Кавказский горно-металлургический институт, (СКГТУ), Владикавказ, Россия,

² Горно-Геологический Университет, Ханой, Вьетнам.

³ Донской государственный технический университет (филиал), Шахты, Россия

⁴LLC "Spetsmodulproekt", Нью-Йорк, США

Аннотация: Оптимизация процессов погашения выработанного пространства осуществляется за счет использования свойств дискретных пород. Новое направление совершенствования технологий основано на феномене реализации остаточной прочности пород при заклинивании в процессе подземной разработки структурно-нарушенных скальных месторождений. Целью исследований является уменьшение затрат на погашение выработанного пространства при обеспечении безопасности работ. Цель достигается сравнением вариантов погашения в зависимости от образования свода естественного равновесия пород. Исследование базируется на основе положений строительной механики и механики сплошных сред с использованием феномена проявления остаточной прочности дискретных пород вследствие их заклинивания. Сформулирована концепция погашения выработанного пространства. Приведены сведения о геологическом строении исследуемого сложноструктурного месторождения скальных руд и роли тектонических структур в поведении рудовмещающего массива при вскрытии горными выработками. Приведены результаты исследования состояния массива с выделением характерных инженерно-геологических участков. Рассмотрены варианты поведения рудовмещающего массива в зависимости от естественного заклинивания элементарных структурных блоков пород в пределах свода. Уточнена возможность комбинирования способов погашения изоляцией и закладкой твердеющими смесями. Рекомендована область применения результатов исследования при разработке месторождений твердых полезных ископаемых подземным способом. Определение границ области опасных сдвигений в толще пород на основе использования механизма заклинивания дискретных пород обеспечивает возможность отработки месторождений с большей эффективностью при обеспечении безопасности горных работ. Результаты исследования могут быть востребованы при подземной добыче твердых полезных ископаемых.

Ключевые слова: порода, прочность, погашение, выработанное пространство, заклинивание, управление, безопасность.

Для цитирования: Голик В. И., Буй Хуан Нам, Масленников С. А., Анищенко В. И. Использование свойств дискретных пород для оптимизации процессов погашения выработанного пространства. *Горные науки и технологии*. 2019;4(3):213-219. DOI: 10.17073/2500-0632-2019-3-213-219.

Using Properties of Discrete Rocks to Optimize Backfilling

V. I. Golik¹, Xuan Nam Bui², S. A. Maslennikov³, V. I. Anischenko⁴

¹North-Caucasian Mining and Metallurgical Institute (SKGTU), Vladikavkaz, Russia, 

²Geology and Mining University, Hanoi, Vietnam.

³Donskoi State Technical University, Shakhty, Russia.

⁴LLC "Spetsmodulproekt", New York, USA

Abstract: Backfilling optimization is carried out through the use of discrete rock properties. A new line of the process improvement is based on the phenomenon of performance of residual rock strength when jamming in the process of underground mining of deposits within faulted rocks. The research is aimed at reducing costs of backfilling while ensuring the work safety. The goal is achieved by comparing backfilling options depending on the formation of rock natural self-supporting arch. The study is based on the provisions of structural mechanics and continuum mechanics using the phenomenon of performance of residual rock strength due to rock jamming. The backfilling concept has been formulated. Information on geological structure of the studied rocky ore deposit of complicated



tectonic structure and the roles of tectonic framework in the behavior of the ore-hosting rock mass in the course of opening by mine workings are presented. The findings of the study of the rock mass condition with determination of characteristic geotechnical domains are presented. Variants of the ore-hosting rock mass behavior are considered depending on natural jamming of elementary structural rock blocks within the arch. The possibility of combining sealing and setting-mix backfilling methods has been clarified. The area of the research findings application in mineral underground mining is recommended. The determination of dangerous displacement area boundaries in rock mass using the mechanism of discrete rock jamming allows achieving higher mining effectiveness while ensuring mining safety. The study results can be used in underground mining of minerals.

Keywords: rock, strength, backfilling, goaf, jamming, management, safety.

For citation: Golik V. I., Bui Xuan Nam, Maslennikov S. A., Anischenko V. I. Using properties of discrete rocks to optimize backfilling. *Mining Science and Technology*. 2019;4(3):213-219 (In Russ.). DOI: 10.17073/2500-0632-2019-3-213-219.

Введение

Погашение выработанного пространства является ответственным этапом эксплуатации месторождения, потому что последствия неправильно выбранного решения откорректировать трудно. Одним из направлений совершенствования технологии погашения является использование породных несущих конструкций с реализацией их механической прочности [1–3].

Концепция погашения выработанного пространства основана на том, что устойчивые во время отработки породы с течением времени обрушаются или до предельного свода равновесия, образованного заклинившимися структурными блоками, или до высоты, определяемой коэффициентом обрушения пород [4–8].

Целью исследования является снижение затрат на погашение за счет использования энергии заклинивания для управления массивом.

Результаты

В геологическом строении скальных месторождений участвуют породы различного возраста. Ведущая роль в структуре и рудоносности месторождения принадлежит разломам, к которым приурочена рудоносность (рис. 1).

Вблизи тектонических разломов трещиноватость увеличивается, достигая максимум-

ма в оперяющих нарушениях и вблизи них (рис. 2).

Вывалы происходят чаще всего при пересечении сопряжений крутых и пологих зон, а также если один из швов тектонического нарушения является стенкой выработки.

Внутри геологического поля можно выделить инженерно-геологические участки (табл. 1).

Соотношение размеров допустимого по устойчивости пролета и пролета свода обрушения становится основным критерием безопасности и еще более значимым при использовании технологий с подработкой пород на большой площади, например с выщелачиванием металлов из рудных залежей значительной площади [9–11].

При возникновении свода естественного равновесия параметры погашаемой выработки определяются в первую очередь размерами структурного породного блока:

$$a = d_1 \left(\frac{10R_{\text{сж}}}{kH\gamma} - 1 \right),$$

где a – полупролет свода естественного равновесия, м; d_1 – горизонтальный размер элементарного блока пород, м; 10 – коэффициент перевода $\text{kг}/\text{см}^2$ в $\text{т}/\text{м}^2$; $R_{\text{сж}}$ – временное сопротивление пород сжатию, $\text{kг}/\text{см}^2$; k – коэффициент запаса; H – глубина расположения пяты от поверхности, м; γ – объемный вес пород, $\text{kг}/\text{м}^3$.

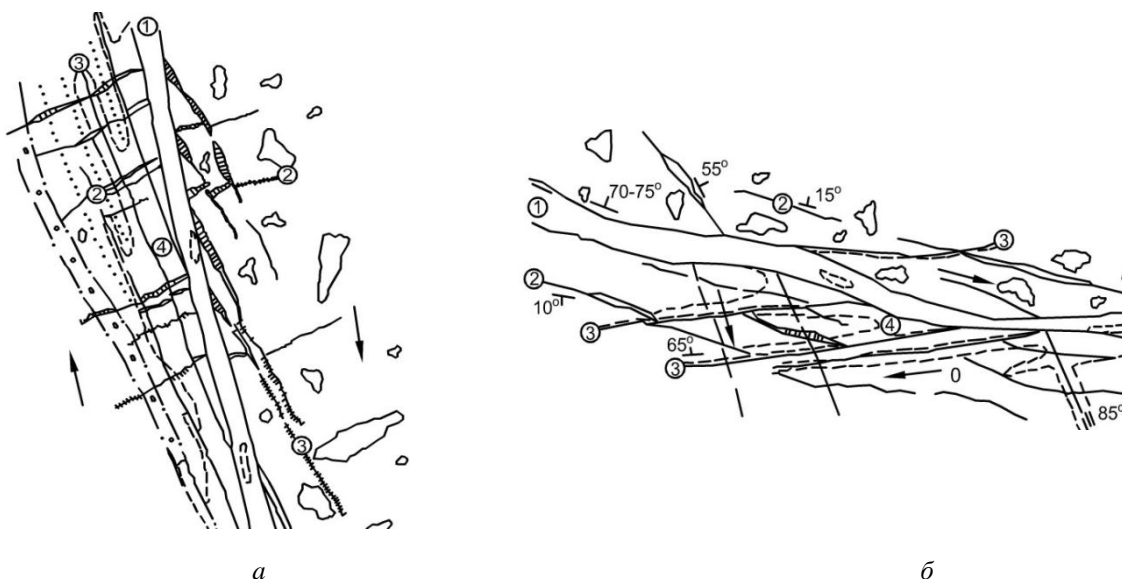
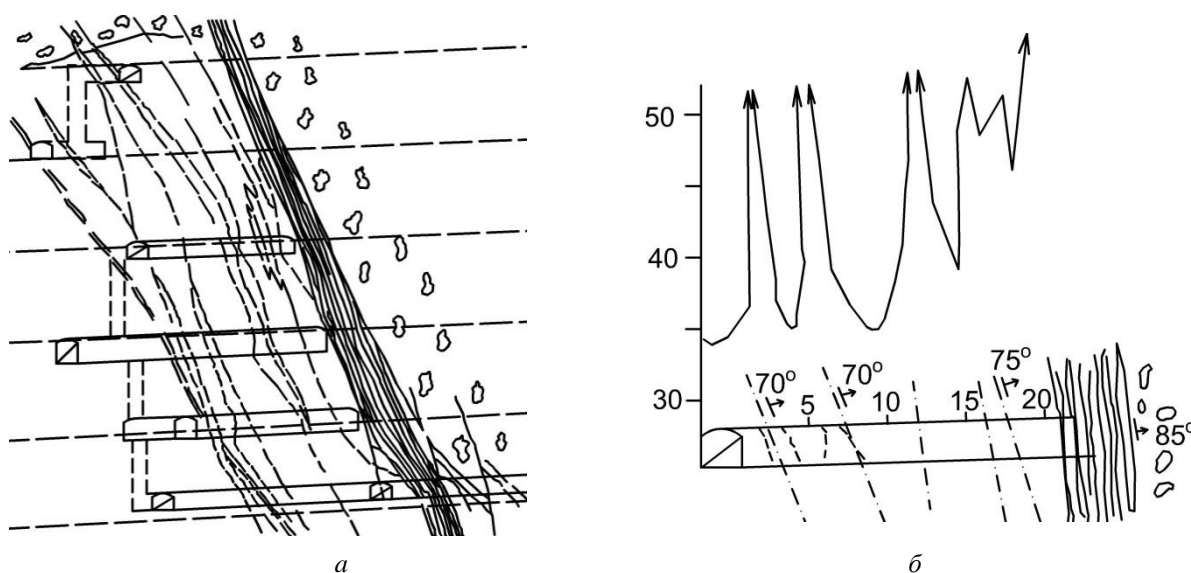


Рис. 1. План (а) и разрез (б) разлома:
 1 – зона расслоения; 2 – трещины отрыва; 3 – трещины скола с глинистой трещиной; 4 – оруденение

Fig. 1. Fault plan (a) and cross-section (b):

1 – stratification zone; 2 – ruptures; 3 – shear fractures with clay gauge; 4 – mineralization



**Рис. 2. Положение рудоносных структур в лежачем боку разлома (а)
 и характер распределения трещин в орте (б)**

**Fig. 2. Position of ore-bearing structures in fault footwall (a)
 and the nature of fracture distribution in cross drift (b)**

Таблица 1

Инженерно-геологическая характеристика месторождения Ишимское
Geotechnical characteristics of Ishimskoe deposit

Характеристика участка	Объемный вес пород, т/м ³	Прочность пород, кг/см ²	Размер структурного блока, м	Коэффициент ослабления пород
Узлы сопряжений разломов с контактной зоной	2,65	639	0,4×0,4	0,37
Зоны крупных разломов и контактные зоны	2,65	587	0,8×1,6	0,43
Части тектонических блоков между разломом и контактной зоной	2,65	570	1,8×4,0	0,62

Самозаклинивание элементарных блоков пород может произойти, если пролета свода B больше пролета зоны обрушения пород:

$$B \geq 2a.$$

На рис. 3 и 4 представлена зона обрушения пород для случаев, когда угол наклона очистной выработки больше угла обрушения пород:

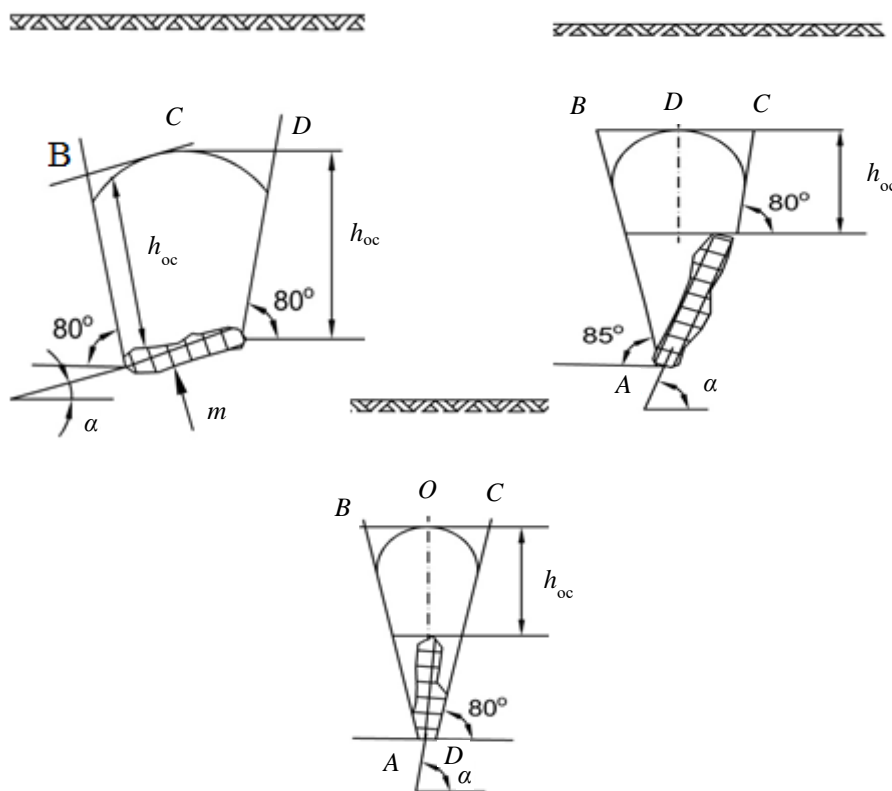


Рис. 3. Построение границ опасных сдвигений в толще пород на разрезах вкrest простириания

Fig. 3. Construction of dangerous displacement area boundaries in rock mass on sections across the strike

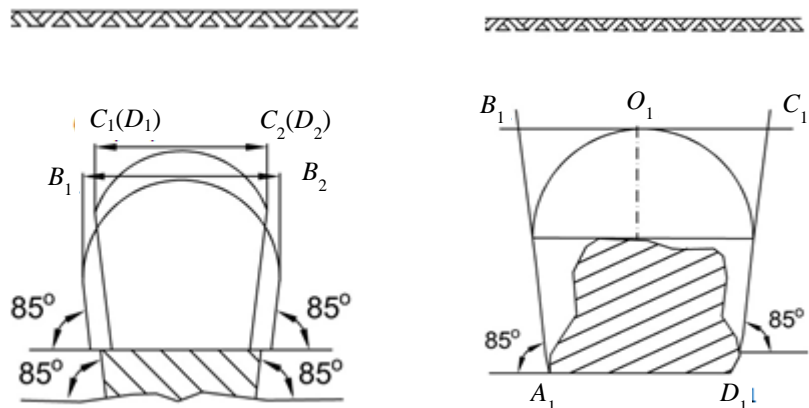


Рис. 4. Построение границ опасных сдвигений в толще пород в вертикальной проекции

Fig. 4. Construction of dangerous displacement area boundaries in rock mass in elevation view

Высота свода самозаклинивания h_c :

– при $2a = B$:

$$h_c = \frac{a}{v},$$

где a – полупролет свода без учета коэффициента запаса k ; v – коэффициент устойчивости трещиноватых пород:

$$v = 2 \frac{d_2}{d_1} \frac{R_{cж}^{11}}{R_{cж}^1},$$

где $\frac{d_2}{d_1}$ – соотношение вертикального и горизонтального размеров структурных блоков пород; $\frac{R_{cж}^{11}}{R_{cж}^1}$ – отношение временного сопротивления горных пород сжатию R' в направлении распора свода и в направлении действия веса пород.

Если предельный свод пересекает весьма трещиноватые породы, показатели d_2 и $R_{cж}^{11}$ характеризуют породы разломов и зоны их влияния.

– при $2a > B$ в формулах вместо полуторапролета предельного свода (a) подставляется полуторапролет зоны обрушения пород ($0,5B$):

$$h_c = \frac{B}{2v}, \text{ и } h_c = \frac{B}{4}.$$

Условие сохранения земной поверхности для случая обрушения пород с образованием свода:

$$H^1 > h_c,$$

где H^1 – расстояние от верхней границы выработанного пространства до выветрелых пород и рыхлых отложений, м.

При несоблюдении условия выработанное пространство закладывается так, чтобы при его уменьшенной высоте обеспечивалось неравенство:

$$H^1 > h_q = \frac{B}{2v} = \frac{B}{4 \frac{d_2}{d_1} \frac{R_{cж}^{11}}{R_{cж}^1}},$$

где h_q – подъем свода при частично заполненном выработанном пространстве, м.

Высота h_3 , на которую заполняется выработанное пространство:

– при $\alpha \geq \frac{90^\circ + \varphi}{2}$

$$h_3 > h + \left(\frac{m}{\sin \alpha} - 2H^1 \frac{d_2}{d_1} \frac{R_{cж}^{11}}{R_{cж}^1} \right) \tan \frac{90^\circ + \varphi}{2},$$

при отрицательном значении h_3 закладывать выработанное пространство не нужно;

– при $\alpha < \frac{90^\circ + \varphi}{2}$

$$h_3 > h + \left(\frac{m}{\sin \alpha} - 4H^1 \frac{d_2}{d_1} \frac{R_{cж}^{11}}{R_{cж}^1} \right) \frac{\tan \tan \frac{90^\circ + \varphi}{2}}{\tan \alpha + \tan \frac{90^\circ + \varphi}{2}}.$$

Если свод естественного равновесия не возникает, высота обрушения определяется коэффициентом разрыхления пород, а зона опасного сдвижения пород – по ВНИМИ (см. рис. 3 и 4).

Если $H' < h_{oc}$, то высота массива закладки, при которой сдвижение поверхности не произойдет:

$$h_3 = \frac{k h m t g \alpha - H^1 (K_p - 1) (m t g \alpha + h \sin \alpha)}{k m t g \alpha - H^1 (K_p - 1) \sin \alpha},$$

где h – полная высота выработанного пространства, включая высоту массива закладки (h_3), м; m – нормальная ширина выработанного пространства, м; α – угол наклона выработанного пространства, град; K_p – коэффициент разрыхления; H^1 – глубина верхней границы выработанного пространства от выветрелых пород и отложений, м:

$$H^1 = \frac{k h m t g \alpha}{(K_p - 1) (m t g \alpha + h \sin \alpha)}.$$

Условие устойчивого состояния земной поверхности по ВНИМИ:

$$H^1 > H_p^1 = K_1 l_{экв},$$

где H_p^1 – глубина устойчивого состояния земной поверхности; K_1 – коэффициент, учитывающий прочностные свойства горных пород $l_{экв}$ – эквивалентный пролет:

$$l_{\text{окв}} = \frac{Ll^1}{\sqrt{(L^2 + (l^1)^2)}},$$

где L – размер выработанного пространства по простирианию, м; l^1 – размер горизонтальной поверхности выработанного пространства вкrest простириания, м.

Результаты исследования согласуются с выводами специалистов России и зарубежья [12–18]. Они могут быть востребованы при разработке месторождений скального и полу-скольного типов при добыче твердых полезных ископаемых подземным способом.

Библиографический список

1. Gattinoni P., Pizzarotti E. M., Scesi L. Engineering Geology for Underground Works. Springer, 2014. – 312 p.
2. Dold B., Weibel L. Biogeometallurgical pre-mining characterization of ore deposits: An approach to increase sustainability in the mining process // Environmental Science and Pollution Research. – 2013. – Vol. 20. – No. 11. P. 7777–7786.
3. Goodarzi A., Oraee-Mirzamani N. Assessment of the Dynamic Loads Effect on Underground Mines Supports. 30th International Conference on Ground Control in Mining. 2011. Pp. 74–79.
4. Khani A., Baghbanan A., Norouzi S., Hashemolhosseini H. Effects of fracture geometry and stress on the strength of a fractured rock mass. International Journal of Rock Mechanics & Mining Sciences. 2013. No. 60. Pp. 345–352.
5. Ping Y. J., Zhong C. W., Sen Y. D., Qiang Y. J. Numerical determination of strength and deformability of fractured rock mass by FEM modeling // Computers and Geotechnics. 2015. Vol. 64. P. 20–31.
6. Shabanimashcool M., Li C. C. Analytical approaches for studying the stability of laminated roof strata // International Journal of Rock Mechanics and Mining Sciences. 2015. Vol. 79.P. 99–108.
7. Голик В. И., Полухин О. Н. Природоохранные геотехнологии в горном деле. Белгород: Изд-во БГУ, 2013.
8. Дмитрак Ю. В., Голик В. И., Дзеранов Б. В. Сохранение земной поверхности от разрушения при подземной добыче руд. Известия Тул. гос. ун-та. Сер. «Науки о Земле». 2018. № 1. С. 12–22.
9. Snelling P. E., Godin L., McKinnon S. D. The role of geologic structure and stress in triggering remote seismicity in Creighton Mine, Sudbury, Canada // International Journal of Rock Mechanics & Mining Sciences. 2013. Vol. 58. P. 166–179.
10. Емельяненко Е. А. Снижение влияния горнотехнических систем на среду обитания человека при комплексном освоении медно-колчеданных месторождений комбинированной геотехнологией // Тр. науч.-практ. конф. с международным участием «Геотехнологические методы освоения месторождений твердых полезных ископаемых». М.: ФГУП «ВИМС», 2016. С. 301–305.
11. Каплунов Д. Р., Рыльникова М. В., Радченко Д. Н. Расширение сырьевой базы горнорудных предприятий на основе комплексного использования минеральных ресурсов месторождений // Горный журнал. 2013. № 12. С. 29–33.
12. Kidybinski A. The role of geo-mechanical modelling in solving problems of safety and effectiveness of mining production. Archives of Mining Sciences. 2010. Vol. 55. No. 2. Pp. 263–278.
13. Molev M. D., Stradanchenko S. G., Maslennikov S. A. Theoretical and experimental substantiation of construction regional security monitoring systems technospheric // ARPN Journal of Engineering and Applied Sciences. 2015. Vol.10. No.16. Pp. 6787–6792.
14. Najafi A. B., Saeedi G. R., Farsangi M. A. E. Risk analysis and prediction of out-of-seam dilution in longwall mining. International Journal of Rock Mechanics and Mining Sciences. 2014. Vol. 70. Pp. 115–122.
15. Геомеханические и аэрогазодинамические последствия подработки территорий горных отводов шахт Восточного Донбасса. Н.М. Качурин, Г.В. Стась, Т.В. Корчагина, М.В. Змеев. Известия Тул. гос. ун-та. Сер. «Науки о Земле». 2017. № 1. С. 170–182.

Заключение

При подземной разработке месторождений скальных руд построение границ области опасных сдвигений в толще пород на основе использования феномена заклинивания дискретных пород является важным компонентом оптимизации технологий погашения выработанного пространства, обеспечивающим возможность отработки месторождений с получением эколого-экономического эффекта при обеспечении безопасности горных работ.

16. Дмитрак Ю. В., Логачева В. М., Подколзин А. А. Геофизическое прогнозирование нарушенности и обводненности массива горных пород. Горный информационно-аналитический бюллетень. 2006. № 11. С. 35–36.

17. Комашенко В. И., Васильев П. В., Масленников С. А. Технологиям подземной разработки месторождений КМА – надежную сырьевую основу // Известия Тул. гос. ун-та. Сер. «Науки о Земле». 2016. № 2. С. 101–114.

18. Семенова И. Э., Автисян И. М., Земцовский А. В. Геомеханическое обоснование отработки запасов глубокого горизонта в сложных горно-геологических и геодинамических условиях. Горный информационно-аналитический бюллетень. 2018. №12. С. 65–73.

References

1. Gattinoni P., Pizzarotti E. M., Scesi L. Engineering Geology for Underground Works. Springer, 2014. 312 p.
2. Dold B., Weibel L. Biogeometallurgical pre-mining characterization of ore deposits: An approach to increase sustainability in the mining process // Environmental Science and Pollution Research. – 2013. – Vol. 20. – No. 11. Pp. 7777–7786.
3. Goodarzi A., Oraee-Mirzamani N. Assessment of the Dynamic Loads Effect on Underground Mines Supports. 30th International Conference on Ground Control in Mining. 2011, pp. 74–79.
4. Khani A., Baghbanan A., Norouzi S., Hashemolhosseini H. Effects of fracture geometry and stress on the strength of a fractured rock mass. International Journal of Rock Mechanics & Mining Sciences. 2013, No. 60. Pp. 345–352.
5. Ping Y. J., Zhong C. W., Sen Y. D., Qiang Y. J. Numerical determination of strength and deformability of fractured rock mass by FEM modeling // Computers and Geotechnics. 2015, Vol. 64, pp. 20–31.
6. Shabanimashcool M., Li C. C. Analytical approaches for studying the stability of laminated roof strata // International Journal of Rock Mechanics and Mining Sciences. 2015, Vol. 79.P. 99–108.
7. Golik V.I., Polukhin O.N. Environment protecting geotechnologies in mining (*Prirodoobhrannye geotekhnologii v gornom dele*). Belgorod: Publishing house of BSU, 2013 (in Russ.).
8. Dmitrak Yu. V., Golik V. I., Dzeranov B. V. Preservation of the earth's surface from failure during underground ore mining. Proceedings of Tula State University, Series "Earth Sciences", 2018, No. 1, pp. 12–22 (in Russ.).
9. Snelling P. E., Godin L., McKinnon S. D. The role of geologic structure and stress in triggering remote seismicity in Creighton Mine, Sudbury, Canada // International Journal of Rock Mechanics & Mining Sciences. 2013, Vol. 58, pp. 166–179.
10. Emelianenko E.A. Reducing the impact of mining systems on the human environment during the integrated development of copper-pyrite deposits using combined geotechnology // Proceedings of scientific-practical conference with international participation "Geotechnological methods for development of mineral deposits." M.: FSUE "VIMS" Publ., 2016, pp. 301-305 (in Russ.).
11. Kaplunov D.R., Rylnikova M.V., Radchenko D.N. Expansion of resources base of mining enterprises based on multiple use of deposit mineral resources// Mining Journal (*Gorny Zhurnal*), 2013, No. 12, pp. 29–33 (in Russ.).
12. Kidybinski A. The role of geo-mechanical modelling in solving problems of safety and effectiveness of mining production. Archives of Mining Sciences.2010, Vol. 55, No. 2, pp. 263–278.
13. Molev M. D., Stradanchenko S.G., Maslennikov S.A. Theoretical and experimental substantiation of construction regional security monitoring systems technospheric //ARPN Journal of Engineering and Applied Sciences. 2015. Vol.10. No.16, pp. 6787–6792.
14. Najafi A. B., Saeedi G. R., Farsangi M. A. E. Risk analysis and prediction of out-of-seam dilution in longwall mining. International Journal of Rock Mechanics and Mining Sciences.2014, Vol. 70, pp. 115–122.
15. Kachurin N. M., Stas G. V., T. V. Korchagina, Zmeev M. V. Geotechnical and gas dynamic consequences of undermining of mining lease areas for Eastern Donbass mines. Proceedings of Tula State University, Series "Earth Sciences", 2017, No. 1, pp. 170–182 (in Russ.).
16. Dmitrak Yu.V., Logacheva V.M., Podkolzin A.A. Geophysical prediction of broken condition and water-ing of rock mass. Mining Informational and Analytical Bulletin (magazine), 2006, no. 11, pp. 35-36 (in Russ.).
17. Komashchenko V.I., Vasiliev P.V., Maslennikov S.A. Reliable raw material base for KMA deposit under-ground mining// Proceedings of Tula State University, Series "Earth Sciences", 2016, No. 2, pp. 101–114 (in Russ.).
18. Semenova I.E., Avetisyan I.M., Zemtsovsky A.V. Geotechnical substantiation of extraction of deep level reserves under complicated mining, geological and geodynamic conditions. Mining Informational and Analytical Bulletin (magazine), 2018, no. 12, pp.65–73 (in Russ.).

ORIGINAL PAPERS

DOI: 10.17073/2500-0632-2019-3-220-226

Finite Element Simulation of Multiphase Flow in Oil Reservoirs – Comsol Multiphysics as Fast Prototyping Tool in Reservoir Simulation

T. H. Nassan, M. Amro

Technische Universität Berg Akademie Freiberg, Freiberg, Germany

Abstract: Reservoir simulation is a powerful tool to mimic the formation behaviour during primary production and later on for planning enhanced oil recovery (EOR) pattern. However, all available commercial and developed scientific/academic software for this purpose is based on either finite difference method (FDM) or finite volume method (FVM). Recently finite element method started to gain more attention in the scientific and commercial practices due to its robust results and the ability to deal with complex boundaries. COMSOL Multiphysics is a finite element method (FEM)-based software, having very special features, which are different from standard reservoir engineering software packages like Eclipse or CMG, which are black box-type software. The most important feature of the COMSOL is that user can see equation and modify it – customize for specific conditions and objectives, as well as couple different physics together and apply different solvers, which are under user's disposal. In this paper, short background of FEM will be illustrated and then the mathematical models of two-phase immiscible flow of water and heavy oil will be reviewed and simulated using COMSOL Multiphysics on the famous inverted five-spot model. The comparison between the results of Comsol Multiphysics and Eclipse shows good agreement. This study is the first step in applying Comsol Multiphysics to reservoir simulation. Further steps will involve simulating thermal enhanced oil recovery using steam flooding technique and coupling Comsol Multiphysics with CMG software package to enhance simulation inputs and outputs.

Keywords: oil reservoir simulation, enhanced oil recovery methods, finite element method, COMSOL Multiphysics, mathematical models of two-phase immiscible flow of water and heavy oil.

For citation: Nassan T. H., Amro M. Finite element simulation of multiphase flow in oil reservoirs – Comsol Multiphysics as fast prototyping tool in reservoir simulation. *Mining Science and Technology*. 2019;4(3):220-226.
DOI: 10.17073/2500-0632-2019-3-220-226.

Конечно-элементное моделирование многофазного течения в нефтенасыщенных пластах-коллекторах – Comsol Multiphysics как инструмент быстрого создания упрощенной модели при моделировании пласта

Нассан Т. Х., Амро М.

Фрайбергская горная академия, Фрайберг, Германия

Аннотация: Моделирование пласта является мощным инструментом для имитации поведения пласта при первичной добыче, а затем для планирования схем повышения нефтеотдачи пласта (EOR). Однако всё коммерческое и целевое разработанное научное программное обеспечение для этой цели основано либо на методе конечных разностей (FDM), либо на методе конечных объемов (FVM). В последнее время метод конечных элементов (FEM) стал привлекать всё большее внимание в научной и промышленной областях благодаря его надежным результатам и способности работать при сложных границах. COMSOL Multiphysics – это программное обеспечение, основанное на методе конечных элементов, и оно обладает совершенно особыми функциями, которые отличаются от стандартных пакетов программного обеспечения для проектирования разработки пластов, таких как Eclipse или CMG, в которых используется программное обеспечение, основанное на принципе «черного ящика». Самая важная особенность COMSOL заключается в том, что можно видеть уравнение и изменять его в соответствии с потребностями задачи, объединять различные физические процессы/свойства и решать задачи с помощью различных средств, которые находятся в распоряжении пользователя. В этой статье будет представлен краткий обзор FEM, а затем будут рассмотрены и построены математические модели двухфазного несмешивающегося потока вода–тяжелая нефть с использованием COMSOL Multiphysics на основе знаменитой обратной пятиточечной схемы размещения скважин.



Сравнение результатов COMSOL Multiphysics и Eclipse показывает их хорошее согласие. Это исследование является первым шагом в использовании COMSOL Multiphysics для моделирования пласта. Дальнейшие шаги будут направлены на моделирование повышения нефтеотдачи за счет тепловой энергии с использованием метода парового заводнения и совместного использования COMSOL Multiphysics с пакетом CMG для улучшения вводных и выходных данных моделирования.

Ключевые слова: моделирование нефтяного пласта, методы повышения нефтеотдачи пласта, метод конечных элементов, COMSOL Multiphysics, математические модели двухфазного несмешивающегося потока вода–тяжелая нефть.

Для цитирования: Nassan T. H., Amro M. Конечно-элементное моделирование многофазного течения в нефтенасыщенных пластах-коллекторах – Comsol Multiphysics как инструмент быстрого создания упрощенной модели при моделировании пласта. *Горные науки и технологии*. 2019;4(3):220-226. DOI: 10.17073/2500-0632-2019-3-220-226.

1. Introduction

Reservoir simulation combines mathematics, physics, reservoir engineering, and computational science to develop a tool for predicting oil and gas reservoirs performance at different operating patterns [1]. To describe the fluid flow inside an oil or gas reservoir a set of partial differential equations (PDE's) must be solved with the use of consistent set of initial and boundary conditions. Different numerical methods are applied to solve these equations, but the most applicable methods in commercial and scientific software are finite difference method (FDM) followed by finite volume method (FVM). The application of finite element method (FEM) is still very limited in this branch of science.

In this paper, short background of FEM will be illustrated and then the mathematical models of two-phase immiscible flow of water and heavy oil will be reviewed and simulated using COMSOL Multiphysics on the famous inverted five-spot model. The comparison between the results of Comsol Multiphysics and Eclipse shows good agreement.

2. Finite element method

While FDM and FVM can be considered as easier methods in terms of programming language, FEM is a little bit difficult to program due to its speciality in equation discretization. There are different procedures to solve PDE's in FEM, but the most famous method is the Galerkin method. To solve PDE using Galerkin approach the following steps should be followed [2]:

- multiply the original equation with a test function;
- integrate the equation and apply boundary conditions to produce weak form of the original equation;
- write the finite element solution as linear sum of a set of basis function (in the Galerkin method, test functions and basis functions are identical);
- apply the finite element solution into the weak form equation;
- solve the set of algebraic equations produced at the previous step;
- perform the error analysis.

3. Computational methods

3.1. Two-phase immiscible flow model

Two-phase flow in any porous medium can be described by continuity and momentum equations for each phase [2, 4, 5].

Mass conservation (continuity equation)

Let the porous medium fills a domain $\Omega \subseteq R^3$. Conservation equation for each phase α is written as:

$$\frac{\partial(\phi S_\alpha \rho_\alpha)}{\partial t} + \nabla \cdot (\rho_\alpha u_\alpha) = q_\alpha. \quad (1)$$

Darcy's law (momentum equation).

It is also defined for each phase α :

$$u_\alpha = -\frac{k k_\alpha}{\mu_\alpha} (\nabla p_\alpha - p_\alpha g \nabla z); \quad \alpha = w, o, g. \quad (2)$$

Define the mobility for each phase too:

$$\lambda_\alpha = k_\alpha / \mu_\alpha,$$

where total mobility is $\lambda = \sum_\alpha \lambda_\alpha$.



Fractional flow for each phase $f_\alpha = \lambda_\alpha / \lambda$ and $\sum_\alpha f_\alpha = 1$.

In the case of two phase flow for oil and water, the total velocity is:

$$u = u_o + u_w.$$

To close the equations' system, two customary equations for saturation and capillary pressure are introduced as follows:

$$S_w + S_o = 1,$$

$$p_c = p_o - p_w.$$

3.2. Fractional flow formulation of immiscible two-phase model

Equation (1) can be simplified by the following assumptions [3]:

- temperature is constant in the domain;
- there are two phases: water (w) and oil (o);
- there are two components: water (w), only in the water phase, and oil (o), only in the oil phase;
- the rock (porous matrix) and the fluids are incompressible;
- the solid matrix is not poroelastic; this means that the available pore space (porosity) is constant.

Applying equation (2) into (1) results in:

$$\frac{\partial(\phi S_\alpha \rho_\alpha)}{\partial t} + \nabla \cdot \left(\rho_\alpha \left(\frac{kk_\alpha}{\mu_\alpha} (\nabla p_\alpha - p_\alpha g \nabla z) \right) \right) = q_\alpha. \quad (3)$$

When applying the above assumptions and adding oil and water continuity equations, equation (1) can be written for the two-phase system as:

$$\nabla \cdot u = q_o - q_w. \quad (4)$$

Subtracting the continuity equation for the two phases produces:

$$\phi \frac{\partial(S_\alpha)}{\partial t} + \nabla \cdot u = q_\alpha. \quad (5)$$

This will lead to the total velocity and phase velocities:

$$u = -k[\lambda \nabla p - \lambda_w \nabla p_c - (\lambda_w \rho_w + \lambda_o \rho_o)g \nabla z]; \quad (6)$$

$$u_w = f_w u + k \lambda_o f_w \nabla p_c + k \lambda_o f_w [(\rho_w - \rho_o)g \nabla z]; \quad (7)$$

$$u_o = f_o u - k \lambda_w f_o \nabla p_c + k \lambda_w f_o [(\rho_o - \rho_w)g \nabla z]. \quad (8)$$

Neglecting capillary forces leads to our model that may be applied in Comsol Multiphysics:

$$u = -k[\lambda \nabla p - (\lambda_w \rho_w + \lambda_o \rho_o)g \nabla z]; \quad (9)$$

$$u_w = f_w u + k \lambda_o f_w [(\rho_w - \rho_o)g \nabla z]; \quad (10)$$

$$u_o = f_o u + k \lambda_w f_o [(\rho_o - \rho_w)g \nabla z]. \quad (11)$$

3.3. Comsol implementation of immiscible two-phase model

Simulation steps using COMSOL Multiphysics® software are different from the traditional reservoir simulation software packages owing to the speciality in discretization procedure used in FEM that is significant difference compared to FDM and FVM. In general, the simulation procedure is as flows:

- setting model environment;
- creating geometric objects;
- specifying materials properties;
- defining physics boundary conditions;
- creating the mesh;
- running simulation;
- post-processing of the results.

Mathematical module is used due to its merits in stabilizing the solution, and we use general form and coefficient form PDE to solve pressure (p) and saturation (s) equations, respectively. The numerical study is applied on the famous SPE case study quarter five-spot inverted model shown in Fig. (1) and meshed in Fig. (2).

Pressure equation

General form time dependent PDE from mathematical module in Comsol is applied to pressure equation (4) with p as an independent variable. The components of the total velocity are the components of conservative flux vector. There is no source term, equation (11).

$$e_\alpha \frac{\partial p}{\partial t} + d_\alpha \frac{\partial p}{\partial t} + \nabla \cdot \Gamma = f. \quad (12)$$

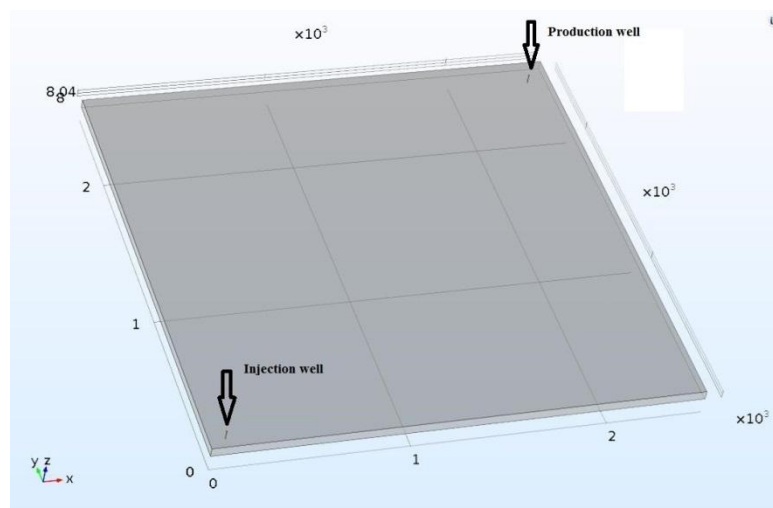


Fig. 1. Quarter five-spot inverted model

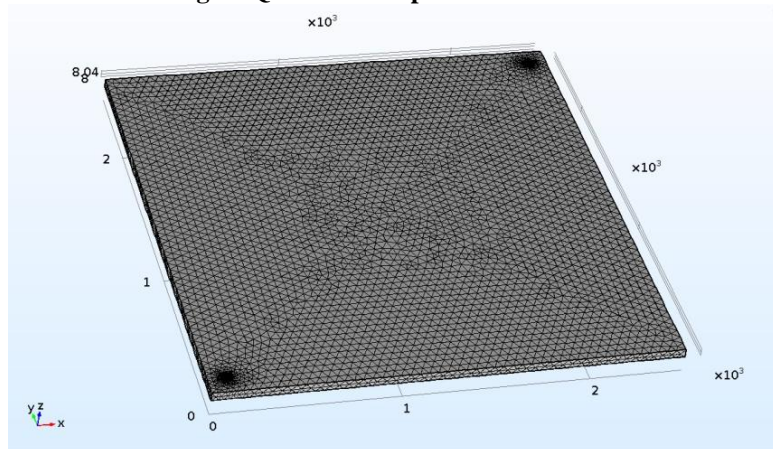


Fig. 2. Triangular mesh of the domain

Initial conditions

Initial pressure in the whole reservoir $P(t_o) = p_{in}$ and $\partial p / \partial t = 0$.

Boundary conditions

Injection well $-n.u = u_{in}$.

Production well $p = p_{out}$.

Saturation equation

Coefficient form time dependent PDE from mathematical module in Comsol is applied to saturation (4) with S_w as an independent variable. The components of water velocity are the components of conservative flux source. There is no source term and c used as stabilization parameter.

$$e_\alpha \frac{\partial^2 u}{\partial t^2} + d_\alpha \frac{\partial u}{\partial t} + \nabla \cdot (-c \nabla u - \alpha u + \gamma) + \beta \cdot \nabla u + \alpha u = f. \quad (13)$$

Initial conditions

Initial pressure in the whole reservoir $S_w(t_o) = S_{wc}$ and $\partial S_w / \partial t_o = 0$.

Boundary conditions

Injection well $S_w = 1$.

Production well $-n.(-c \nabla S_w + u_w) = -u_w$.

Simulation findings

Selected data from [1] are chosen to be applied in this study. Figs. (3) to (6) illustrate the saturation profile in the domain at different periods through the life of the reservoir where the oil saturation decreases significantly toward the production well to reach minimum at 2350 days. Fig. 7 shows the saturations (S_o, S_w) as the function of time. Fractional flow (f_o, f_w) is shown in Fig. 8. The comparison between the daily production from Comsol and Eclipse-100 shows almost identical results for the first period before water breakthrough, Fig. 9.

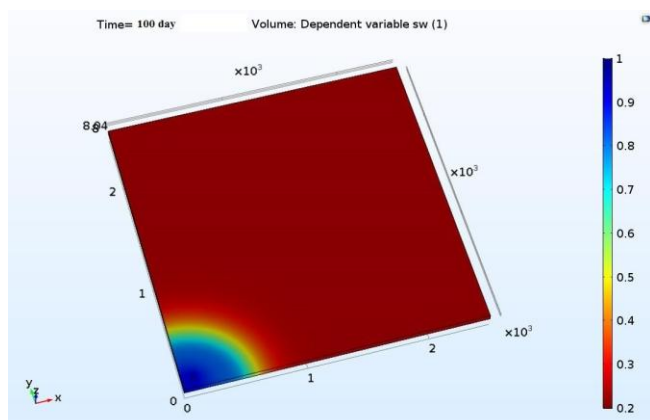


Fig. 3. Saturation profile after 100 days

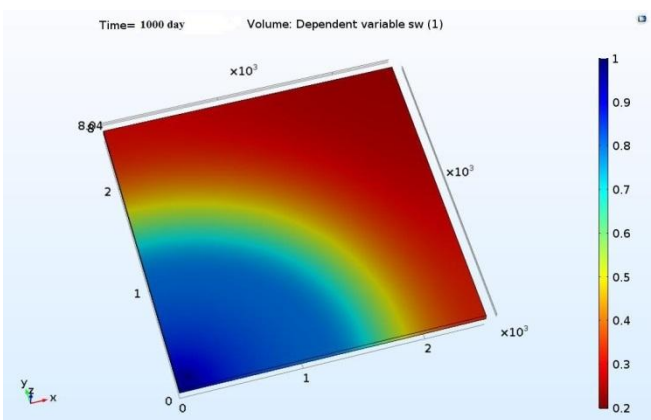


Fig. 4. Saturation profile after 1000 days

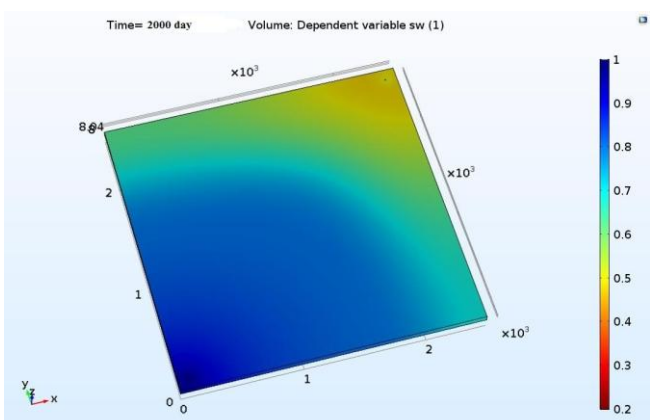


Fig. 5. Saturation profile after 2000 days

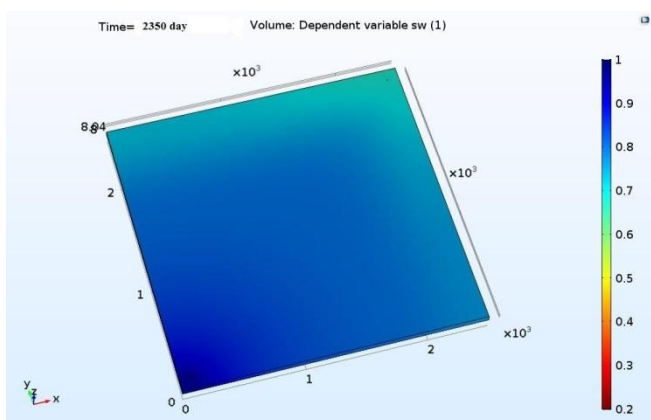


Fig. 6. Saturation profile after 2350 days

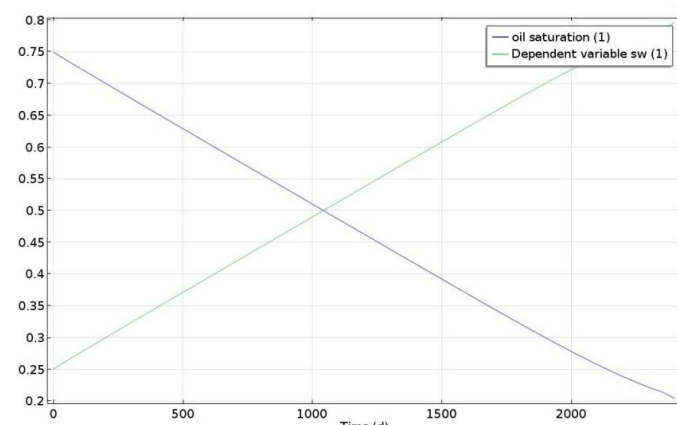
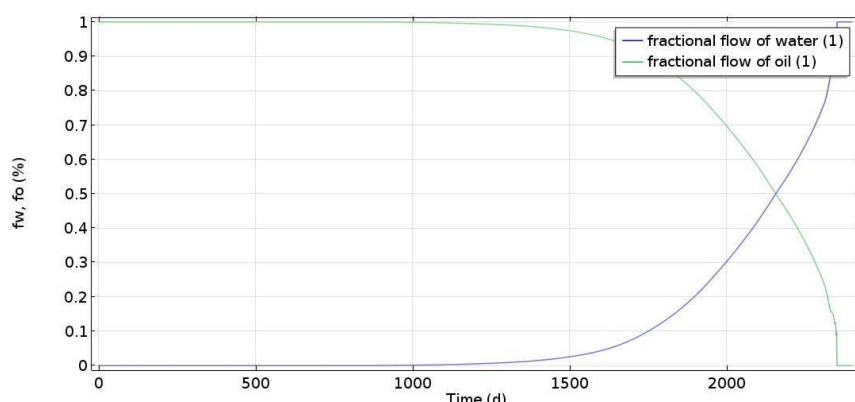


Fig. 7. Average oil and water saturation vs. time (days)

Fig. 8. Fractional flow of oil and water (fw, fo) vs. time (days)

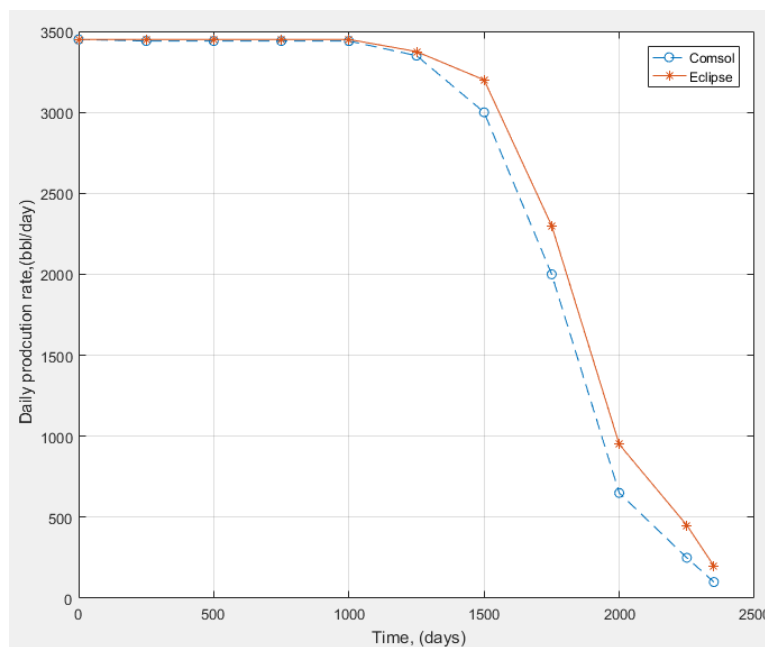


Fig. 9. Daily oil production rate (comparison of Comsol and Eclipse results)

3.5. Heavy oil model

Heavy oil model can be derived from classical continuity equation (1) and Darcy's law [4] as follows:

$$\varphi \frac{\partial}{\partial t} \left(\frac{S_w}{B_w} \right) + \vec{\nabla} \cdot \left(\frac{1}{B_w} u_w \right) = \tilde{q}_w;$$

$$\varphi \frac{\partial}{\partial t} \left(\frac{S_o}{B_o} \right) + \vec{\nabla} \cdot \left(\frac{1}{B_o} u_o \right) = \tilde{q}_o;$$

$$\varphi \frac{\partial}{\partial t} \left(\frac{S_g}{B_g} + \frac{R_{so} S_o}{B_o} \right) + \vec{\nabla} \cdot \left(\frac{1}{B_g} u_g + \frac{R_{so}}{B_o} S_o u_o \right) = \tilde{q}_g.$$

Momentum equation

$$u_\alpha = - \frac{k k_\alpha}{\mu_\alpha} (\nabla p_\alpha - p_\alpha g \nabla z); \quad \alpha = w, o, g,$$

where B_α is formation volume factor and R_{so} is gas solubility in oil phase.

This model must be manipulated and can be written in two-equation model for applying in Comsol environment. The new model is called phase formulation model with total velocity:

Total velocity

$$u = u_o + u_w + u_g = \sum_\beta u_\beta;$$

$$u = -k\lambda(\nabla p - g \nabla z \sum_\beta f_\beta \rho_\beta + \sum_\beta f_\beta p_{c\beta o});$$

$$p_{coo} = 0;$$

$$u_\alpha = f_\alpha u + k f_\alpha \sum_\beta \lambda_\beta (\nabla(p_{c\beta o} - p_{ca\alpha}) - (\rho_\beta - \rho_\alpha) g \nabla z), \\ \alpha, \beta = o, w, g; \alpha \neq \beta.$$

Pressure equation:

$$\nabla \cdot u = \sum_\beta B_\beta \left(\tilde{q}_\beta - \varphi S_\beta \frac{\partial}{\partial t} \left(\frac{1}{B_\beta} \right) - u_\beta \cdot \nabla \left(\frac{1}{B_\beta} \right) \right) - \\ - B_g \left(R_{so} \tilde{q}_o + \frac{\varphi S_o}{B_o} \frac{\partial R_{so}}{\partial t} + \frac{1}{B_o} u_o \cdot \nabla R_{so} \right). \quad (14)$$

Saturation equation:

$$\varphi \frac{\partial S_\alpha}{\partial t} + \nabla \cdot u_\alpha = \\ = B_\beta \left(q_\alpha - \varphi S_\alpha \frac{\partial}{\partial t} \left(\frac{1}{B_\alpha} \right) - u_\beta \cdot \nabla \left(\frac{1}{B_\alpha} \right) \right). \quad (15)$$

Customary equations:

$$S_w + S_o + S_g = 1;$$

$$p_{cgo} = p_g - p_o;$$

$$p_{cow} = p_o - p_w.$$

Equations (14) and (15) can be applied in Comsol Multiphysics in the same way as in two-phase flow model.

Conclusions and future work

Principle of FEM has been reviewed and mathematical models of two-phase immiscible flow model and heavy oil model have been formulated to be easily applied in Comsol Multiphysics to illustrate saturation profile in the reservoir. The results show good agreement with commercial software Eclipse 100.

This study is the first step in applying Comsol Multiphysics® to reservoir simulation. Further steps will involve simulating thermal enhanced oil recovery using hot water and steam flooding techniques and coupling Comsol Multiphysics with CMG software package to enhance simulation inputs and outputs.

References

1. Turgay Ertekin, Jamal Abu-Kassem, Gregory King, Basic applied reservoir simulation, SPE textbook series vol.7, Richardson, Texas, 2001.
2. Zhangxin Chen, Guanren Huan, Yuanle Ma, Computational methods in multiphase flows in porous media, SIAM-Philadelphia, 2006.
3. Jan Dirk Jansen. A Systems description of flow through porous media, Springer, 2013.
4. Zhangxin Chen, Reservoir simulation: Mathematical techniques in oil recovery, SIAM-Philadelphia, 2007.
5. Martin J. Blunt, Multiphase flow in permeable media: A pore-scale perspective, Cambridge University press, Cambridge, 2017.
6. COMSOL Multiphysics Reference Manual, Version 5.2'', COMSOL Inc., (2017)

Acknowledgments

DAAD (German Academic Exchange Service), Leadership for Syria program (LfS), and Institute of Drilling and Fluid Mining Engineering are gratefully acknowledged for sponsoring my PhD research scholarship at Freiberg University of Technology.